

прекрасните години в историята на физиката, години на блестящи творчески успехи и на тясно междуародно сътрудничество на учени от много страни. Ярко описание на това време дава Роберт Оленхаймер — физик с огромна ерудиция и широка културна база, а по-късно един от „башата“ на американската атомна бомба, Пол Дирак. Представата му за „башата“ на адреното въоръжаване: „Представата на атомната физика, която наричаме квантова теория на атомната система, се зароди в началото на нашия век и достигна до свого решения и синтез през двайсетте години. Това беше геноначало на адреното въоръжаване.“

Развитието на тази теория не бе дело на отделен човек; тази работа обединяваше много учени от много страни, че от начало до край дълбоко творческият, оствър и въпреки че на Нилс Бор направляващ, очистваше, задълбочил критичен дух на краяна сметка преобразяваше цялото учение. Това чаваше и в лабораториите, на решаващи в лабораториите, на упорита работа в земната атмосфера от космически-когото пространство — така наречените космични лъчи. Беше създавана апаратура и методика за наблюдението им. Физиците фотографираха следите, които заредените частици от космичните лъчи оставяха в камерата на Уилсън. Регистрирането на частичите обаче не беше кой знае колко голям успех — много по-интересно беше да се потърси начин за изследване на свойствата им, за измерването на тяхната маса, енергия, електричен заряд. Това на-шири съветският физик Скобелдин — един от пионерите в изучаването на космичните лъчи. Той за пръв път поставил камера на Уилсън в силно магнитно поле, в което заредените частици се отклоняват. Тогава по кривините на тях следа може да се съди за енергията им, по тях се отклоняват те — за знака на електричния им заряд, а по пътността на следата — за масата им. Сега възможността да изучаването на космичните лъчи станаха значително по-трудни и не беше вече труда да направените снимки да се изучават и не беше вече труда да се получат информация.

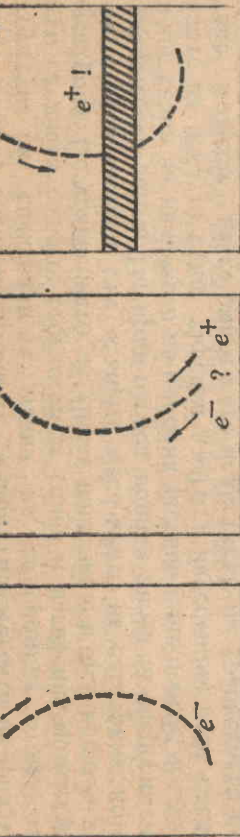
Същата година в експерименталните данни. Пресметнатата бе фината структура на спектралните линии на водородния атом, от него следваха стойности за спина и магнитния момент на електрона. Но уравнението на Дирак показваше и още нещо — че съществува частица със същата маса както на електрона, но с положителен заряд. На пръв поглед поради липса на експериментални данни за наличието на подобна частица (още повече, че в началото на века тя беше търсена дълго и неуспешно) това следствие можеше да се смята като недостатък на уравнението на Дирак. Такова бе мнението на большинството физици и особено на експериментаторите, които винаги малко не насочиха своите усилия за търсениято на предсказаната от Дирак частица. И въпреки това тя беше открита сравнително бързо. По това време беше вече започнало активното изследване и изучаване на потоците частици, навлизали в земната атмосфера от космическото пространство — така наречените космични лъчи. Беше създавана апаратура и методика за наблюдението им. Физиците фотографираха следите, които заредените частици от космичните лъчи оставяха в камерата на Уилсън. Регистрирането на частичите обаче не беше кой знае колко голям успех — много по-интересно беше да се потърси начин за изследване на свойствата им, за измерването на тяхната маса, енергия, електричен заряд. Това на-шири съветският физик Скобелдин — един от пионерите в изучаването на космичните лъчи. Той за пръв път поставил камера на Уилсън в силно магнитно поле, в което заредените частици се отклоняват. Тогава по кривините на тях следа може да се съди за енергията им, по тях се отклоняват те — за знака на електричния им заряд, а по пътността на следата — за масата им. Сега възможността да изучаването на космичните лъчи станаха значително по-трудни и не беше вече труда да се получат информация.

В 1932 г. измежду получените многообразни фотографии от камера на Калифорнийския технологически институт във връзка с физик Карл Андерсън намери няколко, чиято идентификация беше силно затруднена. Следите на вид бяха същите, както и във връзка с обикновените, често срещащи се електронни следи, получени от магнитното поле точно в противоположна посока. Но две възможности: или това да са следи на положителни частици с маса, близка до масата на електрона. Тези частици са електрони, влизали отдолу в камерата. С помощта на приспособление Андерсън получи единично, както вторият закон на Нютон описва движението на

**ПОЛОЖИТЕЛНИЯ ЕЛЕКТРОН Е ОТКРИТ С ЛИСТ
И МОЛИВ НА МАСАТА НА ДИРАК!
ВСЕ ПАК ЕКСПЕРИМЕНТАТОРИТЕ КАЗВАТ
ТЕЖКАТА СИ ДУМА**

Развитието на идеите в квантовата механика доведе до ново разбиране и във физиката на елементарните частици. През 1928 г. младият английски физик Пол Дирак в редица свои работи разработи релативистката квантова теория на електрона. Тя предложи уравнение, което описва движението му по същия начин, както вторият закон на Нютон описва движението на

ОТКРИВАНИЕТО НА ПАРТНЬОРА НА ПРОТОНА
В АТОМНИТЕ ЯДРА — НЕУТРОНА



Фиг. 2

Фиг. 3. Първата снимка на следа, оставена от позитрон, публикувана от Андерсън през 1932 г. в съобщението му за откриване на новата частица

значен отговорна възникната дилема (фиг. 2). Вътре в камерата постави оловна пластинка. Преминавайки през нея, частицата губи част от енергията си и тогава магнитното поле изкривява траекторията ѝ по-силно. Следователно частицата влиза в камера-та от тази част на пластинката, от която следата ѝ е с по-малка кривина. Оловната пластинка позволи на Андерсън еднозначно да твърди, че наблюдаваните от него следи са на положително заредени частици, и то с маса, близка до масата на електрона. Тези частици той нарече позитрони.

Няма да проследяме по-нататък интересната история на по- зитрона — ще се спрем само на едно от най-характерните му и както се оказа по-нататък, фундаментални за целия свят на елементарните частици свойства, а именно на начина му на взаимодействие с електрона. Щом се срещнат електрон и позитрон, те анихилират, т. е. цялата енергия се превръща в енергията на два γ-квантата. Наблюдава се и обратното явление — γ-квант с достатъчно висока енергия спонтанно раждат двойка електрон — позитрон. Именно поради това си свойство позитронът се нарича античастица на електрона.

Уравнението на Дирак може да служи и за описание на про-

тона. Тогава от него по същия начин следва, че и протонът тряб-

ва да има античастица — антипротон. По подобен начин теорията показва, че всяка частица притежава и античастица. Покъсните експериментални данни потвърдиха това предположение по блестящ начин.

1932 г. беше изключително богата на важни открития във физиката. В Англия един от учениците на великия Ръдърфорд — Чадик, откри неутрона — частица с маса, почти равна на масата на протона, но електрически неутрална. Това е частичата, която заедно с протона е основен градивен елемент на атомното ядро. Търсенията на неутрална частица с маса, близка до масата на протона, започнаха още през 1920 г., когато Ръдърфорд предложи, че тя съществува. В своята лекция пред Кралското общество през 1920 г. Ръдърфорд казва: „При никакви условия... електронът може да се съедини с ядрото на водорода по много по-тесен начин, образувайки свояго рода неутрален дублет. Такъв атом има нови свойства. Неговото външно поле практически ще бъде равно на нула... и следователно той ще може да се движи свободно през веществото. Вероятно ще бъде трудно да бъде открито неговото присъствие.“ Веднага след това в лабораторията му бяха поставени опити за търсене на „трудноуловимата“ частица. Но неуспешно.

Едва през 1930 г. в Германия Боте и Бекер откриха, че при облъчване на берилева мишина с α-частици възниква силно притежаващи висока скорост. Те предположиха, че това са γ-кванди с огромна енергия. През 1932 г. съпрузите Ирен и Фредерик Жолио-Кюри установиха, че това лъчение силно взаимодействува с поставена на пътя му парафинова плоча, като избива от нея голям брой протони, притежаващи висока скорост. Този факт трудно се съгласуващ с предположението, че тайнствените лъчи са γ-кванди, като те би трябвало да приглежават фантастична енергия, за да могат да припадат толкова голям импулс на избитите протони. За съжаление семейство Жолио-Кюри не успя да интерпретира правилно резултатите на така добре проведения опит и не прибави още едно откритие към своята блестяща научна дейност.

Откритието направи англичанинът Чадик, който беше подготвен психически за съществуването на неуспешното му търсене при Ръдърфорд през двадесетте години. Объждайки опитите на Боте и Бекер в Германия и на Ирен и Фредерик Жолио във Франция, той казва: „Тези експериментални резултати са много трудно да бъдат обяснени въз основа на хипотезата, че изльчването на берилия е квантово изльчване, но те непосредствено следват от хипотезата, че то се състои от частици, които имат маса, приблизително равна на масата на протона, но нямат заряд.“ И наистина липсата на

електричен заряд у неутрона веднага обяснява значителната му прониквателна способност, а сравнително голямата му маса — високата скорост на избитите от него протони.

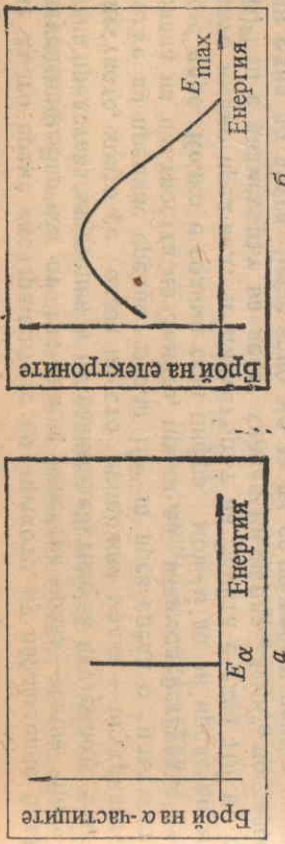
Чадук пръв измери и масата на неутрона, използвайки прости теоретични съобразения и поставяйки сравнително лесно осъществим експеримент.

СПАСИТЕЛЯТ НА ЗАКОНА ЗА ЗАПАЗВАНЕ НА ЕНЕРГИЯТА — НЕУЛОВИМОТО НЕУТРИНО

Неутронът притежава свойство, което нито една от откритите дотогава частици няма, а именно не е стабилен — разпада се на електрон и протон. Подобна нестабилност се наблюдава и при некои ядра — те изпускат електрон и увеличават заряда си седилица. Това е така нареченото β -разпадане. Именно с β -разпадане съвързано и откриването на още една елементарна частица — неутриното. β -разпадането има някои особености, чието обяснение влизаше в конфликт с най-основните закони на физиката — законите за запазването на енергията, импулса и тъгловия момент. Най-труден за разбиране беше енергетичният спектър на електроните, отделили се при β -разпадането. Нека най-напред с две думи да обясним какво значи енергетичен спектър на частиците на частици. Грубо казано, спектърът това е броят на дисперсията функция на тяхната енергия. Спектърът може да бъде дискретен, когато наблюдаваме, имат само някои точно определени енергии, и непрекъснат, когато те могат да притежават всички възможни енергии в даден интервал. При β -разпадането енергетичният спектър на електроните е непрекъснат, а от гледна точка на квантовата механика отделените електрони би трябвало да притежават точно определена енергия. (Така например в случая на α -разпадане отделените α -частици имат винаги един и съща енергия, характерна за всяко α -радиоактивно ядро (вж. фиг. 4.).)

На пръв поглед при β -разпадането се нарушива законът за запазване на енергията. Шателните измервания на енергията на ядрото преди разпадането показват, че тя не е равна на сумата от енергите на новополученото ядро и на отделения електрон. Равенството се получава само тогава, когато за енергията се вземе най-надеждната максимална стойност.

За да се намери изход от това положение, бяха създадени няколко хипотези. На първо място беше предположено, че изльчните електрони имат точно определена енергия $E = E_{\max}$, но по пъти си до регистриращия уред губят част от нея при сблъсквания



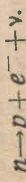
Фиг. 4. a) Енергетичният спектър на α -частите при α -разпадане на ядрата е дискретен. Наблюдаваните α -частици притежават точно определена енергия. б) Енергетичният спектър на електроните при β -разпадане на ядрата е непрекъснат. Наблюдаваните електрони могат да имат всички енергии в интервала от 0 до E_{\max} .

със съседни електрони и атоми. За да проверят това предположение, през 1927 г. Елис и Вустер направиха много пречищен калиметричен опит за измерване на пълната енергия, отделена при β -разпадането. Енергията на частиците се погъща от дебелите стени на оловен съд, в който се намира радиоактивният източник и който от своя страна бе поставен в пречищен калирометър. Ако предположението беше вярно, трябваше да се получи, че средната енергия на отделните електрони е $E = E_{\max}$, но опитът показва, че $E = 0,33 E_{\max}$ или приблизително толкова, колкото е средната енергия на електроните, пресметната от енергетичния им спектър. След тези опити някои физици, между които и Нилс Бор, вече произнасяха смъртната присъда над закона за запазване на енергията. Преди обаче тя да бъде произнесена окончателно, швейцарският физик Волфганг Паули предложи друга радикална хипотеза, която спасяваше фундаменталния закон и обясняваше всички известни факти по β -разпадането. Той предположи, че заедно с електрона ядрото изпуска и една още неизвестна неутрална частица с много малка маса. Малко по-късно италианецът Енrico Ферми я нарекъл "кръсти" неутрино, което на италиански е умалително от неутрон — "мъничък неутрон". Така отново енергията се запазва, защото при-видно недостигащата ѝ част се поема от неутриното. Уредите обаче не могат да го уловят, защото то има огромна прониквателна способност. Така законите за запазване бяха спасени съвсем неждането на невидимото и неуловимо неутрино. Скоро то така дълбоко навлезе в теоретичните разглеждания на физиците, че почти никой не се съмняваше в неговото съществуване, въпреки

че дълго време експериментите по пръвото му наблюдение бяха неуспешни. Все пак от тях имаше известна полза — беше получена предста за степента на взаимодействие на неутриното с веществото, която се оказа просто непрости пътност, може да премине средно около 10^{20} t през среда с равна на пътността на Земята, преди да взаимодействува с ядро. Колко е голяма тази цифра, можем да си представим, като имаме пред вид, че диаметърът на Земята е едва 10^7 m , а ни една до друга. Беше ясно, че за да се проведе успешно опит, ще бъде необходим мощнен сноп от неутрино частици, какъвто стана възможно да бъде получен едва през петдесетте години, когато бяха построени първите големи ядрени реактори.

Преди да разкажем как беше открито неутриното, нека си изясним какво означава да се наблюдава при ко то или въобще никакъв елементарна частица. Това означава под нейно действие да съществим реакция, чито продукти можем да наблюдаваме с помощта на нашите уреди. Идентифицирането на отделните частици става, като фиксираме протичането на определен тип реакции, като характерният тип реакции, Пита се какъв е пай-характерният тип характерни само за тях. Пита се какъв е пай-характерният тип реакции на неутриното с веществото, чието идентифициране ще ни даде възможност еднозначно да кажем, че тя е предизвикана именно от него.

Неутриното се получава в резултат на β -разпадането на неутрона:



Както показваха още преди Втората световна война Боле и Бекер, теоретически възможен процес, предизвикан от неутриното, може да бъде процес, обратен на β -разпадането. За случая, който разглеждаме, този процес е



Може да протече още и следната реакция — неутрино да взаимодействува с неутрона



На това място възниква въпросът, дали неутриното тъждествено съвпада със своята античастица — антинеутриното, както съвпада със своята античастица сам на себе си, или пък неутриното и антинеутриното имат различни частици. Нека допуснем, че неутриното са съществено различни частици. Нека допуснем, че

утриното ν и антинеутриното $\bar{\nu}$ са различни. Тогава в реакцията (1) се оказва, че трябва да участвува антинеутрино



а в реакция (2) — неутрино



Реакции от следния тип



ще бъдат забранени. Ако неутриното и антинеутриното са идентични, оказва се, че ще се наблюдават едновременно (предизвикани от един и същ тип неутрино) (1') и (1''), както (2') и (2''). Тогава опитите за откриване на неутриното и за решаване на въпроса идентични ли са, или не неутриното и антинеутриното, е удобно да бъдат поставени едновременно. Идеята е да се използува един и същ мощн източник, напр. на антинеутрино, и да се търсят реакции от типа (1') и (2''). Тогава, ако се наблюдават и две реакции, неутриното и антинеутриното са идентични, тъй като (2'') би трябвало да се предизвика от неутрино, а не от антинеутрино. Ако пък се наблюдава само реакцията (1), а (2'') не ще наблюдава, неутриното и антинеутриното са очевидно съществено различни. Опитите за търсене на реакциите (1) и (2''), предизвикани от потока антинеутрино на ядрения реактор в Саванавилър (САЩ), бяха извършени през 1956 г. от две групи американски физици и твърдо доказваха, че антинеутриното съществува и не е тъждествено с неутриното.

Преди обаче да разкажем по-подробно за тези прекрасни експерименти, ще бъде добре да обясним как ядреният реактор $\bar{\nu}$ -потокът е особено необходим. В реактора става делението на уран-235, при което се образуват по-леки ядра, голяма част от които са β -радиоактивни и изпускат електрони и изпускат антинеутрина. По груби $\bar{\nu}$ -поток (точни данни не са известни) реакторът в Саванавилър $\bar{\nu}$ -поток отдаеля 10^{28} антинеутрина. Но защо е необходимо $\bar{\nu}$ -потокът да е громадът 10^{28} антинеутрина? Защото неутриното е "чупливо", защото може средно да премине 10^{20} t , без да съществува с веществото. Ние подчертавме думичката "средно", защото и тук тя има съществено значение. Наистина около 10^{20} t неутрина изминават огромен път, без да се сблъскат с

някое ядро, има и такива, които изминават значително по-големи разстояния, без да срещнат нищо, а ще има и никакъв невъзможимо нищожен процент, които ще взаимодействуват още на първия метър след раждането си. Именно такива извънредно редки събития ние се стремим да уловим и колкото повече неутрина минат през нашата апаратура, толкова е по-голяма вероятността да „хванем“ някое от тях. Потокът, излъчван от реактора в Савана-Ривър, се оказа достатъчен.

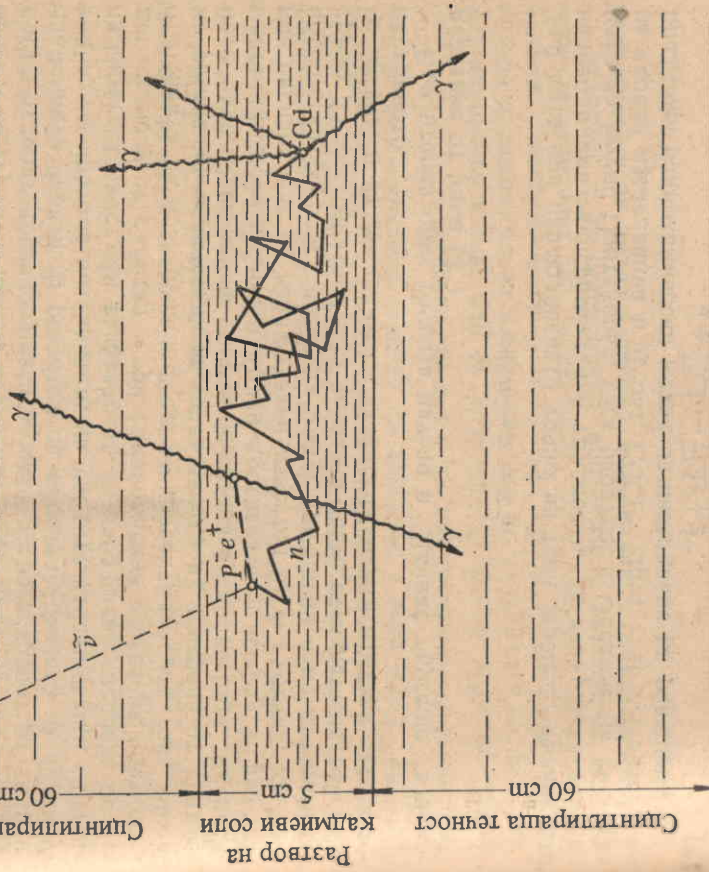
Първата група експериментатори се ръководеше от Райнес и Коуен от Лос Аламоската лаборатория, а втората — от Раймонд Дейвис от Брукхейвънската национална лаборатория.

Идеята на групата на Райнес и Коуен беше да се наблюдава реакция ($1'$), като се установи нейното протичане по продуктите от разпадането ѝ — позитрона и неутрона.

Основната част от експерименталната постановка е регистриращото устройство, което има структура на сандвич. Ролята на „хляба“ се изпълнява от два съда, дебели около 60 см, пълен със сцинтилираща течност, между които е „маслото“ — вода с разтворени в нея кадмиеви соли, поставени в съд с дебелина около 5 см. Опитът на Райнес и Коуен беше първият от серията опити във физиката на елементарните частици, при които се използува уникална по своите размери апаратура. Така например в по-старите опити сцинтилационните бројачи не съдържаха повече от няколко литра сцинтилираща течност, в опита на Райнес и Коуен бяха използвани около 12 t и беше пусната в ход невероятно много помоцна електронна апаратура. Беше предвидено, че средно всеки 20 min антинеутрино от реактора ще взаимодействува с протон от „маслото“ на поставения в стените защищата му „сандвич“. В резултат на взаимодействието ще се получат позитрон и неутрон. Позитронът по своя път ще йонизира атомите и излъчена от тях светлина ще бъде първият сигнал за присъствието на антинеутрино-частичата. След около една стотна част от милиардната на секундата, едва измinal няколко сантиметра в „маслото“, позитронът спира и моментално анихилира с някой електрон. При това се излъчва два γ -квантата в противоположни посоки, чито енергии са равни точно на $m_e c^2$ (m_e е масата на електрона). От своя страна γ -квантите се регистрират в двете „филии“ — сцинтилаторите. Следователно обработват във водата се известява почти едновременно с излъчването на позитрона — едно светване при ионизацията и две изсветвания с три знака — едно определени енергии, причинени от излъчението при движени с точно определени енергии, междувременно неутронът се движи съществено бавно във водата и създава анихилирането на γ -квантите от анихилирането на позитрона

Фиг. 5. Антинеутриното $\bar{\nu}$ взаимодействува с протона p , в резултат на което се образуваят неутрон n и позитрон e^+ . Позитронът анихилира, като при това се излъчат два γ -квента, които едновременно се регистрират от сцинтилационните бројчи. Неутронът бавно „блужда“ из течността, докато се захване от въздушно ядро, когато при това изпускат няколко γ -квента, чието регистриране става след около 10^{-6} s от регистрирането на γ -квантите от анихилирането на позитрона

шо тъй често хаотично променя посоката си, докато след около 100 000 пъти по-дълго време в сравнение с времето от раждането до анихилирането на позитрона)



бота е дала плодове, а ако той е отрицателен, това означава много загубени средства, време и голямо огорчение за тези, които с такава вяра и надежда са работили. При опита на Дейвис нещата стояха далеч по-частично — и положителният, и отрицателният резултат имаха важно значение. Ако се наблюдаваше реакцията (3), доказаваше се още веднаж в прък опит съществуването на неутриното, а освен това и пълната еквивалентност между него и антинеутриното. Ако пък покажеха с доста чна достоверност, че такава реакция не се наблюдава, можеше със сигурност да се твърди, че неутриното и антинеутриното са различни.

Докато опитите на Райнес и Коуен по своята методика и начин на провеждане бяха връх на физическия експеримент, опитите на Дейвис бяха връх на майсторството при правене на химическа експеримент.

Два съда, всеки с обем 1,4 м³, поставени в най-ниската част на реактора, били изпълнени с тетрахлорметан CCl_4 . Течността била очистена от всякакви следи на радиоактивния изотоп на аргон ^{37}Ar чрез внимателното й продухване с хелий. След това в продължение на няколко дни била експонирана вътре в реактора. През това време, ако реакцията (3) протича, в съдовете би трябвало да се натрупа известно, макар и много малко, количество от ^{37}Ar . След това с помощта на сложни физикохимични методи бил извлечен намиращият се в тях радиоактивен изотоп ^{37}Ar .

Използваният метод гарантирали, че ако има и най-малки следи от аргон в съдовете, те са извлечени и се съдържат в получната на края малка проба. Измерена била внимателно радиоактивността на пробата и се установило, че тя е нула и следвателно очакваната реакция при обльчването не е протекла.

Резултатът от опитите беше отрицателен, но те установиха нещо изключително важно — че $\bar{\nu} \neq \bar{v}$.



Тъй като при наблюдаването точно на този процес възникваха непреодолими експериментални трудности, те извършиха опит по идея на Бруно Понтекорво, сега работещ в Обединения институт за ядрени изследвания в Дубна, СССР. През 1946 г. Понтекорво предложи радиохимически метод за изследване на реакцията



Алварец в САЩ подробно изследва възможността за такъв експеримент и даде методика за провеждането му.

За пръв път опитът беше проведен от Дейвис през 1955 г. с реактора в Брукхейвън, но неуспешно. На следващата година той поставил опита си едновременно с опитите на Райнес и Коуен в реактора в Савана-Ривър. Опитът на Дейвис е много интересен и благодарен от психологическа гледна точка. В голямото си мнозинство важните физични опити трябва да отговарят на някакъв въпрос с „да“ или „не“. Експериментаторите обикновено с нетърпение очакват положителния резултат — тогава тяхната ра-

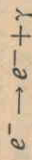
ТЕОРЕТИКЪТ ЮКАВА ПРЕДСКАЗВА НОВИ ЧАСТИЦИ, ЗА ДА ОБЯСНИ ЯДРЕНТЕ СИЛИ

Разказвайки за откриването на неутриното, ние направихме голям скок във времето. Известна била внимателно радиоактивността на пробата и се установило, че тя е нула и следвателно очакваната реакция при обльчването не е протекла.

Резултатът от опитите беше отрицателен, но те установиха нещо изключително важно — че $\bar{\nu} \neq \bar{v}$.

За да можем да разберем последователните събития, ще се спрем накратко върху същността на квантовата теория на електромагнитното взаимодействие. Тя хвърли нова светлина върху разбирането на понятието електромагнитно поле и, колкото и учу-

ващо да звуци, го направи да изглежда по-конкретно, а не тъй абстрактно, както по времето на Максуел. Нашата представа за електромагнитното взаимодействие в микросвета е основана върху механизма на обмен на т. нар. виртуални фотони между взаимодействуващите системи. Нека на първо време не употребяваме прилагателното виртуални, а говорим само за фотони. Да разгледате електродинамика ни дава следната картина за неговото съществуване: единият електрон изпуска фотон, който се погълща от втория електрон, който пък от своя страна е изпуснал фотон, подхвърлят непрекъснато фотони. Образно казано, двата електрона си добен фотонен обмен противоречи на закона за запазване на енергията. И наистина процесът



не е възможен от енергетична гледна точка при неподвижни електрони, защото енергията от лявата страна е $E_1 = m_e c^2$, а от дясната е $E_2 = E_e + E_\gamma = m_e c^2 + \hbar v$. Това означава, че такъв процес на обмен е ненаблюдан и именно за това се нарича виртуален, а фотоните, участващи в предavanето на взаимодействието — виртуали. Възможността за съществуването на виртуални процеси и частици следва от съотношението за неопределеноност на Хайзенберг и по-специално от това съотношение, съгласно което произведенето на времето за съществуване на дадено състояние по неопределеноността в измерването на неговата енергия е от порядъка на \hbar :

$$\Delta E \Delta t \sim \hbar. \quad (4)$$

Следователно, ако дадено състояние съществува много кратко време, неговата енергия е неопределена и може да варира в толкова по-голям интервал, колкото е по-кратко времето. За да проверим точно закона за запазване на енергията, трябва да можем да измерим точно енергията в началото и в крайното състояние на системата, но за това ще ни е необходимо съгласно с (4) търде дълго време. Следователно за системи, живеещи чинично кратко време, каквато е например електронът, изпускащ и погълващ виртуален фотон, може да се смята, че законът за запазване на енергията няма смисъл поради това, че принципно той не може да бъде проверен. Виртуалните фотони са ненаблюдаеми. Това е много добре обяснено от светския физик Новожилов в книгата му „Елементарни частици“. Ще си позволим да цитираме една негова мисъл: „Нека предположим, че електрон е изгъчил

виртуален фотон с енергия $\hbar v$. Тогава отклонението от закона за запазване на енергията ще бъде $\Delta E = \hbar v$. От съотношението за неопределеноност следва, че такова състояние не може да съществува по-дълго от $\Delta t \sim \frac{\hbar}{\Delta E}$. Ако искаме да наблюдаваме този виртуален преход, необходимо е уред, фиксиращ присъствието на фотона в интервал от време Δt_0 , по-малък от Δt : $\Delta t_0 < \Delta t$. Но наблюдането на прехода за време Δt_0 води до неопределеност в енергията $\Delta E \sim \frac{\hbar}{\Delta t_0}$, а тази величина е по-голяма от енергията на виртуалния фотон. С други думи, при това наблюдене може да припаднем на електрона точно такава енергия, каквато е необходимо дима за излъчването на реален фотон $\hbar v$.“

През трийсетте години освен електромагнитните сили на физичните станаха известни и ядрените сили на взаимодействие, които свързват неутроните и протоните в ядрото. Ядрените взаимодействия за разлика от електромагнитните притичат много по-интензивно, но само ако разстоянието между взаимодействуващите частици е по-малко от $R \approx 10^{-15}$ м (радиусът на действие на електромагнитните сили е близо до 10^{-15} м). Съветският физик, лауреат на Нобелова премия, Игор Евгениевич Там през 1934 г. пръв предположи, че ядрените сили, както и електромагнитните имат обменен характер, т. е. взаимодействията се осъществяват посредством обмен на някаква виртуална частица, която, както той показва, трябва да е различна от фотона, електрона и неутриното. На следващата година Там предположи и шест годишън японец Хидеки Юкава, развиващи идеята на Там, че посредството им са частици с маса на покой над 200 пъти по-голяма от масата на електрона. Картината на взаимодействието е съвършено същата — протоните и неутроните си взаимодействуват посредством непрекъснат обмен на частиците на Юкава. Развъжданията му могат да се илюстрират добре с помощта на съответното за неопределеноност. Нека предположим, че масата на посредниците на ядрените взаимодействия е m . Тогава, за да е възможно взаимодействие между два нуклона*, неопределеността в енергията им трябва да е по-голяма или най-много равна на енергията на покой на носителя $\Delta E = mc^2$. Времето за съществуване на състояние с такава неопределеност в енергията може да бъде най-много равно на $\Delta t = \frac{\hbar}{\Delta E} = \frac{\hbar}{mc^2}$. Радиусът на действие на силите, пренасяни от частиците с маса m , ще бъде равен на максимум.

* Нуклон е събирателно понятие, означаващо протон или неутрон.

сimalното разстояние, което те могат да изминат за време Δt

$$= \frac{\hbar}{mc^2} - R = c\Delta t = \frac{\hbar}{mc}$$

на скорост — скоростта на светлината. След като познаваме R , с $\hbar (R \approx 1.4 \cdot 10^{-15} \text{ m})$, можем да пресметнем m :

$$m = \frac{\hbar}{Rc} = 24 \cdot 4 \cdot 10^{-34} \text{ kg}$$

и като имаме пред вид, че масата на електрона е 9.10^{-32} kg , получаваме

$$m \approx 270 m_e$$

Това въщност е и резултатът на Юкава, предвидяното, че съществуват частици, които осъществяват ядрените сили и имат приблизително 270 пъти по-голяма маса от масата на електрона.

π -МЕЗОНИТЕ НЕ СА ЧАСТИЦИТЕ НА ЮКАВА. НАЙ-СЕТИНЕ π -МЕЗОНИТЕ СА ОТКРИТИ

Въпросът, който трябва да бъде разрешен, е къде и как да се търсят частиците на Юкава. Те съществуват виртуално във всяко ядро и следователно, ако на ядрото се придаде енергия $E < m_\pi c^2$, където m_π е масата им, виртуалната частица ще може да се превърне в реална и да бъде наблюдавана. Но изкуствено да се придаде енергия, подобряма от $100 - 150 \text{ MeV}$, беше съвсем невъзможно със съществуващите по това време ускорители. Можеше да се разчита единствено на естествени източници на частици с такива енергии, които да послужат като снаряди за бомбардиранието на ядрата и при съблъскването си с тях да изразят частиците на Юкава. Такъв естествен източник на високо-енергетични "снаряди" бяха космичните лъчи. Като се изследват реакциите, предизвикани от ударите на частиците, идващи от Космоса, с ядрата на атомите в земната атмосфера, имаше надежда да бъдат открити предвидените от Хидеки Юкава частици.

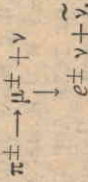
И наистина по време на много трудни експерименти с космичните лъчи през периода 1936—1937 г. Андерсън и Недермайер, от една страна, и Страт и Стивенсън, от друга, в САЩ откриха неизвестни досега положително и отрицателно заредени частици с ги нарекоха "мезотрони", което произлиза от гръцката дума "мезон", означаваща междинен — масата на мезотроните беше междуна между масата на електрона и на нуклона. По-късно индийският физик Баба предложи съкратено название "мезон", кое-

то днес е общоприето. Откригите от Андерсън и Недермайер частици получиха името μ -мезони. По маса те приличат на частици те, носители на ядрените сили, но те трябва да притежават и едно друго свойство — да взаимодействуват много със ядрата и да бъдат нестабилни. Това, че те са нестабилни, бе установено бързо и разпадането им е

$$\mu^\pm = e^\pm + \nu + \tilde{\nu}$$

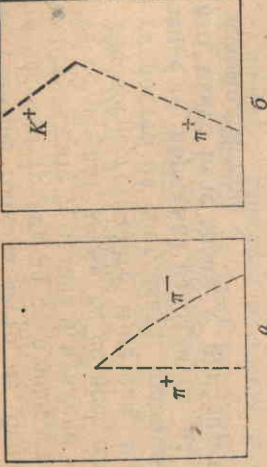
За съжаление обаче от самото начало почти беше ясно, че μ -мезоните не взаимодействуват силно с ядрата, тъй като пробегът им в дебели слоеве вещества беше много голям и почти винаги се наблюдаваше тяхното спонтанно разпадане, а не захващането им. За да проверят доколко μ -мезоните взаимодействуват с ядрата, Конверси, Панчини и Пициони поставиха през 1947 г. редица опити, в резултат на които се изясни, че взаимодействието им е 10^{12} пъти по-слабо, отколкото се очаквало за мезоните на Юкава. Отново трудност! За да я преодолеят, японските учени Сакага и Иноу и американците Бете и Маршак предположиха, че μ -мезоните не са идентични с мезоните на Юкава, които трябва да имат малко по-голяма маса.

Само няколко седмици след отпечатване на статиите им Паул и Окиалини в Англия съобщиха за откриването на нов тип мезони с маса $276 m_e$, които се разпадат бързо на μ -мезони и неутрина. Новооткритите мезони бяха наречени π -мезони. Раздаденето им противна по следната схема:



Подробното изследване на свойствата на π -мезоните доказва, че именно те са частиците, предсказани от Юкава, и че те са носители на ядреното взаимодействие. Предсказанието от теорията неутрален π -мезон беше открит малко по-късно — през 1950 г., от Бърглунд, Крендел, Мойер и Йорг в Калифорнийския университет по характерното му разпадане на два γ -квантата с необходимата енергия.

Така с откриването на π -мезоните беше завърщен важен етап в изследването на физиката на елементарните частици. Структурните елементи на атомите и ядрата — електроните, протоните и неутроните, бяха добре установени. Бяха открити също и квантите на взаимодействията, имащи значение за микросвета, фотоните и π -мезоните. Неутриното спаси законите за запазване на енергията,



Фиг. 6

зи частица беше идентифицирана с K^0 -мезона. Първата следа на втората снимка съответствува на заредена частица с маса около $1000 m_e$, която в камера се разпада на зареден π -мезон (втората следа) и на една или повече неутрални частици, чито следи не се виждат. Намерената тук неизвестна частица сега се нарича K^+ -мезон. В следващите години бяха получени огромен брой снимки от горните два типа, които упорито и внимателно се изучаваха. На снимка от типа б, а беше открит Δ -хиперонът, който се разпада на протон и π -мезон. 1953 г. беше годината, през която в Големия ускорител-космосрон в Брукхейвън — САЩ, за първи път изкуствено бяха получени тежки частици — K -мезони при бомбардирането на мишена от мед с протони с енергия над 2 GeV или пък при бомбардиранка на протони с π -мезони. Нагрупването на повече и по-точни експериментални материали, даде на теоретиците огромен брой едва ли не неразрешими задачи, свързани с обяснението на свойствата на новите частици. Те притежаваха две особени и твърде странини качества, които като че ли бяха в противоречие с всички известни досега закономерности. Поради това и физиците в изобик на остроумие и предвидливост към природата ги нарекоха „странни“ частици.

Скоробаче природата даде да се разбере, че тя съвсем не е тъй прости, както некои от физиците си я представяха, и че са необходими още много и много интелектуални и материални усилия, за да се надникне в скърковените ѝ тайни. Следващите десет години показваха това твърде ясно. През този период списъкът на елементарните частици се попълни с още десет, които за удобство ще изброим още в самото начало. На първо място беше добре установена групата на K -мезоните, състоящи се от два дублета: K^+ -и K^0 -мезоните в единия, и K^- и \bar{K}^0 — в другия дублет. Масата и на четирите частици е около 965 електронни маси. Бяха открити и т. нар. хиперони — частици с маса, по-голяма от масата на нуклоните. Семейството на хипероните се състои от един Λ^0 -хиперон с маса 2182, три Σ -хиперона с електричен заряд $1, -1$ и 0 и с маса около 2333 и два каскадни или Ξ -хиперона със заряди -1 и 0 и маса около 2580.

За повечето частици от тези две големи групи не може да се каже от кого са били открити. Дани за всяка една от тях са получавани от различни групи учени от много страни. Поради трудността при интерпретирането им не винаги измерванията на техните характеристики бяха точни, търпяха често корекции, като се оказа даже, че част от „откритите“ частици не съществуват. Все пак първите данни за частици с маса между масата на π -мезоните и нуклоните може да се каже, че бяха получени още през 1944 г. във Франция от Лепренс-Ринге и Ларетие с помощта на Уилстъновата камера. Три години по-късно англичаните Рочестър и Бътър в Манчестърския университет при облъчване на Уилстънова камера с космични лъчи получиха два типа снимки, които са показани на фиг. 6.

Двете следи на фиг. 6, а (на два противоположно заредени π -мезона) са продукти от разпадането на някаква неутрална частица с маса между 800 и 1200 електронни маси. По-късно та-

НАХЛУВАНЕТО НА СТРАННИТЕ ЧАСТИЦИ. ВСЕ ПАК ТЕ НЕ СА ТОЛКОВА „СТРАННИ“

Скоро обаче природата даде да се разбере, че тя съвсем не е тъй прости, както некои от физиците си я представяха, и че са необходими още много и много интелектуални и материални усилия, за да се надникне в скърковените ѝ тайни. Следващите десет години показваха това твърде ясно. През този период списъкът на елементарните частици се попълни с още десет, които за удобство ще изброим още в самото начало. На първо място беше добре установена групата на K -мезоните, състоящи се от два дублета: K^+ -и K^0 -мезоните в единия, и K^- и \bar{K}^0 — в другия дублет. Масата и на четирите частици е около 965 електронни маси. Бяха открити и т. нар. хиперони — частици с маса, по-голяма от масата на нуклоните. Семейството на хипероните се състои от един Λ^0 -хиперон с маса 2182, три Σ -хиперона с електричен заряд $1, -1$ и 0 и с маса около 2333 и два каскадни или Ξ -хиперона със заряди -1 и 0 и маса около 2580.

За повечето частици от тези две големи групи не може да се каже от кого са били открити. Дани за всяка една от тях са получавани от различни групи учени от много страни. Поради трудността при интерпретирането им не винаги измерванията на техните характеристики бяха точни, търпяха често корекции, като се оказа даже, че част от „откритите“ частици не съществуват. Все пак първите данни за частици с маса между масата на π -мезоните и нуклоните може да се каже, че бяха получени още през 1944 г. във Франция от Лепренс-Ринге и Ларетие с помощта на Уилстъновата камера. Три години по-късно англичаните Рочестър и Бътър в Манчестърския университет при облъчване на Уилстънова камера с космични лъчи получиха два типа снимки, които са показани на фиг. 6.

Двете следи на фиг. 6, а (на два противоположно заредени π -мезона) са продукти от разпадането на някаква неутрална частица с маса между 800 и 1200 електронни маси. По-късно та-

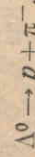
$$\begin{aligned}\pi^- + p &\rightarrow \Delta^0 + K^0, \\ \pi^- + p &\rightarrow \Sigma^- + K^+, \\ \pi^+ + \bar{n} &\rightarrow \Delta^0 + K^+.\end{aligned}$$

* Отсега нататък вместо ядрено взаимодействие ще употребяваме термина силно взаимодействие.

Това ставаше толкова често, че беше почти очевидно, че странните частици трябва да се присъстват към класата на силно взаимодействуващите π -мезони и нуклони. Характерното време, за което те се раждат, може да се пресметне, като се има пред вид, че високоенергетичните π -мезони, летящи със скорост, близка до скоростта на светлината, взаимодействуват с протона на разстояние от порядъка на радиуса на действие на ядрените сили, като, както вече знаем, е приблизително 10^{-15} м. Но времето на взаимодействие е

$$t_{va} = \frac{s}{v} \sim \frac{10^{-15}}{10^8} s = 10^{-23} s.$$

Такова е приблизително и времето, за което се раждат странните частици. От друга страна, Δ^0 -хиперонът се разпада също на силно взаимодействуващи частици:



На пръв поглед времето му на живот също би трябало да е от порядъка на 10^{-23} с, след като в разпадането участвуват само частици, за които е характерно именно това време на взаимодействие. Въশност обаче средното време на разпадане на Δ^0 -часттица е много голямо в сравнение с него — то е приблизително на 10^{-10} с или разпадането става 10^{-13} пъти по-бавно. Разликата е по-голяма от разликата между времето, от началото на съществуването на Земята (около десет милиарда години) и времето за един човешки живот. Много „странино“ несъвпадение между очакванията и действителността!

Съществуващите и друга главобългарскица. В експериментите не се наблюдават реакции на разпадане, в които се появява само една странна частица, а винаги разпадането става на двойки, докато предварителните пресмятания показват, че енергетично е поизгодно и по-вероятно при такива процеси да се наблюдава една, а не повече „странини“ частици. Да, положението ставаше наистина обръкано и неразбираемо.

През 1953 г. двама млади физици — двадесет и три годишният американец Мърей Гел-Ман и двадесет и шест годишният японец Казухико Нисиджима лишаха от пряко съдържание термина „странност“.

За да илюстрираме разсъжденията им, ще си послужим с пример, който на пръв поглед няма нищо общо със странните частици. Да се опитаме да отговорим на въпроса, защо енергията е стабилен. Разпадането му на частици с по-малка маса е енергетически изгодно, още повече, че такива съществуват — фо-

тонът и неутриното. Но защо електронът не се разпада на фотон и неутрон? Всеки би отговорил бързо на този въпрос — по-добро разпадане е забранено от закона за запазване на електричния заряд — при никоя реакция той не може да изчезва или да променя своята стойност. Тогава възниква веднага идентична, че запазваната на единичното раздяне на странните частици е отражение на никакъв закон за запазване. Гел-Ман и Нисиджима предположиха, че при силните взаимодействия се запазва величина, подобна на електричния заряд, която те нарекоха странност. За всички частици, открити преди странните, тя имаше стойност нула, за K^+ и K^0 -мезоните е -1 , за K^- и \bar{K}^0 -мезоните, както и за Λ и Σ -хипероните е -1 , за каскадните хиперони е -2 . Тогава веднага се вижда, че едничното раздяне е забранено, тъй като странността на раждащите частици (π -мезони и нуклони) е nulla, а на родената не е, т. е. при подобен силен процес странността не се запазва и следователно той е невъзможен. По този начин втората от двете трудности беше напълно отстранена.

Сега оставало да се обясни противоречието между краткото време на раздяне и в сравнение с него огромното време на разпадане. Времето на разпадане на странните частици е от същия порядък, както и времето на разпадане на другите сили взаимодействуващи частици — π -мезоните. Естествено е да се предположи, че това се дължи на едно и също взаимодействие, примерно 10^{13} пъти по-слабо от силното. Това взаимодействие е слабото взаимодействие. Но от скемите на разпадането, например от $\Lambda^0 \rightarrow p + \pi^-$ следва, че при слабите взаимодействия странността не се запазва. Именно това е ключът към разбирането на противоречието. Гел-Ман и Нисиджима постигнаха, че законът за запазване на странността е точен само при силните взаимодействия (с това се забранява бързото разпадане на странните частици), а не е в сила за слабите взаимодействия (така пък се обясняващо защо всеки пак те се разпадат и защо това става толкова бавно). Даже и с помощта на слабите взаимодействия странността не може да се изменя за едно разпадане с повече от единица. Така например каскадният хиперон, чиято странност е -2 , не може да се разпадне на частици със странност 0, а само на частици, от които една има странност -1 .

И така, с въвеждането на странността се получи ред в систематиката на елементарните частици и в разбирането на техните свойства. Вече беше ясно, че в света на частите има три основни взаимодействия — силните, проявяващи се в процесите на раздяне на π и K -мезоните и хипероните, в ядрените сили и в бързо протичащите разпадания: електромагнитните, в които участву-

ват всички заредени частици и които са основни в света на атомите, молекулите и за всички химични и биохимични процеси, и сладките, които пък са характеристики за повечето от бавните разпадания на нестабилните частици.

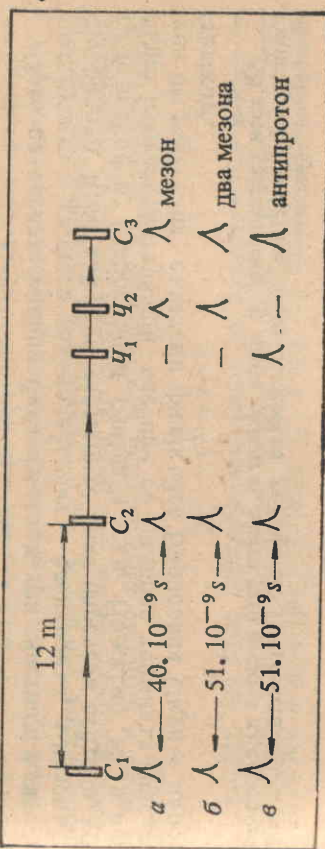
ИТАЛИАНЕЦТ СЕГРЕ И АМЕРИКАНЕЦТ ЧЕМБЪРЛЕЙН ПОЛУЧАВАТ НОБЕЛОВА НАГРАДА ЗА ОТКРИВАНЕТО НА АНТИПРОТОНА

Гел-Ман и Нишиджен хиперон Ξ^0 , който беше открит през 1957 г., както и на античастичите на Λ^0 и $\Sigma - \bar{\Lambda}_0$, и $\bar{\Sigma}$, които също бяха намерени. Това бяха редица трудни и скъпи експерименти, които изискваха много настойчивост, много съобразителност и изнурителна работа по обработка на данните. Като прекрасен пример за опит от този тип може да ни послужи откриването на антипротона от работещия в САЩ италианец Емilio Сегре и американците Оуен Чембърлейн, Клайд Виганд и Томас Ипсилантис. Съществуването на антипротона беше предвидено още от Дирак през 1930 г. Основните свойства на антипротона следват от уравнението на Дирак: масата му трябва да бъде равна на масата на протона, електричният му заряд трябва да е отрицателен, при взаимодействие с протон трябва да анихилира и във вакуум трябва да бъде стабилен. Съдения за наблюдаване на антипротона са получувани и преди опитите на Сегре и сътрудниците му при изучаването на космичните лъчи, но сигурността им не заслужава доверие. Възможности за получаване на антипротони се появяват за пръв път през 1954 г., когато в Бъркли (Калифорния) беше построен най-големият по това време ускорител на протона с енергия до 6,3 GeV. Нека да пресметнем приближително каква енергия е необходима на протоните, прорежданите от ускорителя, за да стане възможно раждането на антипротони. Масата на протона е приблизително 1 GeV. За да се роди двойка протон — антипротон, е необходимо двете пъти по-голяма енергия — 2 GeV. Реакцията, при която може да се получи двойката протон — антипротон, е следната: ускореният протон се сблъска с неподвижен протон от мишена, като при това ражда двойка протон — антипротон, а ударилият и удареният протон се разлитат с големи енергии. Следователно ще са необходими 2 GeV за раждането на двойката, още 2 GeV за кинетичната енергия на протона и антипротона в нея и около 2 GeV за кинетичната енергия на двата протона. И така, за да получим антипротон, е необходим ускорител на протона с енергия около 6 GeV. Именно това пресмятане е взето под внимание при проектирането на беватрона в Бъркли.

Антипротонът в опита на Сегре и сътрудниците му беше идентифициран по три негови свойства. Той е достатъчно стабилен, за да мине през цялата апаратура, електричният му заряд е отрицателен, което може да бъде установено по посоката, в която се отклонява в магнитното поле, масата му е равна на масата на протона и може да се намери, като едновременно се измерят импулсът му $p = mv$ и скоростта му. Импулсът се мери много точно по кривината на траекторията на частичите в магнитното поле, а скоростта — по времето, за което тя изминава определено разстояние.

Осъществяването на тази сравнително проста идея е свързано с една съществена трудност, в преодоляването на която се крие и цялото маисторство на експериментаторите. Ускорените до 6,2 GeV протони избиват от мишена заедно с антипротоните и огромен брой отрицателно заредени π -мезони, които притежават същия импулс както антинулоните. Съотношението е на пръв поглед безнадеждно — на един антипротон се падат около петдесет хиляди π -мезона, летящи по съвършено същата траектория в магнитно поле (поради еднаквите им импулси). Все пак π -мезоните могат да се различат от антипротоните по тяхната скорост — тя е почти 99% от скоростта на светлината, докато антипротоните със същия импулс, но със значително по-голяма маса се движат с около 200% по-бавно. Скоростта на частичите беше измервана с помошта на два сцинтилационни броища C_1 и C_2 , поставени на разстояние 12 m един от друг. Антипротоните изминават това разстояние за 51 милиардни от секунда, а π -мезоните — за 40 милиардни. Следователно два сигнала от сцинтилационните броища в

фиг. 7. C_1 , C_2 , C_3 са сцинтилационни броици, q_1 и q_2 — черенковски. Вълната означава че съответният броиц дава сигнал, а тирето, че липсва сигнал. Показани са трите възможни реакции на системата от броици и тяхната интерпретация



интервал от $51 \cdot 10^{-9}$ с са еве получали, че в апаратурата е преминал антiproton. Казваме евентуално, защото е възможно един мезон да задействува първия број C_1 , а друг — втория C_2 за същото време. Затова скоростта на преминалите частици се измерваше от два черенковски броища — U_1 и U_2 . Първият U_1 дава сигнал, когато през него мина частица със скорост, близка до очакваната за антiproтоните, а вторият U_2 дава предупредителен знак, когато през него минава частица с по-голяма скорост. На края, за да се избегне възможността да се задействуват някои от сцинтилационните броици от космичните лъчи, бе поставен и трети предпазен сцинтилационен број C_3 , който да регистрира само частиците, преминали през цялата апаратура.

Търдо можеше да се каже, че в мишнената се е родил антипротон само когато апаратурата регистрира събития в следната последователност: двата сцинтилационни броища C_1 и C_2 светват един след друг в интервал от $51 \cdot 10^{-9}$ с, наблюдада се светене в черенковския број U_1 , който показва, че през него е минала частица със скорост около 75% от скоростта на светлината, няма предупредителен знак от втория черенковски број U_2 и на края сцинтилационният број C_3 потвърждава, че всички тези сигнали са дадени от частица, която е минала по цялата дължина на апаратурата.

По време на серията опити, извършени през 1955 г., бяха получени 60 събития, които със сигурност бяха идентифицирани като антiprotonи.

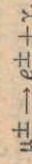
Опитът на Серже, Чемърлейн и техните сътрудници е един от най-блестящите примери за чудесно осигурен и обмислен от всички страни опит — опит, в който е използвана най-съвършената техника, съществуваща по това време. Заслужено през 1959 г. авторите му получиха Нобеловата награда за физика.

ОКАЗАВА СЕ, ЧЕ ИМА ДВА ВИДА НЕУТРИНО

През петдесетте години бяха известни три частици, които не участваха в силните взаимодействия — електронът, μ -мезонът и неутриното. Като най-леки частици те бяха наречени лептони, което в превод от старогръцки означава леки. По-късно за всички силно взаимодействуващи частици се възприе терминът, предложен от известния съветски физик Лев Борисович Окун — адрони (тежки)*.

* В тази класификация не влиза γ -квантът, който като носител на електромагнитното взаимодействие заема по-особено положение. По свойства обаче той е подобен на адроните.

Оптично не се наблюдават следните разпадания на μ -мезона:



и

Съвременните данни по относителните вероятности за двете разпадания са: $B(\mu \rightarrow 3e) < 2 \cdot 10^{-9}$ и $B(\mu \rightarrow e\gamma) < 2 \cdot 10^{-10}$. Забраната на подобни разпадания би могла да се тълкува като отражение на някакъв закон за запазване на неизвестни досега величини, така както забраната за единично раздадене при странните частици е следствие от закона за запазване на странността при силното взаимодействие. Горните две реакции лесно ще забранят, ако предположим, че съществуват два нови заряда — електронен и мюонен лептонен заряд. Нека за отрицателно заредените лептони стойностите им са $+1$, а за положителните -1 . Тогава законът за запазване гласи: електронният и мюонният заряд се запазват поотделно. Реакцията $\mu^\pm \rightarrow 2e^\pm + e^\mp$ е забранена, тъй като началното състояние има мюонен лептонен заряд ∓ 1 , а крайното — електронен лептонен заряд ∓ 1 . По същата причина е забранено и разпадането $\mu \rightarrow e\gamma$. Веднага обаче възниква въпросът: неутриното е също лептон, какъв лептонен заряд да му припишем — нула, както е за γ -квента и адроните, мюонен или електронен? Разпадането на π -мезона



изисква антineутриното да има мюонен лептонен заряд -1 , за да се запази мюонният лептонен заряд за лявата страна (π^- -мезона), който е нула. Обикновеното β -разпадане на неутриона обаче не съгласува с такава стойност на лептонния заряд на антинеутриното. Наистина



неутрионът от лявата страна има лептонен заряд нула, същият заряд има и протонът, електронът има електронен лептонен заряд 1 , а $\bar{\nu}$ -мюонен лептонен заряд -1 и следователно приписването на $\bar{\nu}$ на мюонен лептонен заряд -1 води до противоречие. До противоречие води и подобно предписание при анализа на разпадането на μ -мезона



Нашият все още хипотетичен закон за запазване би могъл да бъде спасен, ако се окажеше, че има два вида неутрино. Единият ще наречем μ -мезонно неутрино ν_μ , което по определение се раж-

потезата за запазване на мюонния лептонен заряд — ако тя е вярна може да протече само първата реакция, в която тя не се нарушива, а ако е невярна, могат да се наблюдават и двете. Превеждането на експеримента започна едновременно в двата най-големи ускорителя по това време — ускорителя на Европейската организация за ядрени изследвания (ЦЕРН) в Женева и в ускорителя в Брукхейвън, работещи с енергия около 30 GeV. Първите резултати бяха получени от Брукхейвънската група начело с Леон Ледман и Гордън Демби.

Идеята на опита беше следната. Протони с енергия 15 GeV бомбардират берилеева мишена, като при това се получават голям брой високоенергетични μ -мезони, които раждат при разпадането си неутрина от мюонен тип. Потокът от неутрина е достатъчно интензивен, така че процеси на взаимодействие с веществото вътреш в апаратурата се срещат сравнително често. При тях ще се появят само μ -мезони, ако неутрината са наистина от мюонен тип, или същият брой μ -мезони и електрони, ако няма разлика между мюонното и електронното неутрино. След 9-месечни изследвания от септември 1961 г. до юни 1962 г. бяха направени 51 снимки на μ -мезони, получени при взаимодействията на мюонното неутрино, и нито една на електрон. Резултатът беше ясен — съществуваха два μ -нееквивалентни вида неутрино: ν_μ и $\tilde{\nu}_\mu$.

ЗАКЛЮЧЕНИЕ

И така, в началото на шейсетте години бяха известни четири лептона e^- , ν_e , μ^- , $\tilde{\nu}_\mu$ и техните четири античастични e^+ , $\tilde{\nu}_e$, μ^+ , ν_μ , три π -мезона (π^+ , π^0 , π^-), четири K -мезона (K^+ , K^- , K^0 , \bar{K}^0), два нуклона (p , n), Δ -частичите (Δ^0 , Δ^-), три Σ -хиперона (Σ^+ , Σ^0 , Σ^-) заедно с техните античастични и два каскадни хиперона Ξ (Ξ^0 , Ξ^-) с две античастични ($\bar{\Xi}$, Ξ^+), които заедно с γ -кванта правеха 28 частици. Никой не се съмнявал, че тези частици са елементарни. Считаше се, че трите вида взаимодействия се ощеествяват по различен начин. Електромагнитните се ощеествяват посредством обмен на фотони, силните на π -мезони, а слабите нямат своя носител. Разработена беше само теорията на електромагнитните взаимодействия — квантовата електродинамика. Теориите на силните и слабите взаимодействия се срещаха със сериозни трудности и навсякаха пессимизъм у своите творци.

Последните двалесет години нанесоха революционни корекции в нашите представи за микросвета. Разказът за тях се отнася все до по-зрялата възраст на физиката на елементарните частици и е обект на друга статия.

да винаги заедно с μ^+ -мезона и на което ще припишем мюонен лептонен заряд $+1$. Съответният заряд на ν_μ очевидно е 1 . Вторият вид ще наречем електронно неутрино ν_e , което взаимодействува само с позитрона и има електронен лептонен заряд $+1$. Антиелектронното неутрино $\tilde{\nu}_e$ се ражда винаги заедно с електронна и неговият електронен лептонен заряд е -1 . Ако е вярна хипотезата за съществуване на две неутрина, то разпаданията (5), (6) и (7) трябва да приемат вида:



Сега и в четирите случая поотделно се запазват електронният и мюонният заряд.

Указания, че би трябвало да съществуват два типа неутрино, могат да се получат и без да се привлече понятието лептонен заряд. Да разгледаме наблюдаваното разпадане на μ -мезона с отделяне на енергия $\mu^- \rightarrow e^- + \nu_e + \gamma$ и ненаблюдаваното досега разпадане $\mu^- \rightarrow e^- + \tilde{\nu}_e$. Ако неутриното и антинеутриното в първата реакция са частица и античастица една на друга, те биха могли да анихилират и както показват изчисленията, разпадането $\mu^- \rightarrow e^- + \gamma$ трябва да простира с голима вероятност при тяхната виртуална анихиляция. Но това не става и то ни навежда на мисълта, че отделените при разпадането $\mu^- \rightarrow e^- + \nu_e + \gamma$ неутрина са две различни една от друга частици и затова не могат да анихилират.

Възникналият въпрос трябваше да бъде разрешен експериментално. Опит, който дава възможност за това, беше предложен и подробно пресметнат в края на 1959 г. независимо от Бруно Понтецкоро в Дубна и от Мелвин Шварц в Колумбийския университет. Те предлагаха да се използват ускорители за получаване на високоенергетични μ -мезонни неутрина и след това да се изследват продуктите на взаимодействието им с нуклоните. Тогава, ако $\nu_\mu \equiv \nu_e$, трябваше да се наблюдава както реакцията



така и реакцията



а ако $\nu_\mu \neq \nu_e$ трябваше да протича само първата реакция, тъй като μ -мюонното неутрино ражда само μ -мезон и никога не може да роди електрон. Това разъждение следва просто и от хипотезата за съществуване на две неутрина.

живот, когото е от поръдъка на 10^{-22} дълъг с.* Това време е само от няколко десетки до няколко единици по-дълго от времето, за което частица, движеща се със скоростта на светлината, преминава характерното за радиуса на силните взаимодействия разстояние от 10^{-15} м. Лесно обяснимо е тогава защо най-напред са открити частиците, които в сравнение с резонансите живеят почти неограничено дълго — просто защото успели да зарегистрираме следите им в нашите уреди. Резонансите също пълно право обаче могат да бъдат причинени към семейството на елементарните частици, тъй като и те, макар и за много кратко време, са еднородни образувания с всичките динамични характеристики на една елементарна частица — те притежават маса, енергия, импулс и пр. Това, че живеят толкова кратко време, се дължи на факта, че се разпадат по същия начин, по който се и разделят — с помощта на силните взаимодействия, което е възможно, защото при „силното“ им разпадане не се нарушава нито един от законите за запазване.

Интересно е да се запознаем с принципа на методиката за откриване на кратко живеещите частици. Очевидно е, че за времето от поръдъка на $10^{-22} - 10^{-23}$ с те изминават такива нищожни разстояния, че е абсолютно невъзможно да се наблюдава следата им във фотоемулсия, междущества камера или пък в каквато и да било друго регистриращо устройство. Тогава как с достатъчна сигурност може да се твърди, че резонансите съществуват и имат свойствата на самостоятелни частици?

Ще разкажем за два от най-разпространените метода — изследване на пълното сечение на разсейване и метода на инвариантната маса.

Как се определя пълното сечение на разсейване? В ускорителите се получава сноп от даден тип частици (протони, неутрони, π -мезони, неутрино, K -мезони, хиперони, електрони, позитрони, μ -мезони) с известни динамични характеристики — енергия, импулс, плътност на частиците. Така пригответвият сноп се насочва върху мишена, в най-прости случаи водородна, т. е. съставена от протони, с която снопът си взаимодействува (често пъти се казва, че частиците от снопа се разсейват от частите на мишната). Физиците внимателно изучават всички частици в пространството около мишната, като регистрират техните енергии, импулси, брой в определен телесен ъгъл и с помощта на свояте уреди идентифицират техния тип. По този начин те се стреперат.

КВАРКИ И АДРОННА СПЕКТРОСКОПИЯ

Матей Матеев

Разбирането на основните закономерности в адронната спектроскопия се оказа решаващо за катализирането на коренните изменения във възгледите ни за структурата на елементарните частици. В стаята са проследени основните събития в тази област. Появлен е стремеж езикът, макар и популярен, да е малко близък до този на специалистите по физика на елементарните частици. Голяма част от илюстративния материал е взет направо от оригиналните публикации с надеждата, че читателите ще изпитат удоволствие от запознаването си с него и с един не така популярен метод на общуване между физиците.

РЕЗОНАНСИ. ЕЛЕМЕНТАРНИ ЧАСТИЦИ ЛИ СА ЕЛЕМЕНТАРНИ ЧАСТИЦИ?

През шейсетте години бяха открити огромен брой кратко живеещи частици-резонанси. Към днешния ден техният брой е над 300. На всеки две години през м. април голям международен колектив от учени публикува в авторитетното американско списание „Ривюз ъф модерн физик“ в цяла книжка статия, наречена „Обзор на данните за частиците и техните семейства“, в която са синтезирани най-важните характеристики на известните до този момент частици и резонанси. Подобна публикация се оказа абсолютно необходима, тъй като при такъв огромен брой частици даже специалистите в областта на спектроскопията им не могат да се справят само с потока от информация за откритите резонанси и свойствата им.

Всички известни резонанси са адрони — те участват в силните взаимодействия и се отличават по краткото си време на

* Средното време на живот на „стабилните“ частици е напр.: на π -мезона $\approx 2.9 \cdot 10^{-10}$ с, на $K^\pm - 1.2 \cdot 10^{-8}$ с, на $e - 2.6 \cdot 10^{-8}$ с, на $\Delta^0 - 2.6 \cdot 10^{-10}$ с, на $\Xi^0 - 2.9 \cdot 10^{-10}$ с.

Мят да установят как частиците от снопа са си взаимодействвали с частичата от мишната. В последно време особено популярни стават така наречените ускорители* с наследни снопове. В момента работят два типа ускорители — с наследни електропозитронни и с протон-антипротонни снопове. В този случай е трудно да се определи кой от двета снопа играе ролята на мишена, но за нашето разглеждане това не е важно. Основното е, че по този начин енергията на взаимодействие може да бъде силно увеличена, тъй като „мишната“ се движжи с огромна скорост срещу бомбардиращата частична.

Основната величина, която физиците измерват при тези опити, е т. нар. сечение на взаимодействие. От него те получават и най-много информация за това какво е станало при удара между частицата от снопа и мишната.

Отношението на броя на отделните актове на взаимодействие в единичен телесен ъгъл за 1 s към броя на падналите частици върху 1 m² от мишната за 1 s се нарича диференциално сечение на разсейване. Диференциалното сечение има размерност на площ — m². Удобна единица за сечение е 1 b (барн), 1 b = 10⁻²⁸ m². Един барн е площта на квадратче със страна, равна на характерното за силните взаимодействия разстояние 10⁻¹⁶ m. Броят на актовете на разсейване в пълния телесен ъгъл, разделен на броя на падналите частици върху 1 m² за 1 s, се нарича пълно сечение.

При графично представяне на зависимостта на пълното сечение σ_{tot} от енергията E резонансите се представляват като камбономаксимуми. Тези максимуми се описват от т. нар. формула на Брайт и Вигнер

$$\sigma_{tot}(E) = \sigma_0 \frac{(\Gamma/2)^2}{(E_0 - E)^2 + (\Gamma/2)^2}.$$

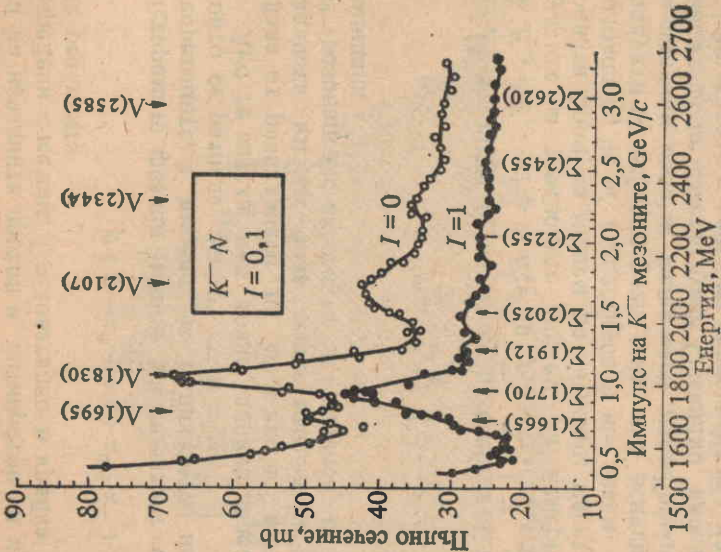
Енергията E_0 , която съответствува на максимума в сечението $\sigma = \sigma_0$, дава масата на резонанса $M = E_0/c^2$. Величината Γ се нарича ширина на резонанса и е свързана с времето му на живот τ посредством съотношението $\Gamma \sim \hbar/\tau$. Първият резонанс от Брайт — Вигнеров тип е открит от Е. Ферми и неговите сътрудници като максимум в сечението на разсейване на π^+ -мезони с протони. В съвременни означения това е резонансът Δ^{++} с маса 1232 MeV/c², време на живот $\tau = 5,7 \cdot 10^{-24}$ s и ширина $\Gamma = 116$ MeV.

*Полуплярността на един ускорител е пропорционална на броя и важността на направените с него открития.

На фиг. 1 е показвана енергетичната зависимост на разсейване за процеса K^-N . Горната крива съответства на състояния с изотопичен спин нула, а долната — с изотопичен спин единица. Със стрелки са показани места, в които сечението има максимуми от Брайт-Вигнеров тип. Буквите Λ с цифра в скобки е означението на съответния резонанс, а цифрата е масата му в единици.

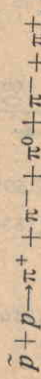
Друг изключително популярен метод за идентифициране на резонансни частици е т. нар. метод на инвариантната маса. Класически пример за този метод е методът, по който Алварец, Маглич, Розенфелд и Стивенсън откриват ω^0 -резонанс. Те изучавали анихиляцията на антипротони, които се сблъсквали с протони в меухурчеста камера, напълнена с тежък водород. В резултат на анихиляцията се получавало огромно разнообразие от частици. Групата решила да избере само тези снимки, на които се виждали четири π^0 -мезона. Били събрани 2500 такива снимки. Измежду тях те още веднаж отбрали само 800, на които освен четирите видими следи присъствувала и една невидима — на нутралния π^0 -мезон.** Присъствието на π^0 -мезона лесно може да се установи, като се направи точен баланс на енергията и импул-

*Понятието изотопичен спин е определено в следващия параграф.
**Електрически неутралните частици не оставят следи в редица детектори, като напр. меухурчестите камери и фотомулсите.



Фиг. 1

са на началните протон и антипротон и на образуваните четири заредени π -мезона. Следователно в крайна сметка била изследвана реакцията



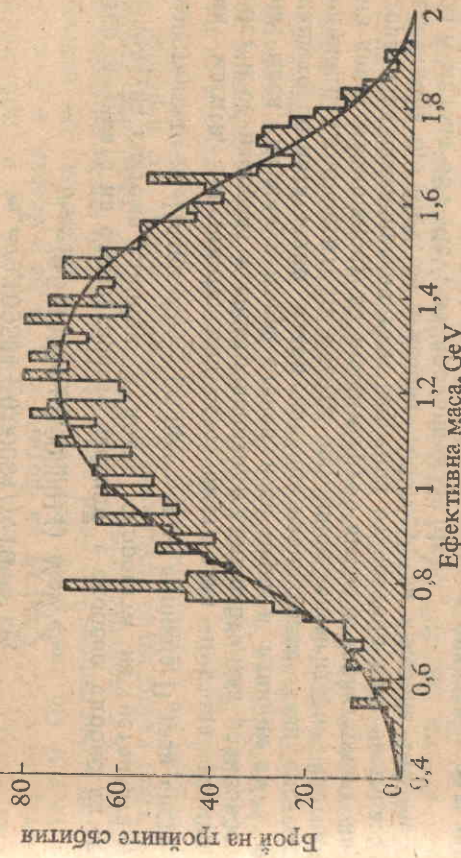
Четиримата физици искали да проверят една от хипотезите на теоретиците, а именно, че съществува неутрален резонанс ω^0 , който се разпада на π^+ , π^- и π^0 .

Ако те знаеха коя точно двойка заредени π -мезони е произлязла от разпадането на ω^0 и ако ω^0 наистина съществуваше, задачата им би била лесно изпълнима. Връзката на масата на ω^0 -резонанс с енергията и импулса се дава с формулата на Айнщайн

$$m_{\omega^0} = \frac{1}{c^2} \sqrt{E_{\omega^0} - p_{\omega^0}^2 c^2}$$

Но от законите за запазване на енергията и на импулса следва, че $E_{\omega^0} = E_{\pi^+} + E_{\pi^-} + E_{\pi^0}$ и $p_{\omega^0} = p_{\pi^+} + p_{\pi^-} + p_{\pi^0}$. Енергията и импулсите на π -мезоните можем да измерим и следователно по горната формула можем да изчислим масата на ω^0 -резонанса. При продукти на нейното разпадане, във всички случаи би трябвало да получим една и съща маса m_{ω^0} . Какво ще стане, ако резонансът ω^0 не съществува? Очевидно, ако изчислим по енергийте и импулсите на π -мезоните величината m_{π^0} , като използваме същата формула, то тя няма да има фиксирана стойност, а ще се мени — от позоволения от закона за запазване на енергията минимум, равен на $m_{\pi^+} + m_{\pi^0} + m_{\pi^-} = 0,415 \text{ GeV}/c^2$, до максимума, който е равен на енергията на системата $p\bar{p}$ (в случая 2,29 GeV) минус $m_{\pi^+} + m_{\pi^-} = 0,28 \text{ GeV}$ (2,01 GeV).

Нека сега анализираме енергийте и импулсите на всички възнати тройки $\pi^+\pi^-\pi^0$ и за всеки случай пресметнем „инвариантната маса“ m_{π^0} . Да построим графика на броя на снимките, в които сме получили стойността m_{π^0} като функция на m_{ω^0} . При положение, че ω^0 не съществува, бихме получили плавна крива с максимум вероятно по средата между най-голямата възможна стойност $2,01 \text{ GeV}/c^2$ и най-малката $-0,415 \text{ GeV}/c^2$. Ако ли пък ω^0 съществува за част от събитията, които обработваме, а именно, в която случаи правилно сме взели π^+ и π^- -мезони събития, нанесени върху нашата крива, ще образуват максимум върху нерезонансния фон. Обработвайки по този начин



Фиг. 2

но съществува, Маглич, Алварец, Розенфелд и Стивенсън получили графиката, представена на фиг. 2. На нея ясно личи максимум при $m_{\omega^0} = 0,783 \text{ GeV}/c^2$. Ширината на пика е $\Gamma \approx 10 \text{ MeV}$, което съответствува на средно време на живот $\tau \approx 10^{-22} \text{ s}$. Използувайки главно тези два метода, физиците за кратко време откриха няколко десетки резонанса. Тогава за първи път възникна и въпросът „елементарни ли са елементарните частици?“

ХАРАКТЕРИСТИКИ НА ЧАСТИЦИТЕ ИЛИ КАК СЕ ОПРЕДЕЛЯ ТЯХНАТА ИНДИВИДУАЛНОСТ

При наличието на толкова голям брой адрони очевидно е необходимо да отделим известно време, за да обсъдим и разкажем за начините, по които можем да установим индивидуалността на дадена частица. Най-общо казано, тя се определя от числени стойности на нейните характеристики. Кои са тези?

Преди всичко това е масата на покой. Масата на елементарните частици обикновено се измерва не в килограми, а в енергетични единици — електронволти. Известната формула на Айнщайн $E = mc^2$ дава възможност на привичните единици за маса едно-

значно да съпоставим енергетични единици. Така например масата на електрона, изразена в килограми и електронволти, е съответно

$$m_e = (9,109534 \pm 0,000047) \cdot 10^{-31} \text{ kg},$$

$$m_e = (0,511034 \pm 0,000014) \text{ MeV}/c^2.$$

Във физиката на елементарните частици е особено удобно да се използуват системи единици, в които скоростта на светлината и константата на Планк $\hbar = \frac{\hbar}{2\pi}$ се приемат за единица. В тази система масата, енергията, импулсът имат една и съща размерност и се измерват в електронволти, а дължината има размерност на маса на минус първа степен и се мери в единици eV^{-1} . В нашето по-нататъшно изложение ще използваме тази система единици. Стойностите за масите на някои елементарни частици ни дават възможност да оценим грубо какъв е характерният интервал за изменение на тази величина от частица към частица: за електрона 0,5 MeV, за μ -мезона 106 MeV, за π -мезона 140 MeV, за K -мезона 494 MeV, за протона 938 MeV.

Електромагнитните взаимодействия на частиците се определят основно от електричния им заряд. Електрически неутрални са неутриното, π^0 -мезонът, K^0 и \bar{K}^0 -мезоните, неutronът, и др.; с положителен електричен заряд са позитронът, μ^+ -мезонът, π^+ -мезонът, K^+ -протонът и др.; отрицателно са заредени електронът μ^- -мезонът, π^- , K^- и др. Някои резонанси, като Δ^{++} , имат заряд $+2e$. Във всички реакции и взаимодействия алгебричната сума на електричния заряд се запазва строго.

Друга изключително важна характеристика на елементарните частици е техният спин. Спинът е собственият момент на импулса на елементарните частици. Той е чисто квантов характеристика и за различните частици като π^0 . Спинът не е съвързан с движението на частицата като цяло. Спинът е неопределено свойство на елементарната частица както и нейната маса и електричният ѝ заряд и има винаги една и съща стойност за даден тип частици. Големината на спина може да бъде цяло или полуцяло число, умножено с \hbar . В избраната измерителна система спинът s може да има стойности $0, 1/2, 1, 3/2, \dots$. Спинът, както и моментът на импулса, е векторна величина, т. е. има големина и посока. Поради квантовия му характер обаче само една от проекциите му върху произволно избрания посока може да има определена стойност. Възможните стойности на проекцията на спин s върху дадена ос са $-s, -s+1, \dots$ и са $2s+1$ на брой. Така например, ако $s=1$, възможните стойности на проекцията

му са $-1, 0, 1$, всичко три. Ако $s=\frac{1}{2}$, проекциите са само две: $-1/2, +1/2$. Спинът на лептоните (ν_e, ν_μ, e, μ), протона и неутрона е $1/2$. Спинът на фотона е 1 , а на π -мезона и K -мезоните е 0 . По своя спин всички частици се делят на две големи групи – частиците със спин цяло неотрицателно число се наричат бозони, а с полуцял спин – фермиони. Между тези две групи частици съществува съществена разлика, която се изразява с принципа на Паули. В дадена физична система два тъждествени фермиона не могат да се намират едновременно в едно и също състояние. Принципът на Паули е съществен при изясняване на изграждането на табличата на Менделеев, на атомните спекtri, на свърхпроводимостта и на много други явления в природата. Ще видим, че и във физиката на елементарните частици той играе важна роля. За бозоните подобни ограничения няма.

Със спина на частиците с маса на покой, различна от нула, е свързана и друга важна тяхна вътрешна характеристика – магнитният им момент $\mathbf{m} = \gamma \mathbf{s} \hbar$ или в нашите единици ($\hbar = c = 1$) $\mathbf{m} = \gamma \mathbf{s}$. Величината γ се нарича жиromагнитно отношение. За електрона $\gamma = 1$, а $\mathbf{m} = \frac{e\hbar}{2 m_e c}$, за протона $\gamma = 2,79 \frac{e\hbar}{2 m_p c}$, за неутрона $\gamma = -1,91 \frac{e\hbar}{2 m_n c}$.

Спинът е квантово число, което не се запазва при реакциите и разпаданията на частиците. В тях постоянен остава пълният момент на импулса \mathbf{J} , който е равен на сумата от спиновете \mathbf{s} и орбиталните моменти \mathbf{L} . Орбиталните моменти в микрофизиката могат да бъдат само цели числа, кратни на \hbar : $0, 1, 2, \dots$. Пълният момент \mathbf{J} има същите стойности, както и \mathbf{s} – цели или полуцели, кратни на \hbar .

Тясно свързана със спина и орбиталния момент е четността на частиците. Състоянието на произволна физична система, включително и на една частица, в квантовата механика се определя от комплексната, въобще многокомпонент на вълнова функция $\Psi(\mathbf{r}, t)$.

Тя зависи от радиус-вектора на частицата \mathbf{r} (определен мястото на частицата) и от времето. При смяна на координатната система

$\Psi(\mathbf{r}, t)$ се преобразува в друга функция $\Psi'(\mathbf{r}', t')$, но законът, по

който става трансформацията, е строго определен. Ако вълновата функция не се мени при трансформации на въртене на координатната система, т. е. $\Psi(\mathbf{r}, t) = \Psi'(\mathbf{r}', t')$, казваме, че частицата, описвана от Ψ , е скаларна. Ако Ψ се преобразува като вектор, съответната ѝ частица е векторна и т. н. Трансформационните свойства на $\Psi(\mathbf{r}, t)$ определят спина – скаларните частици

имат спин 0, а векторните — спин 1. Вълновите функции на фермionите (частици с полуцял спин) също така се преобразуват по точно определени закони, характерни за съответната стойност на спина — $1/2$, $3/2$ и т. н. Вътрешната четност P на една частица в координатната система с начало в самата частица се определя от трансформационните свойства на вълновата ѝ функция спрямо отражение и на трите пространствени оси $\Gamma \rightarrow -\Gamma$

$$\Psi(\Gamma, t) \rightarrow P\Psi(\Gamma^-, t).$$

Четността P може да заема само две стойности ± 1 . Частица със спин $J=0$ и четност $P=1$ ($J'=0+$) се нарича скаларна, със спин $J=0$ и $P=-1$ ($J'=1^-$) — псевдоскаларна, със спин $J=1$, $P=-1$ ($J'=1^+$) — векторна, $J=1$, $P=+1$ ($J'=1^+$) — псевдовекторна и т. н. π -мезоните и K -мезоните са псевдоскаларни частици ($J=0^-$), фотонът, ρ и ω -мезоните са векторни ($J=1^-$). Четността на система от две частици a и b се дава с формулата $P_{ab} = P_a P_b (-1)^L$, където P_a и P_b са вътрешните четности на съставящите частици a и b , а L е големината на относителния орбитален момент. Така например четността на система от два π -мезона с относителен орбитален момент 0 е

$$P_{\pi\pi} = P_\pi P_\pi (-1)^0 = (-1)(-1)(-1)^0 = +1.$$

Четността при фермийоните е по-сложно понятие, на което тук няма да се спирате. При так можем да говорим за относителна четност. Приема се, че относителната четност на протона е $+1$, а четността на останалите силно взаимодействуващи частици се определя спрямо тази на протона и както в случая на бозоните може да бъде ± 1 .

Експериментално е установено, че четността не се запазва при слабите, а се запазва при гравитационните, електромагнитните и силните взаимодействия. Нарушението на четността при слабите взаимодействия става по точно определен начин и влиянието му върху наблюдаемите величини може да бъде предсказано от съвременната теория.

Барионният заряд B (често се употребява и терминът барионно число) е $+1$ за всички силно взаимодействуващи фермииони и -1 за техните античастици. За протона той има стойност $+1$, за антипротона -1 . Силно взаимодействуващите бозони се наричат мезони (изключение от това правило по исторически причини е μ -мюон) и затова за предпочитане е другото му наименование — за запазване на барионното число има фундаментално значение за

Вселената — благодарение на него най-лекият барион — протонът, е стабилен и природата е такава, каквато я познаваме. Ако барионното число не се запазваше, то би било възможно например разпадането $p \rightarrow \pi^0 + e^+$ (барионният заряд от лявата страна е 1, а от дясната страна е 0)* и последното мялото материја би се превърнала в газ от електрони, поизтруни и γ -квантни. Съвремените експериментални данни говорят, че средното време на живот на протона $\tau_p > 10^{30}$ г. (счита се, че възрастта на нашата Вселена е 10^{10} г.). Голямата част от физиците, работещи във физиката на элементарните частици, считат, че все пак протонът не е стабилен, но на техните съображения няма да се съмраме.

Квантовото число „странност“ S е въведено в статията „Първи сълъпки в изучаването на елементарните частици“. Ще припомним, че странността се запазва при силните и при електромагнитните взаимодействия и се нарушава при слабите. Изменението на странността при дадена реакция е най-много с единица, а $|S| \leq 3$. Частици с отлична от nulla странност са К-мезоните, Δ -частидите, Σ и Ξ -хипероните. Съществуват поне още две квантови числа (авероятно и три), наречени „шарм“ — C , и „красота“ — b (вероятно и „истика“ b'), със същите свойства като странността. Частичните, които имат отношение към тези числа, ще разгледаме по-нататък. Ще отбележим, че квантовите числа $B, S, C, b, (b')$ са характеристики само на силно взаимодействуващите частици — адроните.

Последното съществено квантово число, което ще разгледаме, е изотопичният спин I . Адроните могат да бъдат разделени на групи „мултиплети“ — това са близки по маса частици, с единакъв спин, четност, барионен заряд, странност, шарм, красота и т. н., но с различни електрични заряди. Такива групи частици се наричат изотопични мултиплети. Най-популярен изотопичен мултиплет е дублетът протон — неутрон. Единствената разлика между тези частици е в електромагнитните им взаимодействия — протонът има електричен заряд $+1$, а неутронът е неутрален. Други изотопични мултиплети са триплетите (π^+, π^0, π^-) , $(\Sigma^+, \Sigma^0, \Sigma^-)$. Броят на частиците в един изотопичен мултиплет е $2I+1$, където I е големината на изотопичния спин (за протона и неутрона $I = \frac{1}{2}$, за π -мезоните и Σ -хипероните $I=1$). Отделните частици в изотопичния мултиплет се характеризират с третата му проекция I_3 , която за

* Заделете, че електронният лептонен заряд от дясната страна е нула, а отляво е -1 . В посочената реакция следователно не се запазва и лептонният заряд.

протона е $+1/2$, за неутрона $-1/2$, за π^+ е 1 , за π^0 е 0 , а за π^- е -1 . Изотопичният спин се запазва при силните взаимодействия, но се нарушава при слабите и електромагнитните взаимодействия. Квантовите числа са свързани с формулата на Гел-Ман—Нишиджима

$$Q = I_3 + \frac{1}{2}(B + S + C + b + t + \dots).$$

Често пъти е удобно да въведем т. нар. хиперзаряд Y .

$$Y = B + S - C + b - t + \dots$$

И така, като знаем всички характеристики на дадена частица, можем да определим нейната индивидуалност.

ТАБЛИЦА НА МЕНДЕЛЕЕВ. ЗА ЕЛЕМЕНТАРНИТЕ ЧАСТИЦИ

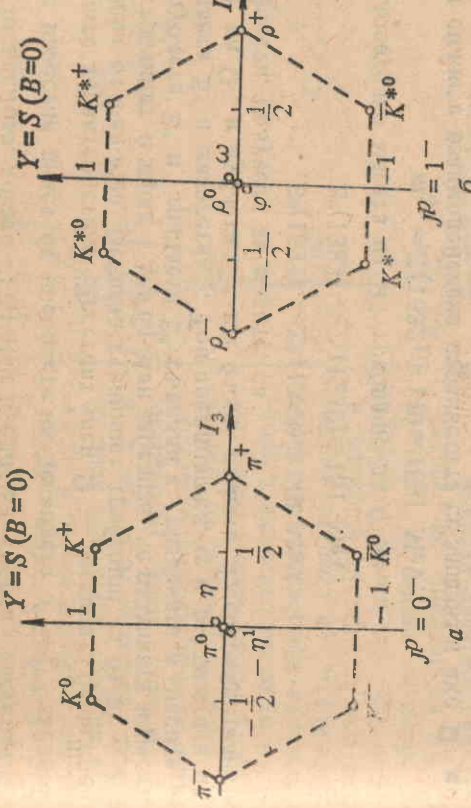
Когато броят на елементарните частици надхвърли няколко десетки, стана актуален проблемът за тяхната класификация в стройна система от типа на таблицата на Менделеев.

Ключ към намиране на правилния отговор даде подраждането на частиците в изотопичните мултиплети. През 1961 г. Мърей Гел-Ман и Ювал Нееман независимо един от друг установиха, че няколко изотопични мултиплета от частици с единакъв спин и четност, с близки маси, но различаващи се по своята странност могат да бъдат групирани в мултиплети — за мезоните по девет (нонети), а за барионите по осем (октети) и десет частици (декаплети).

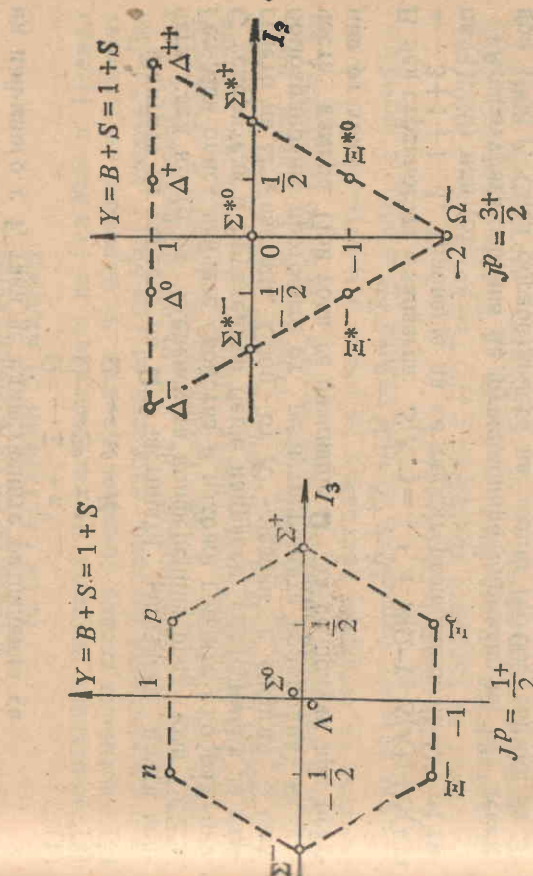
Принципът на това групиране става най-ясен, ако разположим частиците от съответните нови, по-големи мултиплети върху координатна система, по абсцисата на която е нанесена третата проекция на изотопичния спин, а по ординатата — хиперзарядът $Y = B + S$. На фиг. 3 са представени нонетите от псевдоскалярни октети (спин-четност 0^-) и векторните (спин-четност 1^+) мезони.

Псевдоскаларният нонет е съставен от един изотопичен триплет със странност 0 (π^+, π^0, π^-), два изотопични дублета (K^0, K^+) и (K^-, \bar{K}^0) със странност $+1$ и -1 и два синглета η и η' със странност 0 . По подобен начин е построен и нонетът от векторни мезони ($J^P = 1^-$).

Основните състояния на барионите — частиците със спин-четност $\frac{1}{2}^+$ образуваат октет, представен на фиг. 4. Барионните резонанси с $J^P = \frac{3}{2}^+$ образуваат декаплета на фиг. 5.



Фиг. 3. a) Нонетът от псевдоскаларни мезони със спин-четност $J^P = 0^-$; б) нонетът от векторни мезони със спин-четност $J^P = 1^-$.



* Синглет означава семейство, състоящо се само от една частица.

По времето, когато Гел-Ман предложи своята систематика, бяха известни девет от членовете на декаплета $J^P = \frac{3}{2} +$ заедно с техните характеристики. Десетият член Ω^- — частицата беше предсказана от Гел-Ман. Нейната странност трябваше да бъде -3 , а електричният ѝ заряд -1 . Гел-Ман забеляза, че разликата в масите на дублета Σ^* и триплета Σ съвпада с разликата в масите на триплета Σ^* и квартета Δ . Той предположи, че и разликата в масите на Ω^- и дублета Ξ^* ще бъде същата. Експерименталните стойности, получени за масите, са

$$\Xi^*(1532) - \Sigma^*(1383) = 149 \text{ MeV}$$

$$\Sigma^*(1383) - \Delta(1232) = 151 \text{ MeV}.$$

Следователно масата на Ω^- трябваше да бъде

$$m_{\Omega^-} = \Xi(1532) + 149 = 1681 \text{ MeV}.$$

При силните взаимодействия странността се запазва и ако Ω^- можеше да се разпада със силно, сумарната странност на продуктите трябва пак да е -3 . Следователно единствено възможни сили разпадания са $\Omega^- \rightarrow \Sigma^0 + K^-$ и $\Omega^- \rightarrow \Xi^- + \bar{K}^0$. И в двата случая обаче пълната маса на разпадането от разпадането е по-голяма от предвидената маса на Ω^- и естествено силните разпадания бяха изключени. Ω^- трябваше да се разпада бавно с помощта на слабите взаимодействия. В този случай странността може да се изменя най-много с 1, така че единствените разпадания са

$$(1) \quad \Omega^- \rightarrow E^- + \pi^0$$

$$(2) \quad \Omega^- \rightarrow E^0 + \pi^-$$

$$(3) \quad \Omega^- \rightarrow \Lambda^0 + K^-.$$

Опитите за търсене на Ω^- -частичата започнаха почти веднага, след което на Женевската конференция през юли 1962 г. Гел-Ман описа нейните свойства и изложи горите съображения. С ускорителя в Брукхейвън беше направен експеримент за търсение на Ω^- -частича. Сноп от K^- -мезони с енергия 5 GeV бомбардираше протоните от регистриращата водородна мехурчеста камера. При това се очакваше Ω^- да се получи при реакция от типа

$$K^- + p \rightarrow \Omega^- + K^+ + K^0.$$

В нея странността е запазена: $S(K^-) = -1$, а $S(\Omega^-) + S(K^+) + S(K^0) = -3 + 1 + 1 = -1$. Трябваше да се търсят разпадания на Ω^- от тип (1), (2) или (3).

Апаратура започна да функционира нормално на 13 декември 1963 г. След обработването на около 100 000 снимки на 31

виуари 1964 г. експериментаторите обърнаха особено внимание на снимката, която е показвана на фиг. 6. На нея ясно се вижда разпадането Ω^- на Ξ^0 и π^- -частичи, чито разпадания също са зафиксирани. Анализът на следите показва, че масата на Ω^- е между 1668 и 1686 MeV и е в чудесно съгласие с предсказаната стойност от 1681 MeV.

Дължината на следата ѝ оставена във водородната камера, е около 2,5 см, което отговаря на време на живот от порядъка 10^{-10} s, характерно за разпадането на странните частици.

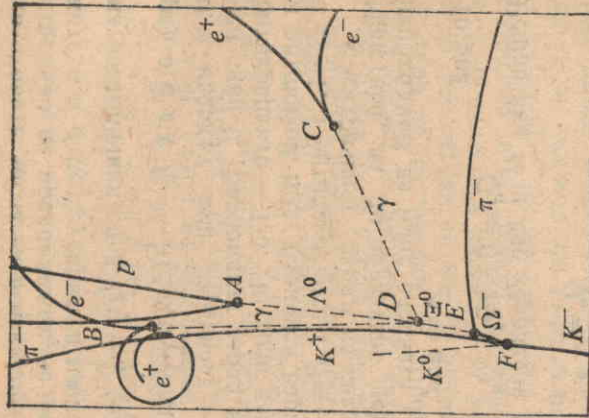
Откриването на Ω^- -частичата беше истински триумф за систематиката на Гел-Ман и Нееман. Още по-важно е обаче, че тя издържа и проверката на времето.

Фиг. 6

**АДРОНИТЕ НЕ СА ЕЛЕМЕНТАРНИ –
ТЕ СА СЪСТАВЕНИ ОТ КВАРКИ**

Най-ценните резултат от систематиката на Гел-Ман и Нееман от съвременна гледна точка е изводът, че адроните се състоят от по-елементарни частици, наречени от Гел-Ман „кварки“. Понеделателното прокарване на мисълта за групиранието на мезоните в нюнети, а на барионите в октети и декаплети, през 1964 г. единовременно доведе Цвайт и Гел-Ман до идеята, че подобно поддържане е възможно само ако те са съставени от 3 фундаментални частици със спин $1/2$, но с дробен електричен и барионен заряд — т. нар. кварки. Съгласно хипотезата им мезоните са свързани състояния на кварк q и антикварк \bar{q} (символично $M = q\bar{q}$), барионите на три кварка ($B = qqq$), а антибарионите на три антикварка ($\tilde{B} = \bar{q}\bar{q}\bar{q}$).

Спинът на кварките трябва да е $1/2$, тъй като само в този случаи съставените от тях бариони могат да бъдат с полуцял спин. Вътрешните квантови числа на кварките — изотопичен спин I и странност S , се определят от необходимостта да бъдат получени



69

квантовите числа на всички мезони и бариони. За тази цел е достатъчно да предположим, че има три вида кварки: u , d и s . Кварките u и d се групират в изотопичен дублет — и има проекция на изотопичния спин $I_3 = +\frac{1}{2}$ (отгук и означението „пр“ — нагоре), а d е с $I_3 = -\frac{1}{2}$ (down — надолу). Двата кварка имат странност 0. s -кваркът има странност -1 (strange — странен) и изотопичен спин 0. Барионният заряд на кварките очевидно е $1/3$, а на антикварките $-1/3$. По този начин мезоните, съставени от кварк и антикварк, имат барионен заряд 0, барионите от три кварка с $B=1$, а антибарионите с $B=-1$.

Електричният заряд на кварките се получава също дробен! Наистина, за да образуват неутронът и протонът изодублет, е необходимо да имат следната структура

$$n = dud$$

Решавайки тези две уравнения спрямо Q_u и Q_d , получаваме, че

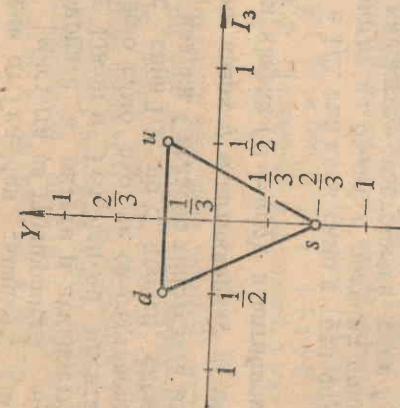
$$Q_u = +\frac{2}{3}, \quad Q_d = -\frac{1}{3}.$$

Аналогично Ω^- е съставен от три страни кварка ($s(\Omega^-) = -3$) и следователно

$$3Q_s = -1, \text{ т. е. } Q_s = -\frac{1}{3}.$$

В координатната система I_3, Y кварките u и d и s се разполагат, както е показано на фиг. 7.

Фиг. 7



глъсно с принципа на Паули два фермиона не могат да бъдат едновременно в едно и също състояние, а в Ω^- имаме три такива фермиона! Нима принципът на Паули не е введен за кварките? Разрешение на този въпрос беше намерено едновременно от Боголюбов, Струмински и Тавхелидзе, Хан и Намбу и Гринберг през 1965 г. Те предположиха, че всеки тип (аромат) кварки съществува в три разновидности, които по-късно (през седемдесетте години) получиха названието „цветове“. Следователно има по три цвята от всеки аромат. Условно можем да ги наречем син, червен и жълт. (Например $u_{\text{син}}$, $u_{\text{червен}}$, $u_{\text{жълт}}$.) Тогава Ω^- е свързано състояние на три различни по цвят кварки: $\Omega = s_{\text{син}}u_{\text{червен}}d_{\text{жълт}}$) и проблемът с принципа на Паули е разрешен.

Важно предположение на кварковия модел е, че както мезоните, така и барионите са безцветни комбинации от цветни кварки. С други думи, макар че кварките са цветни, те се поддържат в мезоните и барионите по такъв начин, че цветът им остава скрито квантово число, което не се проявява във външните им взаимодействия (за разлика от аромата). Поради тази причина в по-нататъшното ни изложение ще говорим само за „ароматната“ структура на адроните, а за цветната само ще помним, че съществува. За любопитния читател все пак ще напишем две формули, определящи строго кварковата структура, като се вземе пред вид както цветът, така и ароматът им

$$\begin{aligned} M_{ik} &= \frac{1}{\sqrt{3}} \sum_{\alpha=1}^3 q_i^\alpha q_k^\alpha \\ B_{ikl} &= \frac{1}{\sqrt{6}} \sum_{\alpha, \beta, \gamma=1}^3 \varepsilon_{\alpha \beta \gamma} q_i^\alpha q_k^\beta q_l^\gamma. \end{aligned}$$

Индексите i , k , l могат да вземат толкова стойности, колкото аромата имаме. В нашия случай те са три — u , d , s . По i , k , l няма сумиране и следователно от тях зависи видът както на мезона, така и на бариона. Гърцките индекси заемат три стойности — 1, 2 и 3, всяка от които съответствува на един цвят — червен, син и жълт. По тях се сумира и следователно сумите M или B не зависят от цвета. В този смисъл казваме, че мезоните и барионите са безцветни. Тук $\varepsilon_{\alpha \beta \gamma}$ е^{*} напълно антисиметричен тензор, като числата $\varepsilon_{\alpha \beta \gamma}$ имат следните стойности: $\varepsilon_{123}=1$, $\varepsilon_{abc}=0$, ако два от индексите съвпадат, а всички останали се получават от ε_{123} по формулата $\varepsilon_{abc}=(-1)^a$, където a е броят на разместяванията на съседни числа от наредената тройка $\alpha \beta \gamma$.

Тъй като кварковият модел на адроните има някои необикновени черти, ще резюмираме най-важните моменти в него:

1. Мезоните са свързани състояния на кварк и антикварк $M = \bar{q}q$, а барионите на три кварка $B = qqq$.

2. Квантовите числа на трите аромата кварки u, d, s са дадени в таблици 1. Запомнете, че електричният и барийонният им заряд са дробни числа!

3. Всеки аромат u, d и s съществува в три цвята.

Таблица 1

	Q	I	I_3	B	S	$Y=B+S$
u	+2/3	1/2	1/2	1/3	0	1/3
d	-1/3	1/2	-1/2	1/3	0	1/3
s	-1/3	0	0	1/3	-1	-2/3

ОЦЕЗА КВАРКОВАТА СТРУКТУРА НА АДРОНИТЕ

Изхождайки от хипотезата, че мезоните са свързани състояния на кварк и антикварк $M = \bar{q}q$, нека видим какви са възможните стойности за техните спин и четност. Знаем, че четността на една частица, съставена от два кварка, q и \tilde{q} , е $P = P_q P_{\tilde{q}} (-1)^L$. Където P_q е вътрешната четност на кварка, $P_{\tilde{q}}$ на антикварка, а L е относителният им орбитален момент. Тъй като четностите на частицата и античастичната им орбита имат противоположен знак (кварките имат спин $1/2$ и следователно са фермии), произведението $P_q P_{\tilde{q}} = -1$ и четността на мезона ще бъде равна на $P_q = (-1)^{L+1}$. Пълният им спин е $J = L + S$, където L е относителният орбитален момент, а S е сумата от спиновете на двата кварка. Основното състояние е с $L=0, S=0$, отговарящо на противоположно насочени спинове на двата кварка и относителен орбитален момент 0. В този случай $J^P = 0^-$ и основното състояние наистина точно съответствува на псевдоскалярните мезони! При положение, че двата спина са единакво насочени и $L=0$, пълният спин J е единица, а четността $-1, J^P = 1^-$ — отново правилно съотношение между спина и четността за всички мезони!

$$K^0 = \bar{s} \uparrow d \downarrow$$

$$\bar{K}^0 * = \bar{s} \uparrow d \uparrow$$

$$\eta' = \frac{1}{\sqrt{3}}(\bar{u} \uparrow u \downarrow + \bar{d} \uparrow d \downarrow + \bar{s} \uparrow s \downarrow)$$

$$\eta = \frac{1}{\sqrt{6}}(\bar{u} \uparrow u \downarrow + \bar{d} \uparrow d \downarrow - 2\bar{s} \uparrow s \downarrow)$$

$$\pi^0 = \frac{1}{\sqrt{2}}(\bar{u} \uparrow u \downarrow - \bar{d} \uparrow d \downarrow)$$

$$\rho^0 = \frac{1}{\sqrt{2}}(\bar{u} \uparrow u \uparrow - \bar{d} \uparrow d \uparrow)$$

$$\omega = \frac{1}{\sqrt{2}}(\bar{u} \uparrow u \uparrow + \bar{d} \uparrow d \uparrow)$$

$$\varphi = \bar{s} \uparrow s \uparrow$$

$$\pi^- = \bar{u} \uparrow d \downarrow$$

$$\rho^- = \bar{u} \uparrow d \uparrow$$

$$K^- = \bar{u} \uparrow s \downarrow$$

$$\bar{K}^- * = \bar{u} \uparrow s \uparrow$$

$$\pi^+ = \bar{d} \uparrow u \downarrow$$

$$\rho^+ = \bar{d} \uparrow u \uparrow$$

$$K^+ = \bar{d} \uparrow s \downarrow$$

$$\bar{K}^+ * = \bar{d} \uparrow s \uparrow$$

Фиг. 8. Кварково съдържание на псевдоскаларния (с противоположно насочени спинове на кварките) и на векторния (нонети мезони

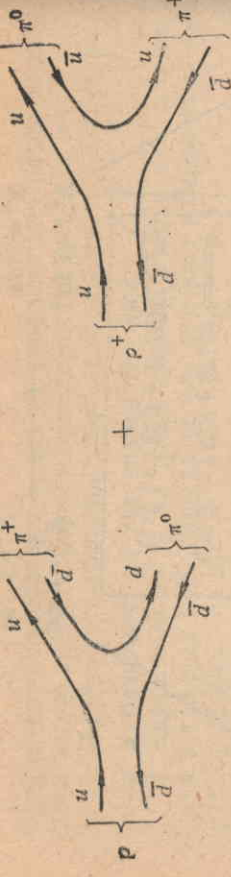
кварковото съдържание на псевдоскаларния и векторния но-

нет мезони е показано на фиг. 8. Интересно е да се отбележи различната кваркова структура на псевдоскаларните η и η' от една страна, и векторните ω и φ мезони, от друга. Този факт все още не е намерил достатъчно убедително обяснение в рамките на прост модел.

Чисто "страницата" структура на φ -мезона дава възможност да се обясняват особеностите на неговите разпадания. За да направим това обаче, е необходимо да се запознаем с едно важно правило в кварковия модел — т. нар. правило на Окубо, Цвай и Изуки („правилото ОЦИ“) или още „правилото за непрекъснатите кваркови линии“.

Нека на кварките съпоставим непрекъснати линии, насочени

от ляво на дясно, а на антикварките — линии с противоположна посока. По непрекъснатите линии квантовите числа на кварките са еднакви и те трябва да се разположат така, че всички закони за запазване да са изпълнени. Като пример да разгледаме разпа-

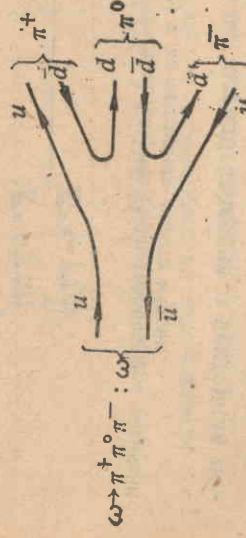


Фиг. 9

дането на ρ -мезона на два π -мезона. Той се описва със сумата на двете диаграми, показани на фиг. 9. Двойките $u\bar{u}$ и $d\bar{d}$ се разделят от вакуума, за да „адронизират“ разходящите кваркови линии на съставните u и d -кварки, превръщайки се заедно с тях в π^0 и π^+ -мезони.

Ще ни интересуват два типа диаграми — непрекъснати и прекъснати. Прекъснати ще наричаме такива кваркови диаграми, които могат да бъдат разделени на две части, съдържащи само адрони, без да се разъскава никој една кваркова линия.

Обратно, непрекъснати диаграмите, които не могат да бъдат разделени по този начин. Диаграмите, отговарящи на разпадането на ρ -мезона, са непрекъснати. Правилото на ОЦИ в този случай гласи: „Процесите, които се описват от прекъснати кваркови диаграми, са силно подтиснати в сравнение с процесите, описвани от непрекъснати диаграми.“ В съвременната теория на силните взаимодействия правилото на ОЦИ намира своето обяснение, но ние ще се

Фиг. 10. $\omega \rightarrow 3\pi^0$ -разпаданеФиг. 11. $\varphi \rightarrow K^- K^+$ -разпаданеФиг. 12. $\varphi \rightarrow 3\pi^-$ -разпаданеФиг. 12. $\varphi \rightarrow 3\pi^-$ -разпадане

задоволим с феноменологичното му прилагане. Известно е, че ω -мезонът охога се разпада на три π -мезона, φ -мезона на $2K^-$ -мезона, но разпадането на φ на 3π е силно подтиснато, въпреки че на пръв поглед то би трябвало да е най-малкото от същия порядък като $\omega \rightarrow 3\pi$, тъй като всички квантови числа на двете частни съвпадат. Обяснение ни дава правилото за непрекъснатите кваркови линии заедно с факта, че $\varphi = ss$ и има „скрита странност“ — „откритата“ странност на φ е nulla. Наистина, както се вижда и от фиг. 10 и фиг. 11, $\omega \rightarrow 3\pi$ и $\varphi \rightarrow K^- K^-$ съответствуваат непрекъснати, кваркови диаграми, а на разпаданията $\varphi \rightarrow 3\pi$ съответствува прекъсната диаграма (фиг. 12). В един от следващите праграфи ще видим, че получените от горния пример, с помощта на правилото на Окубо — Цвайг — Изуки ще можем да интерпретираме някои нови важни експериментални факти.

Да преминем сега към строежа на барионите. Октетът на основните бариони има спин $1/2$ и като имаме пред вид, че те са съставени от три кварка, ясно е, че два от тях имат противоположни спинове

$$B = q^I \uparrow q^{II} \downarrow q^{III} \uparrow.$$

Кварковата структура на октета $J^P = \frac{1}{2}^+$ по аромати е показана на фиг. 13. За да образуваме декаплета с $J^P = \frac{3}{2}^+$, е необходимо и трите кварка да имат еднакво насочени спинове

$$B = q^I \uparrow q^{II} \uparrow q^{III} \uparrow.$$

$$J^P = \frac{1+}{2}$$

Фиг. 13. Кварково съдържание на барионния октет с $J_P = \frac{1+}{2}$

ТЕОРЕТИЧИТЕ ОБСЪЖДАТ ВЪЗМОЖНОСТА ДА СЪЩЕСТВУВА ЧЕТВЪРТИ ·ТИП КВАРКИ

В редица теоретични работи още през 1964 г. въз основа на предполагаема симетрия между лептоните и кварките беше предвидано съществуването на четвърти кварт. Преди всичко трябва да отбележим работите на Хара и независимо от него на Бъркен и Глешоу, които са най-блиски по дух до съвременните представи за възникналия проблем.

Нека си припомним, че има два дублета лептона ($\begin{pmatrix} \nu_e \\ e^- \end{pmatrix}$) и ($\begin{pmatrix} \nu_\mu \\ \mu^- \end{pmatrix}$).

Зарядите на двойките частици (ν_e, ν_μ) и (e^-, μ^-) са еднакви, разликата на електричните заряди на частичите във всеки дублет е единица. От трите кварка u, d и s може да се образува съмо един дублет от този тип $\begin{pmatrix} u, Q_u = \frac{2}{3} \\ d, Q_d = -\frac{1}{3} \end{pmatrix}$. Тук отново разли-

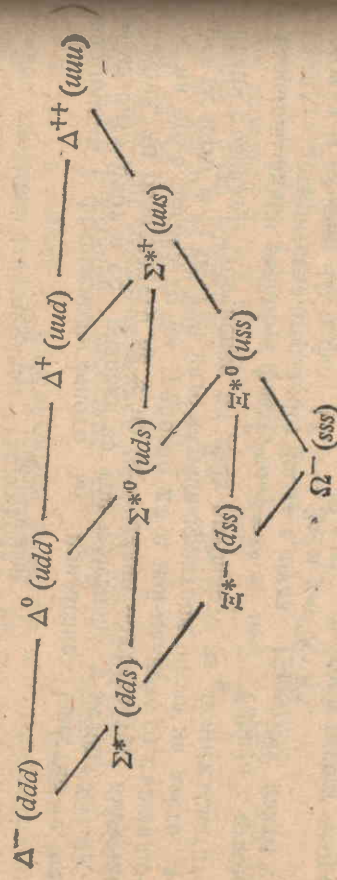
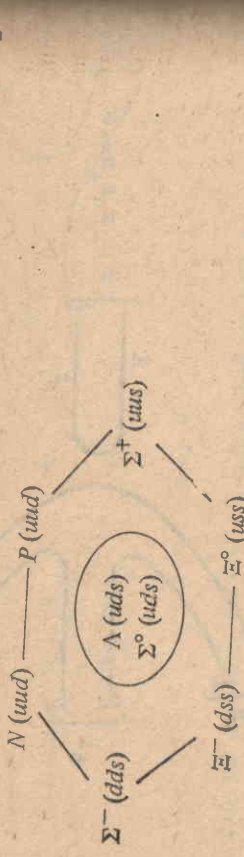
ката в зарядите на частичите в дублета е равна на единица. Ако предположим, че между лептоните и кварките има симетрия, става съвсем естествено да въведем нов четвърти кварт c , който следно със странния кварт s , имаш електричен заряд $-1/3$, да образува втори дублет от горния тип. Зарядът на c -кварка трябва да е такъв, че $Q_c - Q_s = Q_c + 1/3 = 1$. Оттук веднага получаваме, че $Q_c = +2/3$. Новият кварт е с различен аромат, който Глешоу кръсти „чар“.

Чарът характеризираме с ново квантово число $C=1$.

Няколко години по-късно Глешоу, Илиопулос и Майани, изучавайки структурата на теорията на слабите взаимодействия, показваха, че четвъртият кварт е наистина необходим. Само с него-ва помош можеха едновременно да бъдат обяснени нищожната вероятност за разпадането $K_L \rightarrow 2\bar{\nu}$ и разликата в масите на K_L^0 и K_s^0 -мезоните. (K_L и K_s мезоните са линейни комбинации на K^0 и \bar{K}^0 : $K_L = \frac{1}{\sqrt{2}}(K^0 - \bar{K}^0)$, $K_s = \frac{1}{\sqrt{2}}(K^0 + \bar{K}^0)$.) От известната разлика $m_{K_L} - m_{K_s}$ Ли, Гайар и Реснер пресметнаха, че масата на c -кварка е $m_c \leq 1.5 - 2$, 0 GeV и следователно откриването на частици, които съдържат новия кварт, беше по възможностите на съществуващите ускорители!

Наличното на нов кварт очевидно веднага води до предсказанието на много нови частици. Да се опитаме, изхождайки от

известната ни кваркова структура на адроните, сами да определим какви нови частици ще очакваме.



Фиг. 14. Кварково съдържание на барионния декаплет $J^P = \frac{3+}{2}$

Тогава съвсем не е трудно да се види, че разпределението на кварките по аромати в състава на декаплета е такова, каквото е показаното на фиг. 14.

Оказа се, че и на всички останали резонанси може да бъде приписана кваркова структура от типа $M = \tilde{qq}$ и $B = \tilde{qqq}$, като спинове се получават от основните състояния, които $L > 0$. До днешния момент няма экспериментални данни, които да сочат, че съществуват „екзотични“ състояния от типа $M = \tilde{qqqq}$, $M = \tilde{qqq}$, $B = \tilde{qqq}$, $B = \tilde{qqqq}$ и други. Цялата спекулация на известните ни адрони може да се обясни с кварковия модел ($M = \tilde{qq}$ и $B = \tilde{qqq}$).

Таблица 2

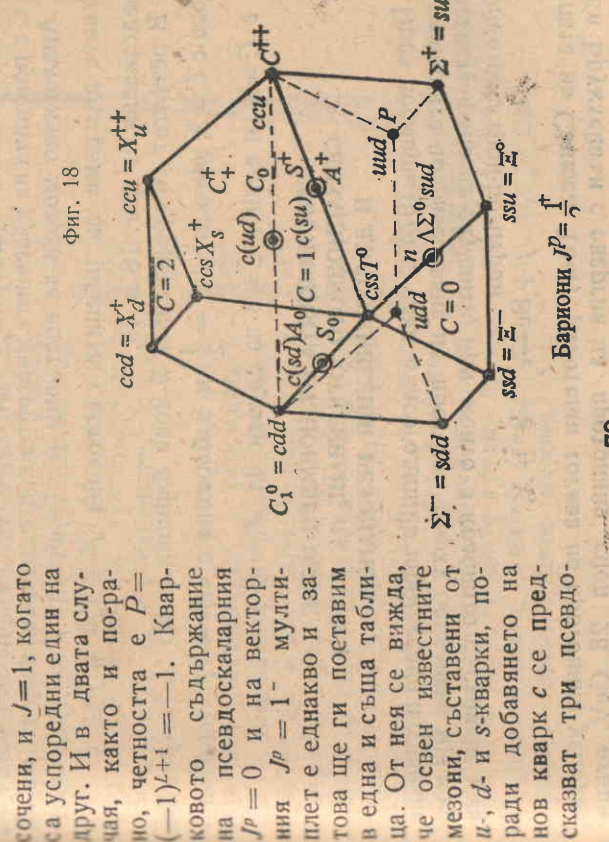
	<i>u</i>	<i>d</i>	<i>s</i>	<i>c</i>
\tilde{u}	$\tilde{u} \uparrow d \downarrow = \pi^-$ $\tilde{u} \uparrow d \uparrow = \rho^-$	$\tilde{u} \uparrow s \downarrow = K^-$ $\tilde{u} \uparrow s \uparrow = K^{*-}$	$\tilde{u} \uparrow c \downarrow = D^0$ $\tilde{u} \uparrow c \uparrow = D^{0*}$	
	$\tilde{d} \uparrow u \downarrow = \pi^+$ $\tilde{d} \uparrow u \uparrow = \rho^+$		$\tilde{d} \uparrow c \downarrow = D^+$ $\tilde{d} \uparrow c \uparrow = D^{+*}$	
\tilde{d}		$\tilde{s} \uparrow u \downarrow = K^+$ $\tilde{s} \uparrow u \uparrow = K^{+*}$	$\tilde{s} \uparrow d \downarrow = K^0$ $\tilde{s} \uparrow d \uparrow = K^{0*}$	$\tilde{s} \uparrow c \downarrow = F^+$ $\tilde{s} \uparrow c \uparrow = F^{+*}$
		$\tilde{c} \uparrow u \downarrow = \tilde{D}^0$ $\tilde{c} \uparrow u \uparrow = \tilde{D}^{0*}$	$\tilde{c} \uparrow d \downarrow = D^-$ $\tilde{c} \uparrow d \uparrow = D^{*-}$	$\tilde{c} \uparrow s \downarrow = F_-$ $\tilde{c} \uparrow s \uparrow = F_{-*}$
\tilde{s}				

Фиг. 15

$Y = B + S = S$

Фиг. 17

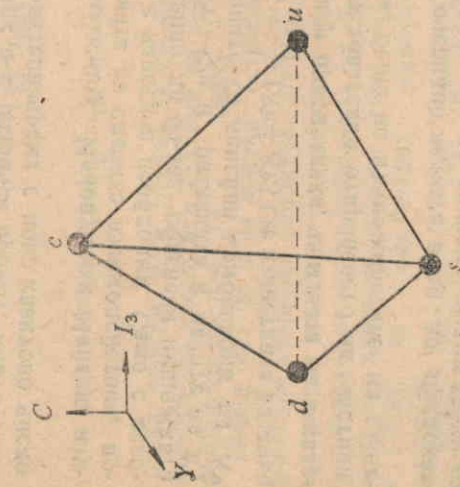
Фиг. 16



Фиг. 18

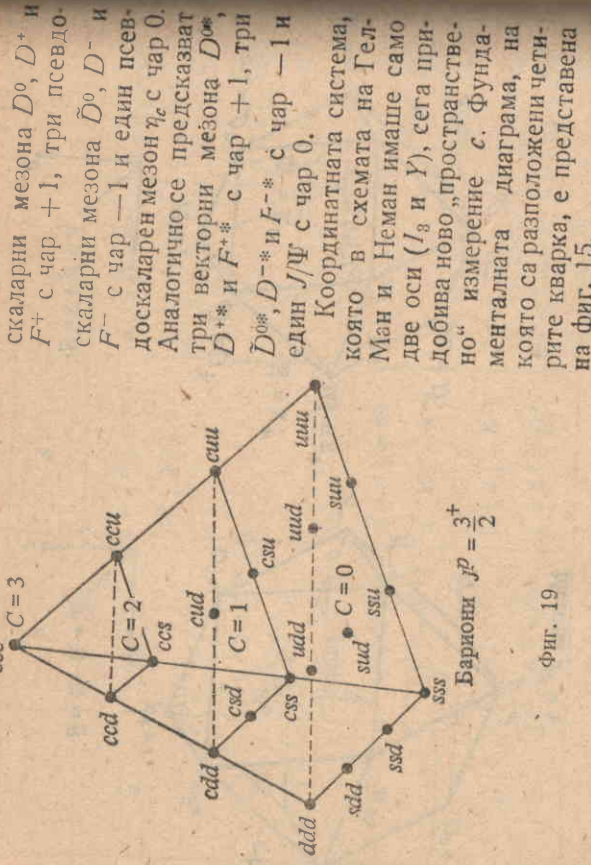
Фиг. 19

Да започнем с мезоните, които са свързани със состояния на кварк и антикварк $M_{ik} = q_i q_k$. Индексите i и k сега приемат четири стойности, отговарящи на четирите различни аромата — u , d , s , c , а сумирането по трите цвята се подразбира в най-ниско-то състояние с орбитален момент $L=0$ пълният спин J е равен на сумата от спиновете на кварка и антикварка и следователно има само две възможности: $J=0$, когато спиновете са противоположно на- ради добавянето на нов кварк c се предсказват три псевдо-



Фиг. 17

Фиг. 19



Фиг. 19

Скаларни мезона D^0 , D^+ и F^+ с чар +1, три псевдоскаларни мезона \bar{D}^0 , D^- и F^- с чар -1 и един псевдоскаларен мезон η_c с чар 0. Аналогично предсказват три векторни мезона D^{*0} , D^{*+} и F^{*+} с чар +1, три \bar{D}^{*0} , D^{*-} и F^{*-} с чар -1 и един J/Ψ с чар 0.

Координатната система, която в схемата на Гелман и Неман имаше само две оси (I_3 и Y), сега придобива ново „пространствено“ измерение с Фундаменталната диаграма, на която са разположени четирите кварка, е представена на фиг. 15.

Нонетите на псевдоскалярните и векторните мезони се разширяват до 16-плети, които се изобразяват в тримерното пространство на променливите I_3 , Y , C с помощта на красивите многостраници, представени на фиг. 16 и 17. Аналогично можем да постъпим и с барионите $B=q\bar{q}\bar{q}_k$. Съответните диаграми за низшите състояния $J^P = \frac{1}{2}^+$ и $J^P = \frac{3}{2}^+$ са представени на фиг. 18 и 19.

В резултат се предсказват 9 нови бариона с чар +1, три бариона с $C=2$, всичките с $J^P = \frac{1}{2}^+$ и 6 бариона с чар +1, три бариона с $C=2$ и един с $C=3$ за случая на $J^P = \frac{3}{2}^+$.

РЕВОЛЮЦИЯТА ОТ НоЕМВРИ 1974 Г. И ДЪЛГОЖИВЕЩИ РЕЗОНАНСИ

През ноември 1974 г. след дългогодишно внимателно изучаване на реакцията по разсейване на протони върху берилиева миниена двойка електрон-позитрон $p + Be \rightarrow e^+ + e^- + X$, групата на Самюел Тинг, работеща тогава на протонния сноп 28 GeV, откри

максимум в пълното сечение при инвариантна маса на двойката e^+e^- от 3100 MeV. Тинг интерпретира правилно максимума като резонансна частица (най-тежката известна до този момент) и даде името J -частица. Също през ноември групата на Бърт Рихтер започваща да работи на новия си детектор, поставен в една от зоните, където се пресичаха и взаимодействуваха на-средните електронни и позитронни снопове на ускорителя в Стенфорд. Менеики плавно енергията на двата снопа, експериментаторите изследважа хода на пълното сечение в реакцията, при която протича стълкновение на електрон e^- с позитрон e^+ , като при това изходът на реакцията е напълно произволен (т. е. при реакцията $e^-e^+ \rightarrow$ всички възможни продукти). Изведнаж при енергия 3 GeV апаратурата им практически беше задавана от огромен брой събития. Едно дневното изучаване на това явление позволя ясно да се види структурата на много тесен резонанс с маса 3095 MeV, който беше наречен Ψ -частица. Няколко дена след това, получи-

ли известие от Стенфорд, италиански физици наблюдаваха Ψ -частицата в ускорителя във Фраскати. Спорът за приоритет в откриването и даване на наименование на новооткритата частица беше мъдро решен от обществеността на физичните, която възприе названието J/Ψ , и от Нобеловия комитет, който отсъди Нобеловата награда на Тинг и Рихтер.

На фиг. 20 и 21 са показани първите резултати, получени от двете групи. Предимството на e^+e^- -сноповете в изучаването на J/Ψ -частицата е очевидно.

Най-интересното свойство на новооткритата частица не е огромната ѝ маса, а нищожната ѝ ширина (голямото време на живот) при разпадането ѝ на адрони, която говори, че тези разпадания са силно поддържани. Пълната ширина $\Gamma_{J/\Psi}$ е 0.063 ± 0.009 MeV. Колко удивителна е тази стойност, се вижда от фиг. 22. По абсцисата е нанесена масата в GeV, а по ординатата — ширина Γ в MeV. Черните точки представляват местата, които заемат на графиката обикновените мезони. Ако

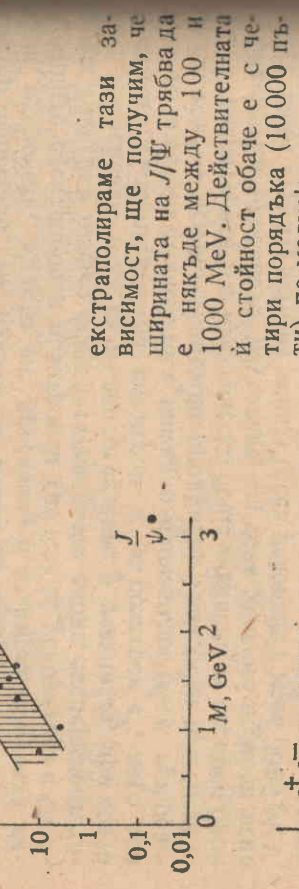
протон максимум в пълното сечение при инвариантна маса на двойката e^+e^- от 3100 MeV. Тинг интерпретира правилно максимума като резонансна частица (най-тежката известна до този момент) и даде името J -частица. Също през ноември групата на Бърт Рихтер започваща да работи на новия си детектор, поставен в една от зоните, където се пресичаха и взаимодействуваха на-средните електронни и позитронни снопове на ускорителя в Стенфорд. Менеики плавно енергията на двата снопа, експериментаторите изследважа хода на пълното сечение в реакцията, при която протича стълкновение на електрон e^- с позитрон e^+ , като при това изходът на реакцията е напълно произволен (т. е. при реакцията $e^-e^+ \rightarrow$ всички възможни продукти). Изведнаж при енергия 3 GeV апаратурата им практически беше задавана от огромен брой събития. Едно дневното изучаване на това явление позволя ясно да се види структурата на много тесен резонанс с маса 3095 MeV, който беше наречен Ψ -частица. Няколко дена след това, получи-

ли известие от Стенфорд, италиански физици наблюдаваха Ψ -частицата в ускорителя във Фраскати. Спорът за приоритет в откриването и даване на наименование на новооткритата частица беше мъдро решен от обществеността на физичните, която възприе названието J/Ψ , и от Нобеловия комитет, който отсъди Нобеловата награда на Тинг и Рихтер.

На фиг. 20 и 21 са показани първите резултати, получени от двете групи. Предимството на e^+e^- -сноповете в изучаването на J/Ψ -частицата е очевидно.

Най-интересното свойство на новооткритата частица не е огромната ѝ маса, а нищожната ѝ ширина (голямото време на живот) при разпадането ѝ на адрони, която говори, че тези разпадания са силно поддържани. Пълната ширина $\Gamma_{J/\Psi}$ е 0.063 ± 0.009 MeV. Колко удивителна е тази стойност, се вижда от фиг. 22. По абсцисата е нанесена масата в GeV, а по ординатата — ширина Γ в MeV. Черните точки представляват местата, които заемат на

Фиг. 21. Резултатите на групата на Б. Рихтер. Три различни разпадания на новия резонанс ψ — на адрони, $\mu^+\mu^-$ и e^+e^- .



екстраполираме тази зависимост, ще получим, че ширината на J/Ψ трябва да е някъде между 100 и 1000 MeV. Действителната стойност обаче е с четири поръдъка (10 000 пъти) по-малка!

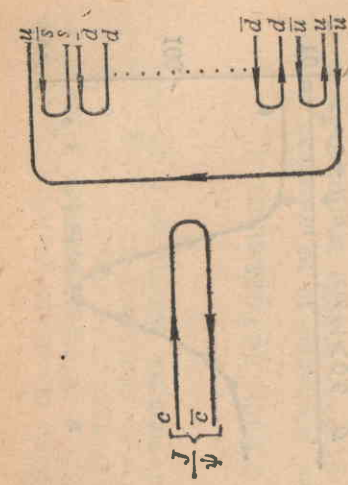
Възьщностните изчисления пример, който ще ни помогне да разберем, низложната ширина J/Ψ — това е φ -мезонът с маса 1020 MeV. Неговата пълна ширина е 4.1 ± 0.2 MeV и всъщност не е толкова малка. Но 83% от нея се дължат на разпадането $\varphi \rightarrow +2K$, кое то е възможно, защото масата на φ -мезона е много по-голяма от масата на двата K -мезона. Ако за миг си представим, че масата на φ -мезона беше недостатъчна той да се разпадне на два — K -мезоните, то пълната му ширина ще се оразува само от оставащите 17%, а именно би била едва 0,7 MeV, което е само с един поръдък по-вече от ширината на J/Ψ . Нека си спомним, че φ -мезонът е свързано със

стояние на странни кварк и антикварк и че съгласно правилото на непрекъснатите кваркови линии, разпадането му на три π -мезона, които са съставени от u и d -кварки, е същно подтиноснато (вж. фиг. 12).

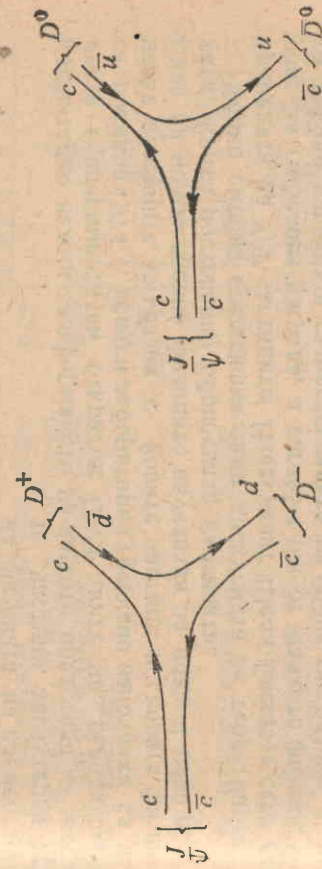
Тогава малката ширина на J/Ψ може да бъде разбррана, ако предположим, че тя е свързано съсстояние на два нови тежки кварка — кварк и антикварк, вски с маса около 1,5 GeV. Иай-естествено е това да са предсказаниите вече кварки с чар и си

с. В този случай разпадането на обикновени мезони (съдържащи само известните ни u , d и s -кварки) е забранено от правилото на Окубо, Цвайг, Изуки, също както и разпадането $\varphi \rightarrow 3\pi$, тъй като при него е нарушена непрекъснатостта на кварковите линии (фиг. 23).

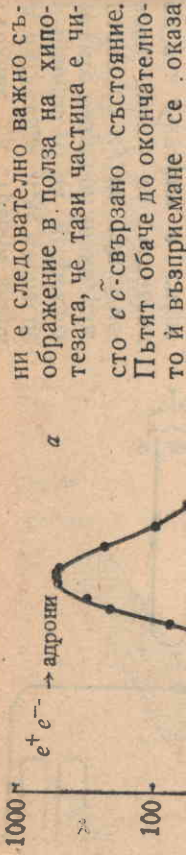
Разпаданятията без нарушение на непрекъснатостта на кварковите линии, като например показаните на фиг. 24, също трябва да бъдат забранени, тъй като те биха противчали без никакви пречки и биха довели до ширини от порядъка на 100—1000 MeV. Такава забрана е възможна само ако масата на J/Ψ е по-малка от сумите на масите на два от най-леките мезона с чар, различен от нула — D -мезоните. Тогава разпаданията, означени на фиг. 24, са невъзможни като противоречещи на закона за запазване на енергията. Малката ширина на разпадането на J/Ψ в адроване



Фиг. 23



Фиг. 24



Фиг. 25
Енергия $E_{\text{c.m.}}$ (GeV)

ни е следователно важно също ображение в полза на хипотезата, че тази частица е чисто ψ -съвързано състояние. Пътят обаче до окончателното ѝ възприемане се оказа дълъг.

В Стенфорд експериментално беше доказано, че спин-четността на J/Ψ е 1^- , също като на чисто векторна частица, а изотопичният и спин е нула.

Няколко дена след откриването на J/Ψ в Стенфорд, а малко по-късно и в Хамбург, в пълното сечение на реакцията $e^+e^- \rightarrow$ адрони беше намерен еще един тежък многочлен резонанс с маса 3686 MeV и ширина $\Gamma = 0,215$ MeV. Също както J/Ψ , новият резонанс, наречен Ψ' , има $J^P = 1^-$ и изотопичен спин 0. На фиг. 25 е показван пикът, отговарящ на Ψ' , видян в сечението.

С откриването на J/Ψ започна нов етап в развитието на физиката на элементарните частици, характерен с изключително важни за оформянето на нашите представи за микросвета експериментални открития. След дните на „революцията“ от ноември 1974 г. всички лаборатории трескаха за изучават явленията, свързани с новите частици и „новата физика“. Едва ли не ежедневно физиците научаваха за нови и нови резултати, които постепенно обрисуваха картината.

Колко емоции предизвика само дискусията на теоретиците природата на J/Ψ -частичите! Известният Шели Глешоу, сега лауреат на Нобелова награда, а тогава един от малкото физици, които твърдо вярваха в съществуването на новия тип кварки с чар, в спор със своите опоненти публично заяви, че ако J/Ψ не е свързано състояние на тежки кварки и антикварки с различен от ну-

ла чар, той пред всички бавно ще изяде шапката си. Всички работаха с небивал ентузиазъм — и експериментатори, и теоретици. Въодушевлението от неочекваните нови открития беше характерен белег за втората половина на седемдесетте години. Резултатите от тази огромна и вдъхновена работа са и предмет на нашия по-нататъшен разказ.

ШИРОКИ РЕЗОНАНСИ С МАСИ, ПО-ГОЛЕМИ ОТ ψ'

Внимателното изучаване на поведението на пълното сечение на превръщането на e^+e^- в адрони доведе до откриването на редица нови резонанси между 3,7 и 4,5 GeV. Един от последните резонанси беше намерен през 1977 г. Масата му 3772 MeV лежеше много близко до масата на Ψ' и поради това неговата структура можа да бъде видяна само след като беше отстранен фонът от радиационните „опашки“ на J/Ψ и Ψ' (фиг. 26).

Широки резонанси структури бяха намерени и в околностите на 4,03, 4,16 и 4,415 GeV. Парметрите на исички открити максимуми в сечението $e^+e^- \rightarrow$ адрони в областа от 3 до 4,5 GeV са подредени в таблица 3.

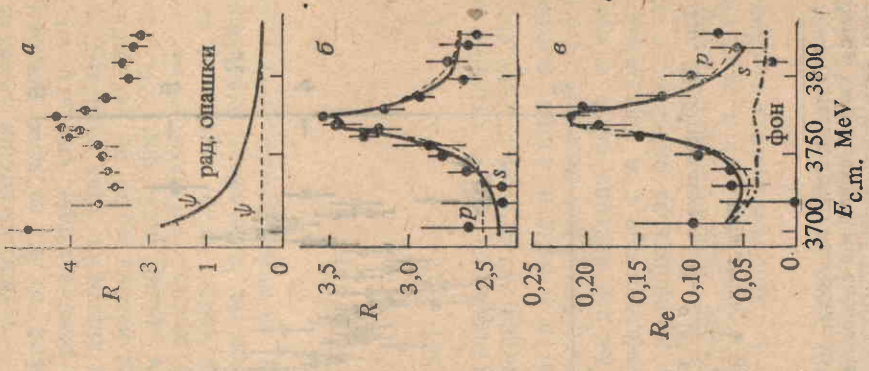
На фиг. 27 е показан ходът на сечението $\sigma_{\text{tot}}(e^+e^- \rightarrow$ адрони) така, както е видян от един от най-съвършенните съвременни детектори „Кристалната топка“, известен с особено точното си регистриране на γ -енергии на γ -квантите.

На фиг. 26, Отношението $R = \frac{\sigma(e^+e^- \rightarrow \text{всичко})}{\sigma(e^+e^- \rightarrow \mu^+\mu^-)}$, близо до резонанса Ψ (3772; а) R , след отстраняване на фон на J/Ψ и Ψ' , радиационните опашки на J/Ψ и Ψ' , в) $R_e = \frac{\sigma(e^+e^- \rightarrow eX)}{\sigma(e^+e^- \rightarrow \mu^+\mu^-)}$.

и състояние на новите частици научаваха за нови и нови резултати, които постепенно обрисуваха картината. 30

Природата на J/Ψ -частичите! Известният Шели Глешоу, сега лауреат на Нобелова награда, а тогава един от малкото физици, които твърдо вярваха в съществуването на новия тип кварки с чар, в спор със своите опоненти публично заяви, че ако J/Ψ не е свързано състояние на тежки кварки и антикварки с различен от ну-

ла чар, той пред всички бавно ще изяде шапката си. Всички работаха с небивал ентузиазъм — и експериментатори, и теоретици. Въодушевлението от неочекваните нови открития беше характерен белег за втората половина на седемдесетте години. Резултатите от тази огромна и вдъхновена работа са и предмет на нашия по-нататъшен разказ.



На фиг. 27 е показан ходът на сечението $\sigma_{\text{tot}}(e^+e^- \rightarrow$ адрони) така, както е видян от един от най-съвършенните съвременни детектори „Кристалната топка“, известен с особено точното си регистриране на γ -енергии на γ -квантите.

Таблица 3

КВАРКОНИУМ И ЧАРМОНИУМ

По аналогия със свързаното състояние на електрона и позитрона — позитрония, свързаното състояние на един кварк и един антикварк ще наричаме кваркониум, а на кварк и антикварк с шармониум.

Какви са следствията от хипотезата, че тесните резонанси J/Ψ и Ψ' са свързани състояния на си-с кварки?

Първият извод ние вече направихме, когато търсехме възможното обяснение за малката ширина на J/Ψ . Ако това е така, J/Ψ , както и Ψ' трябва да имат маса, по-малка от удвоената маса на най-лекия предполагаем мезон с чар — псевдоскалярния D -мезон. Фактът, че всички състояния, по-тежки от Ψ' , са вече широки, говори, че те са краткоживеещи и се разпадат при силните взаимодействия. На езика на кварковите диаграми това означава, че разпадането им на два псевдоскаларни мезона може да се опише с помошта на непрекъснати кваркови линии (виж фиг. 24). Напрвленото наблюдение е изключително важно, тъй като то ни дава възможност да предскажем, използвайки само закона за запазване на енергията, много точно масата на D -мезоните. Напистина удвоената маса на D -мезоните трябва да лежи между масата на шарм — Ψ и Ψ'' .

$$\Psi(3686) < 2 m_D \leq \Psi'(3768) \quad (4)$$

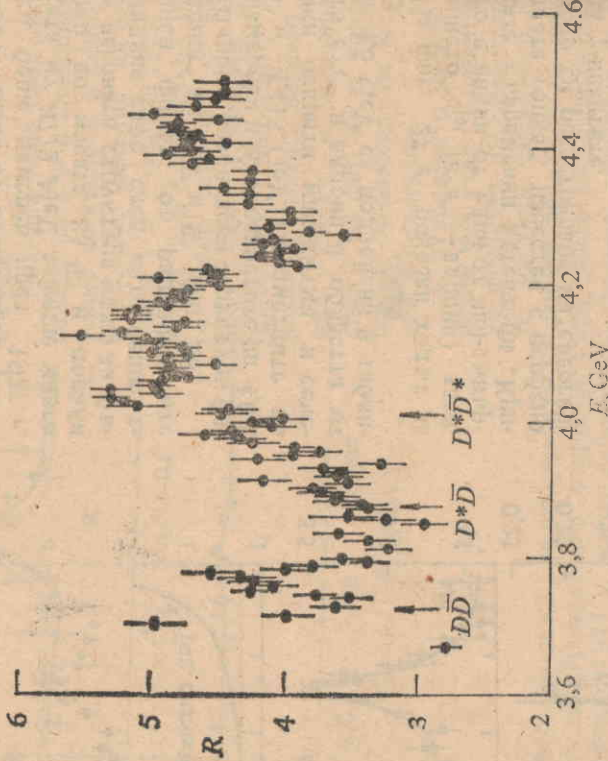
и следователно

$$1843 \text{ MeV} < m_D < 1884 \text{ MeV}. \quad (4)$$

Експериментално е установено, че спинът на J/Ψ е единица, четността е -1 . Оттук веднага следва, че за този случай спиночетното на съставящите си с-кварки са с една и съща посока $|S| = 1/2 + 1/2 = 1$ и относителният орбитален момент* $L = 0$ ($P = (-1)^{L+1}$). Свързаните състояния на две частици имат и още една степен на свобода, която се характеризира с т. нар. радиално квантово число. В по-нататъшната ни работа за описание на различните състояния на $q\bar{q}$ -системата ще използваме стандартните спектроскопични означения $(n_r + 1)^{2s+1} L_J$, където n_r е стойността на радиалното квантово число, $s = |S|$ — големината на спина

* Строго казано, с отрицателна четност може да бъде и състояние с $J=2, 4, \dots$, но тъй като няма тесни резонанси с маса, по-малка от J/Ψ , естествено е да приемем, че то отговаря на основното състояние с $J=0$.

Резонанс	Маса, MeV	Гадрони, MeV	$\Gamma_{e^+ e^-}$, MeV
J/Ψ	$3096,93 \pm 0,09^*$	$0,063 \pm 0,009$	$4,8 \pm 0,6$
Ψ'	$3683,00 \pm 0,15^*$	$0,215 \pm 0,040$	$0,19 \pm 0,2$
Ψ''	3768 ± 5	26 ± 5	$0,27 \pm 0,06$
$\Psi(4,030)$	4030 ± 5	52 ± 10	$0,76 \pm 0,10$
$\Psi(4,160)$	4159 ± 20	48 ± 20	$0,78 \pm 0,31$
$\Psi(4,415)$	4415 ± 6	43 ± 20	$0,43 \pm 0,13$



Фиг. 27. Отношението $R = \frac{\sigma(e^+ e^- \rightarrow \text{адрон})}{\sigma(e^+ e^- \rightarrow \mu^+ \mu^-)}$, измерено в детектора „Кристална топка“ в интервала от 3,6 до 4,6 GeV.

* Особено точно измерване на масите на J/Ψ и Ψ' е направено в Новосибирск, като е използван специален метод за калибриране на енергията на $e^+ e^-$ -сноповете в ускорителя ВЭП-4.

на $q\bar{q}$ -състоянието, $L = |\mathbf{L}|$ е големината на орбиталния момент на импулса, а $J = |J| = |\mathbf{L} + \mathbf{S}|$. Състоянието с $L=0$ се бележи с буквата S , с P – състоянието с $L=1$, с $D - L=2$, с $F - L=3$ и т. н. Вече предположихме, че J/Ψ е основното състояние с най-малка маса на cc -системата, следователно за него радиалното квантово число $n_r = 0$ и в новите означения $J/\Psi = (0+1)^{2+1} S_1 = 1^3 S_1$. Тъй като Ψ' има същите квантови числа като J/Ψ , естествено е да го интерпретираме като първото радиално възбудено състояние – $n_r = 1$, $\Psi' = 2^3 S_1$.

Какви са силите, с които си взаимодействуват c -кварка и \bar{c} -антиварка? Преди всичко налице е кулоново взаимодействие между тях, дължащо се на електричния им заряд ($Q_c = +2/3$, $Q_{\bar{c}} = -2/3$, ако за единица електричен заряд приемем заряда на електрона). Енергетичният спектър на такава система е същият както при водородния атом и се определя от известната формула

$$E = -\frac{A}{n^2}, \quad n = n_r + L + 1,$$

$A = \text{const.}$

Взаимното разположение на отделните нива е представено на фиг. 28. Нека отбележим, че нивата $2s$ ($n_r = 1, L = 0$) и $1P$ ($n_r = 0, L = 1$) имат една и съща енергия (физиците често използват за такива случаи термина „изродени нива“). Нивата $3S$, $2P$ и $1D$ са също изродени. За нас ще бъде важно, че нивото $1D$ лежи по-високо от $2S$.

Кварките освен електромагнитно си взаимодействуват и със силни. Кои са харacterните особености на силното взаимодействие, които трябва да отчетем? Свободни кварки досега не са открити. Тогава лесно може да се съобрази, че ако те съществуват вътре в адроните, силите между тях трябва да нарастват с разстоянието. В противен случай, бомбардирани например протони, бихме могли при никаквака крайна енергия E да разкъсаме връзката между q и \bar{q} да получим свободен кварк. Регистрирането на сво-

боден кварк q означава, че той се намира на огромно разстояние от кварк \bar{q} , с който е бил свързан. Ако силата на взаимодействие между кварките расте с разстоянието, енергията, необходима, за да се раздалечат двата кварка на голямо разстояние, клони към безкрайност. По този начин, предполагайки, че силите между кварките нарастват с разстоянието, можем да обясним защо те не са наблюдавани в свободно състояние. За пристина ще считаме, че междукварковите сили, отговорни за тяхното съично взаимодействие, са хармонични — т. е. пропорционални са на разстоянието между тях.

На това място внимателният читател би разсъждавал така. Хармоничните сили са огromни, когато разстоянието между кварка и антикварка е голямо, и с тяхна помощ добре може да бъде обяснено липсата на свободни кварки. Когато обаче разстоянието между кварките е много малко, хармоничните сили са ниски, а кулоновите стават много големи. Оттъльде знаем, че на малки разстояния взаимодействието, което удържа кварките в адроните, фактически може да се преебрежне! Без да влизаме в подробности, ще кажем, че това е наистина така и само по този начин могат да бъдат обяснени резултатите от опитите по т. нар. дълбоко нееластично разсейване на лептони (ν, e, μ) от адрони (p, n). Като приемем този факт, спокойно можем да продължим нататък! Енергетичните нива на система от две частици, които си взаимодействуват с хармонични сили, се определят от формулата

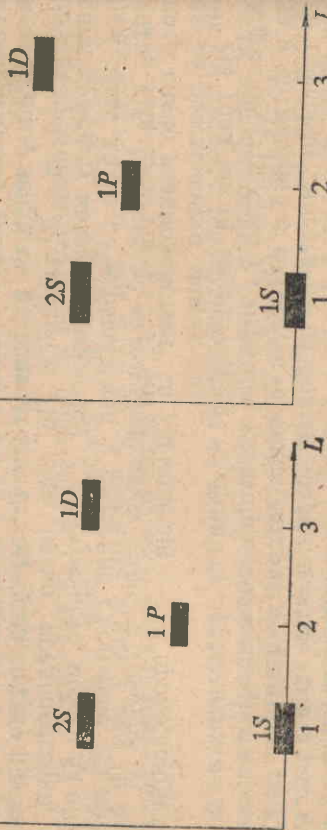
$$E = \left(2n_r + L + \frac{3}{2} \right) B, \quad B = \text{const.}$$

Взаимното им разположение е показано на фиг. 29. В този случаен нивата $1P$ ($n_r = 0, L = 1$) лежат точно по средата между нивата $1S$ ($n_r = 0, L = 0$) и $2S$ ($n_r = 1, L = 0$), а нивата $2S$ и $1D$ са изродени (т. е. съвпадат). Между кварките действува резултантна сила, равна на сумата от кулоновата и хармоничната. В този случаен трябва да очакваме, че вследствие на смесването на двете сили нивото $1P$, което в кулоновия случаен стъпада с $2S$, ще заеме място между $2S$ и половината от разстоянието между $1S$ и $2S$, а нивото $1D$ ще лежи малко по-високо от $2S$. Качествената картина на разположението на нивата за $q\bar{q}$ -системата ще бъде, както е пока-

зано на фиг. 30.

В направленото досега разглеждане ние не отчетохме наличното на спинове у кварките, което води до специфично т. нар. спин-спийн

$$E = (2n_r + L + \frac{3}{2})\hbar$$



Фиг. 29. Енергетични нива на система от две частици, взаимодействуващи с хармонични сили

НОВО ВЗАИМОДЕЙСТВИЕ, различно за случаите, когато кваркът и антикваркът имат еднопосочни или противоположни насочени спинове. Спиновите разгледани нива на две — едно отговорящо на всички спинове $S = S_q + S_{\bar{q}} = 1$ и друго на противоположни спинове $S = S_q - S_{\bar{q}} = 0$. По-подробният количествен анализ показва, че нивата с $S=0$ (псевдоскалярните нива) имат малко по-малка маса от тези с $S=1$ (векторните). Сързаните състояния на $q\bar{q}$ -двойката с $S=1$ се наричат ортокваркониум (за cc -орточармониум), а с $S=0$ — паракваркониум (за $c\bar{s}$ -паракармониум). Спектроскопичните им означения са съответно $(n_r + 1)^3 L_J$ и $(n_r + 1)^1 L_J$.

Тъй като пълният спин на J/Ψ и Ψ' е единица и ние предполагаме, че J/Ψ е състояние с $L=0$, то е необходимо да идентифицираме J/Ψ с основното състояние на орточармониума $1^3 S_1$, а Ψ' с първото радиално възбудено състояние $2^3 S_1$. Моделът на чармониума предказва и наличието на три близки състояния на паракармониума — $1^1 S_0$, което се означава още и с η_c и лежи малко по-ниско от $1^3 S_1 \equiv J/\Psi$, $2^1 S_0 \equiv \Psi'$, $1^3 P_1$ под $1^3 P_2$.

На края нека отбележим, че в нивото на орточармониума $1^3 P_2$ както спинът, така и относителният орбитален момент имат

стойност, различна от нула — и двете величини са равни на единица. В този случай съвършено аналогично на спин-спиновото взаимодействие се появява спин-орбитално взаимодействие, чиято интензивност е функция на взаимното разположение на спина на системата и нейния орбитален момент. Тези две величини съгласно законите на квантовата механика могат да се срещнат в следните три комбинации:

1) орбиталният момент има една и съща посока със спина. В този случай пълният спин J ще бъде 2 и състоянието $1^3 P$ се означава като $1^3 P_2$;

2) орбиталният момент е перпендикулярен на спина. В този случай J има стойност 1 и състоянието е $1^3 P_1$;

3) орбиталният момент е насочен противоположно на спина. В този случай J има стойност 0 и състоянието е $1^3 P_0$.

Отчитайки казаното, може да бъде предсказана следната схема на енергетичните нива на системата от два свързани с и с-кварка (фиг. 31).

Не всичките нива могат да бъдат получени пряко като макаримуми в сечението $\sigma_{tot}(e^+e^- \rightarrow \text{адрони})$. За да си изясним кои от тях могат да бъдат получени така, да си представим по-подробно как в анихиляцията на електрона и позитрона може да се родят кварк и антикварк, от които са съставени интересуващите ни частици. Електронът и позитронът анихилират във виртуален фотон, а след това виртуалният фотон ражда двойка кварк-антикварк. Схематично процесът е представен на фиг. 32. Във върха $\gamma q\bar{q}$ трябва да са изпълнени всички закони за запазване и следователно двойката $q\bar{q}$ или все едно всеки наблюдаван резонанс в реакцията $e^+e^- \rightarrow \text{адрони}$ трябва да има квантовите числа на фотона $J=1$ и четност -1 . Това са само основното състояние $1^3 S_1$, на орточармониума и неговите радиални възбуджания, $(n_r + 1)^3 S_1$, а от другите състояния, лежащи по-ниско — състоянието $1^3 D_1$ ($L=2$, $S=1$, $J=1$, $P=(-1)^{L+1} = (-1)^{2+1} = -1$). Състоянието на паракармониума $(n_r + 1)^1 S_0$, $1^1 P_1$ и на орточармониума $1^3 P_J$ нямат квантовите числа на фотона и следователно не могат да бъдат пряко наблюдавани като максимуми в сечението $\sigma_{tot}(e^+e^- \rightarrow \text{адрони})$. Тяхното съществуване може да бъде доказано, ако се регистрират монохроматични γ -квенти (т. е. γ -квенти с точно определена енергия) от радиационите им разпадания, напр.

$$\Psi'(2^3 S_1) \rightarrow \gamma + 1^3 P_J, \quad 1^3 R_J \rightarrow \gamma + J/\Psi(1^3 S_1), \quad \Psi'(2^3 S_1) \rightarrow 1^1 S_0 + \gamma,$$

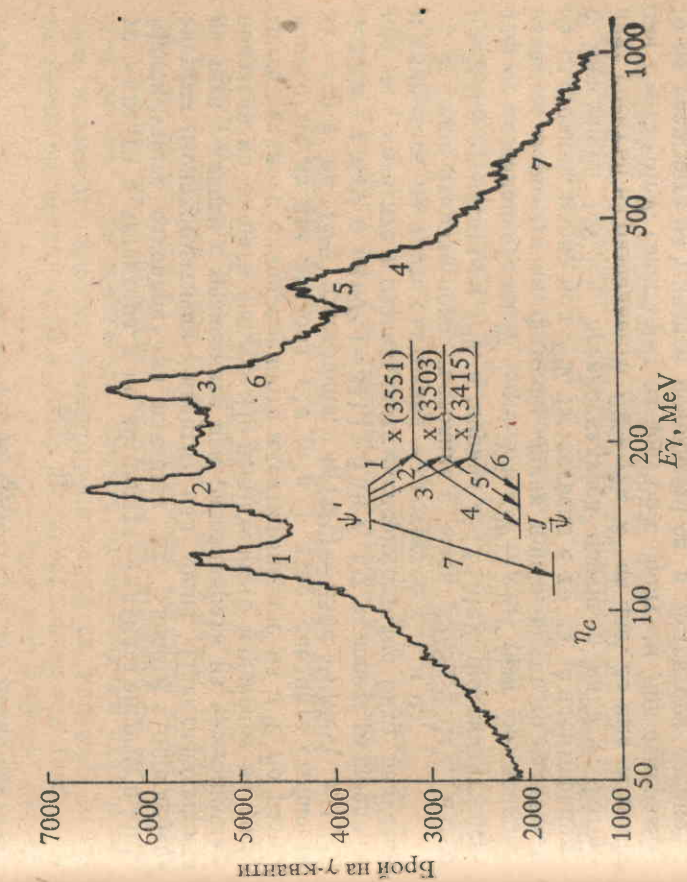
$$J/\Psi(1^3 S_1) \rightarrow \gamma + 1^3 P_J, \quad 1^3 R_J \rightarrow \gamma + J/\Psi(1^3 S_1), \quad \Psi'(2^3 S_1) \rightarrow 1^1 S_0 \text{ и т. н.}$$

куист. Трябващ обаче да минат почти 6 години, за да бъдат напълно потвърдени техните изводи. Едва след пускането в действие на специално проектирания и построен за тази цел детектор „Кристалната топка“ отново в Стенфорд, беше даден ясен и категоричен отговор на голямата част от въпросите, свързани с наблюдаването на състоянието на чармониума. Трябва да кажем обаче, че част от резултатите на „Кристалната топка“ потвърдиха някои по-стари изводи, получени от други групи, но с много по-голяма точност и, което е по-важно, убедително показваха, че всички данни, които не можеха да бъдат обяснени просто с модела на чармониума, са били погрешни.

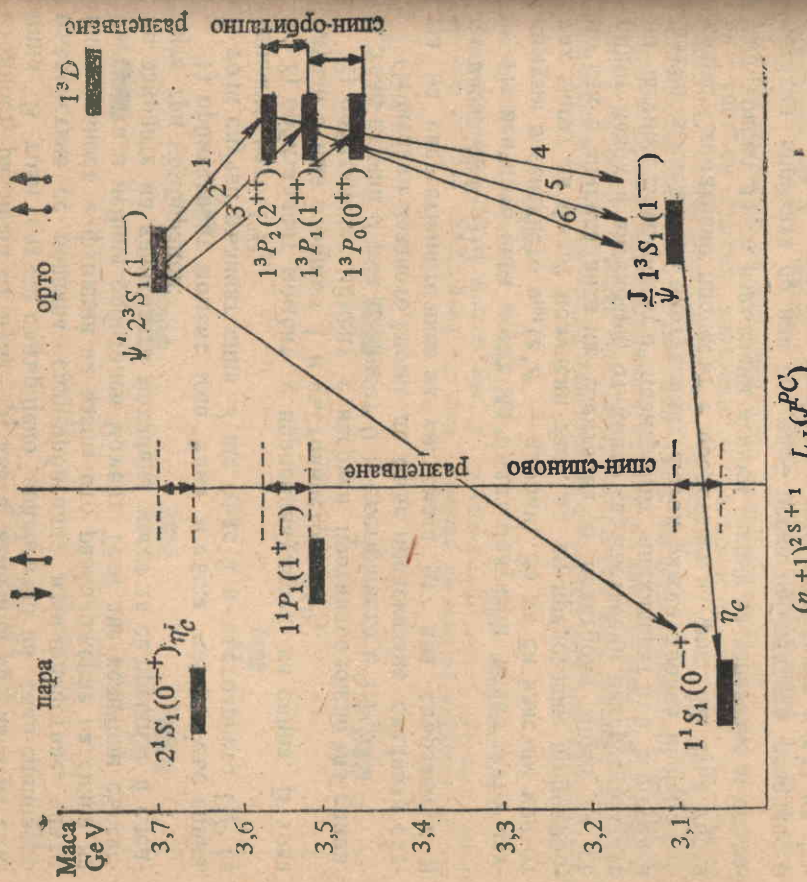
Резултатите могат да бъдат резомирани така:

1. Бяха наблюдавани радиационните разпадания $\Psi' \rightarrow \gamma + 1^3P_J$ и $\gamma\gamma J/\Psi$ с много по-голяма точност от тази при по-старите експерименти. Енергетичният спектър при разпаданията на Ψ' е изображен на фиг. 33. По ординатата е нанесен броят на регистрирани

Фиг. 33

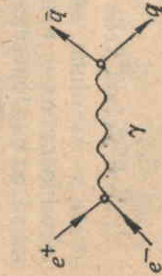


93



Фиг. 31. Спектърът от състояния на „чармониума“

Фиг. 32



Без съмнение откриването на монохроматични γ -кванти в разпадането на Ψ' и Ψ , трябващо да бъде критично за потвърждаването на ψ -модела на Ψ и Ψ' частите

Всички тези съображения биха изказани само няколко дена след откриването на J/Ψ и Ψ' от Глешоу, Дечухула и Апел.

92

$J/\Psi \rightarrow \gamma\eta\pi^+\pi^-$ можем да разгледаме като каскад $J/\Psi \rightarrow \gamma X \rightarrow \gamma\pi^+\pi^-$. Ако образуванието X е резонансът η_c , ще има максимум в енергията на γ -квантите при $E_\gamma = m(J/\Psi) - m(\eta_c)$. Такъв максимум се наблюдава на фиг. 35. Тогава масата на η_c е $m(\eta_c) = m(J/\Psi) - E_\gamma = 3097 - 120 = 2977$ MeV и е в съгласие с получената стойност от фотогенния спектър на

Фиг. 34.

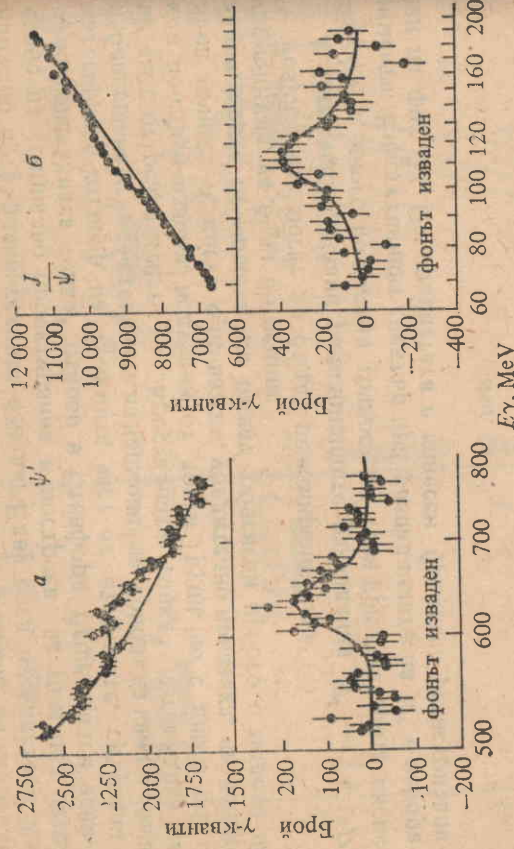
поширокият резонанс Ψ' (3768) белие идентифициран със състоянието 1^3D_1 , а $\Psi(4030)$ с второто радиално възбуждане 3^3S_1 .

В резултат на шестгодишни упорити изследвания, по време на които трябаше да бъдат преодолявани редица трудности, като често пъти възновението биваше последвано от отчаяние, благодарение на работите на колективи, съставени от по няколко десетки учени, простата представа за J/Ψ като неутрална частица, съставена от тежки кварк и антикварк, беше напълно потърдената от всички предсказани нисколежачи състояния на J/Ψ . Спектърът от изящна красота на чармониума блесна с пълната си красота.

ГЛЕШОУ СПЕЧЕЛИ БАСА И НЕ СИ ИЗЯДЕ ШАПКАТА

За да можем да кажем окончателно, че J/Ψ е свързано съсстояние на кварк с нов аромат "чар", равен на единица, и антикварк с чар -1 , необходимо беше още, както вече обясниме, да бъдат намерени и мезони с чар, различен от нула. По-леките от тях, D -мезоните, трябваше да имат маса m_D в тесния интервал между 1843 и 1884 MeV, което е абсолютно необходимо, за да можем въз основа на правилото за непрекъснатите кваркови линии и предположението, че J/Ψ и Ψ' са чисти cc -състояния, да обясним защо първите две частици имат ивици ширини и вследствие на което се разпадат неохотно на адрони, а Ψ' има голяма ширина.

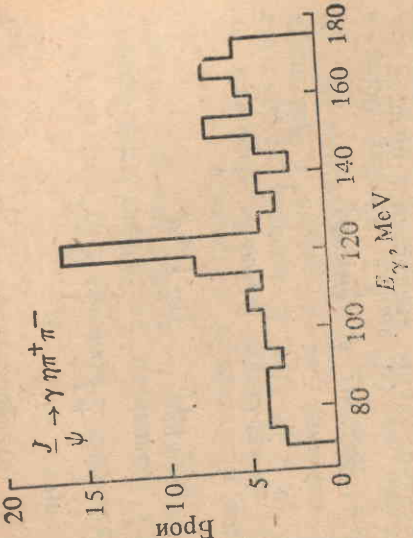
Да напомним, че съществуването на четвърти кварк с аромат



Фиг. 34

те γ -квантни в детектора, а по абсцисата — тяхната енергия в MeV. Максимумите отговарят на излишък от γ -квантни с определена енергия (монохроматични γ -квантни) над фона. Идентификацията на тези γ -квантни с очакваните при разпаданията на чармониума е показана на същата фигура. По- внимателното изучаване на спектрите заедно с единовременното идентифициране на J/Ψ по разпадането му на два лептона $e^+e^-(\mu^+\mu^-)$ даде следните стойности за масите на 1^3P_J състояния: $m(1^3P_1) = 3554 \pm 4$ MeV, $m(1^3P_2) = 3508 \pm 4$ MeV и $m(1^3P_0) = 3413 \pm 5$ MeV. От тъгловите разпределения на γ -квантите в разпаданията експериментално бяха получени и спиновете на трите състояния — съответно 2, 1 и 0.

2. Беше открито ново състояние с маса 2978 ± 9 MeV, малко по-малка от масата на J/Ψ , и ширрина $\Gamma \geq 20$ MeV. Фотонният спектър от разпаданията на $\Psi' \rightarrow \gamma + X$ и $J/\Psi \rightarrow \gamma + X$ (фиг. 34) ясно показва монохроматични фотонни линии, които водят до наличието на състояния, малко под J/Ψ . Естествено е то да се идентифици с липсващия $1^1S_0 \equiv \eta_c$ псевдоскалярен партньор на J/Ψ . Фотонният спектър на разпадането $J/\Psi \rightarrow \gamma\pi^-\pi^+$ на фиг. 35 има ясен пик при $E = 120$ MeV. Спектърът на фиг. 35 е получен при измерването на енергията на γ -квантни, появяващи се в детектора заедно с η^+ и π^- -мезони. Очевидно е, че изследваната реакция



Фиг. 35

— $J/\Psi \rightarrow \gamma\eta\pi^+\pi^-$ можем да разгледаме като каскад $J/\Psi \rightarrow \gamma X \rightarrow \gamma\pi^+\pi^-$. Ако образуванието X е резонансът η_c , ще има максимум в енергията на γ -квантите при $E_\gamma = m(J/\Psi) - m(\eta_c)$. Такъв максимум се наблюдава на фиг. 35. Тогава масата на η_c е $m(\eta_c) = m(J/\Psi) - E_\gamma = 3097 - 120 = 2977$ MeV и е в съгласие с получената стойност от фотогенния спектър на

фиг. 34.

Поширокият резонанс Ψ' (3768) белие идентифициран със състоянието 1^3D_1 , а $\Psi(4030)$ с второто радиално възбуждане 3^3S_1 .

В резултат на шестгодишни упорити изследвания, по време на които трябаше да бъдат преодолявани редица трудности, като често пъти възновението биваше последвано от отчаяние, благодарение на работите на колективи, съставени от по няколко десетки учени, простата представа за J/Ψ като неутрална частица, съставена от тежки кварк и антикварк, беше напълно потърдената. Спектърът от всички предсказани нисколежачи състояния на J/Ψ блесна с пълната си красота.

Да напомним, че съществуването на четвърти кварк с аромат

"чар" води още до предсказването на следните мезони с' открил чар:

$$\begin{aligned}
 J' = 0^- & \uparrow\downarrow & D+ = c\tilde{d} & D^0 = \tilde{c}d & F+ = \tilde{c}\tilde{s} \\
 C = -1 & & D^{*+} = \tilde{c}\tilde{d} & \tilde{D}^{*0} = \tilde{c}\tilde{u} & F^{*+} = \tilde{c}s \\
 J^0 = 0^- & \uparrow\downarrow & D = d\tilde{c} & \tilde{D}^0 = u\tilde{c} & F^- = \tilde{c}\tilde{c} \\
 C = -1 & & D^{*-} = \tilde{d}\tilde{c} & \tilde{D}^{*0} = \tilde{u}\tilde{c} & F^{*-} = \tilde{s}\tilde{c}
 \end{aligned}$$

Съгласно с кварковия модел (поради спин-спиновото взаимодействие) псевдоскалярните мезони с $J^P = 0^-$ трябва да са по-леки от векторните с $J^P = 1^-$. Тогава, тъй като те имат чар, различен от нула, а чарът се запазва от електромагнитните и силните взаимодействия, те могат да се разпадат само с помощта на слабите взаимодействия, при които ароматът, в случая чар Γ , не се запазва. Векторните мезони D^* и F^* са по-тежки от псевдоскалярните и ще се разпадат предименно електромагнитно и запазване на чара по следните схеми

$$\begin{aligned}
 D^* & \rightarrow D + \gamma \\
 D^* & \rightarrow D + \pi
 \end{aligned}$$

Качественият анализ на слабите разпадания на D и F -мезоните, основан на хипотезата, че те имат в състава си един кварк с чар, показва, че съгнаване на обрастване на двойка D -мезони ще стигне прага за разпадане на D -мезони, за да скочи в сечението на обрастване на K -мезони. Аналогично скочи в сечението на образуване на η' -мезони, че бъде първият разпадане на F -мезони.

Увеличение в сечението на образуване на K -мезони, беше наблюдавано както в Замбург, така и в Стенфорд. Регистратите, получени от двете групи, са илюстрирани на фиг. 36.

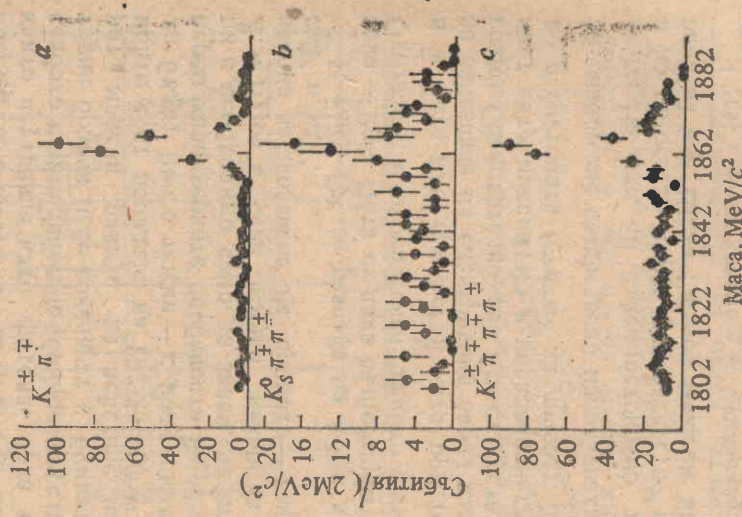
тата са нанесени отношенията $R_K^\pm = \frac{\sigma(e^+e^- \rightarrow K^\pm X)}{\sigma(e^+e^- \rightarrow \mu^+\mu^-)}$ и R_{K^0} = $\frac{\sigma(e^+e^- \rightarrow K^0 X)}{\sigma(e^+e^- \rightarrow \mu^+\mu^-)}$. Тяхното изменение в зависимост от енергията качествено показва съгласие с очакваното увеличение след преминаване на вероятния праг на раздане на двойки мезони с открил чар $\rightarrow 4\text{GeV}$.

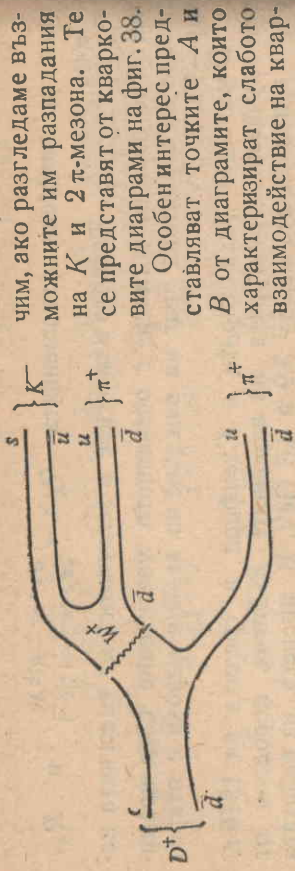
D -мезоните бяха открити в Стенфорд в средата на 1976 г. при изучаване структурата на адронните събития, породени от e^+e^- -аннихилиация между 3.9 и 4.6 GeV. В процеса на работата се оказа, че най-добрият източник на D -мезони е частицата Ψ' (3771), която е истинска фабрика за производството им, тъй като се разпада изключително на $D\bar{D}$ -двойка. Удобен беше и фактът, че D -мезоните се разделят почти в локой, кое-то дава възможност за точното определяне на масата им.

Анализът на събитията с $K^\pm\pi^\mp$ в крайното състояние доведе до откриване на максимум в инвариантната маса на K -системата с енергия 1864 MeV. Данните на Стенфордската група са представени на фиг. 37. Съвършено естествено беше да се интерпретира новият резонанс като D_0 или \tilde{D}_0 , тъй като той имаше massa точно в предсказания интервал и се разпадаше по нужния начин.

Все пак хипотезата за съществуване на нов четвърти тип кварки с чар беше потвърдена едва с откриването на D^+ -мезоните. С какво бяха толкова важни и интересни заредените D -мезони? Отговор на този въпрос можем да полу-

Фиг. 37





Фиг. 38.

чим, ако разгледаме възможните им разпадания на K и 2π -мезона. Те се представят от кварковите диаграмми на фиг. 38. Особен интерес представляват точките A и B от диаграмите, които характеризират слабото взаимодействие на кварковите. Ние не разглеждаме слабите взаимодействия и осветихи съществени и някои техни аспекти. Ще добавим само, че съгласно със съвременните схвашания те по аналогия с електромагнитните се съществуват посредством обмен на частици със спин 1, които могат да бъдат както неутрални като фотона, така и заредени. Носятелите на слабото взаимодействие обикновено се наричат промеждущни векторни бозони и се означават с буквите Z^0 и W^\pm . За да осигурият малкия радиус на действие на слабото взаимодействие, който е от порядъка на $10^{-16} - 10^{-17}$ см, е необходимо Z^0 и W^\pm да бъдат много тежки — с маси около $80 - 100$ GeV \cdot c. За да разберем характерните особености на разпаданията на D^\pm -мезоните, ни е необходимо само да знаем, че върху qqW (върховете A и B) са в сила всички закони за запазване с изключение на закона за запазване на аромата — имаме върхове само от типа csW и udW .

И така, D^\pm се разпада на K^\mp и два еднакво заредени π -мезона — $2\pi^\pm$. Пита се дали съществуват и разпадания $D^\pm \rightarrow K^\pm \pi^\pm \pi^\mp$. Отговорът е отрицателен, защото с-кваркът не може да премине в s , нито пък \bar{c} в s , тъй като при това ще се наруши законът за запазване на електрически заряд във върха A и в двете диаграмми. Следователно, ако D^\pm съществува, то те трябва да се появят като максимуми в инвариантната маса на системата $K^\pm \pi^\pm \pi^\mp$, но в системата $K^\pm \pi^\pm \pi^\mp$ да липсват. Задележете, че правейки този извод, ни е съществено използвахме факта, че $D^+ = \tilde{c}\bar{d}$ и $D^- = \tilde{d}\bar{c}$.¹

На фиг. 39 е демонстрирано това изключително красиво и по същество първо доказателство на хипотезата за съществуване на чар. Шели Глешоу можеше вече да тържествува.

Векторните партньори на D -мезоните бяха открити отново в Стенфорд при изследване на частиците, които съпровождат D^0 и D^\pm . Тъй като шармът се запазва при електромагнитните и силните взаимодействия и D и D^* -мезоните имат еднакъв кварков състав, най-вероятните реакции от този тип при $e^+ e^-$ -аннигиляция ще бъдат

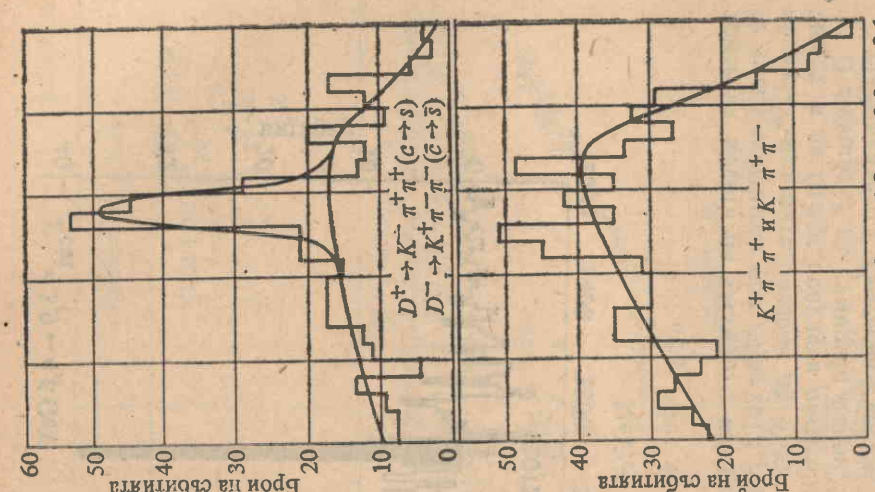
$$e^+ e^- \rightarrow D\bar{D} \rightarrow D\bar{D}^* + D^*\bar{D} \rightarrow D^*\bar{D}^*.$$

Следователно един от възможните методи за ефективно търсене на D^* -мезони е анализът на частите, придружаващи раждането на D -мезони. Наистина, нека знаем импулса \mathbf{p}_D и масата M_D на D -мезона и да приемем, че механизъмът на образуването му в $e^+ e^-$ -анихиляцията е съгласно нашата схема. Масата на придружаващата частичка съгласно общата формула на Айндайн за връзката между енергията и импулса (в измерителна система, в която c е пристегнат за 1) ще бъде

$$M_R^2 = E_R^2 - \mathbf{p}_R^2.$$

В системата на центъра на масите $\mathbf{p}_D = -\mathbf{p}_R$ а $E_R = E_{e^+ e^-} - \sqrt{\mathbf{p}_D^2 + M_D^2}$, където $E_{e^+ e^-}$ е пълната енергия на $e^+ e^-$. Следователно, като мерим импулсите на D -мезоните, можем да получим инвариантната маса на частиците, които ги придвижват. Сред тях трябва да е и масата на D^* . На фиг. 40 са показани спек-

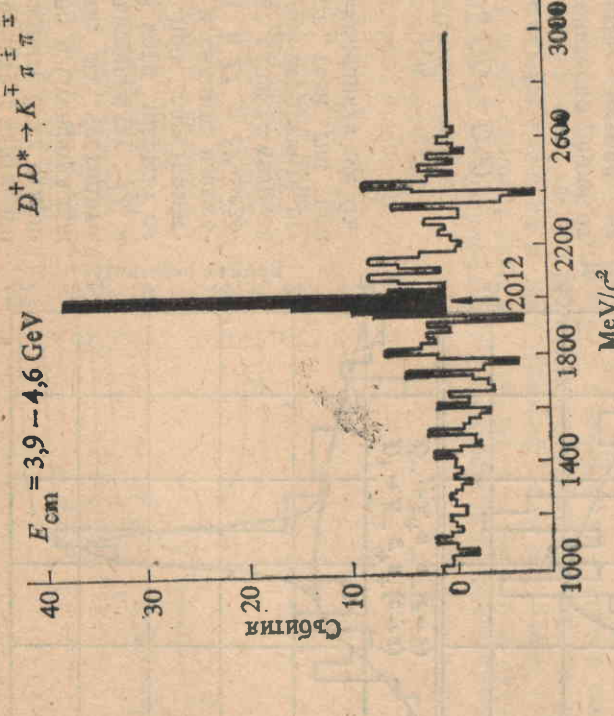
търсещи криви за разпадането D^+ и D^- на $K^\mp \pi^+ \pi^+$ и $K^\pm \pi^- \pi^-$ (фиг. 39). На фиг. 40 са показани спек-



Фиг. 39

¹ Това е просто следствие на съотношението за неопределеност.

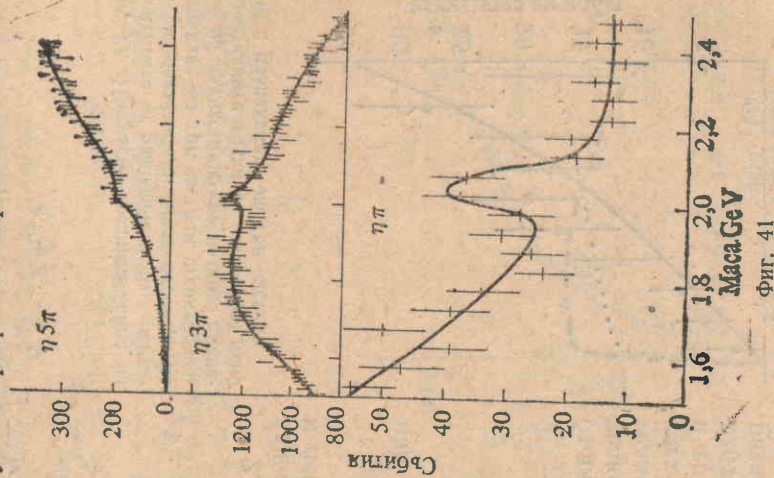
Таблица 4



	Маса, MeV	Времето на живот, s
D^0	1863.1 ± 0.9	$(1.01 + 0.43) \cdot 10^{-13}$
D^\pm	1868.3 ± 0.9	$(-0.27) \cdot 10^{-13}$
D^{*0}	2006.0 ± 1.5	$(10.3 + 10.5) \cdot 10^{-13}$
$D^{*\pm}$	2008.6 ± 1.0	$(-4.1) \cdot 10^{-13}$

$\gamma + p \rightarrow \eta\pi + X$
 $\rightarrow \eta 3\pi + X$
 $\rightarrow \eta 5\pi + X.$

1. В опит за изследване на фотообразуването Ω -спектрометърът на Европейската организация за ядрени изследвания в Женева, Швейцария, показва максимуми в три различни реакции



Данните за тези реакции са показани на фиг. 41. Максимумите могат да бъдат интерпретирани като разпадания на $F \rightarrow \eta\pi$, $F \rightarrow \eta 3\pi$, $F \rightarrow \eta 5\pi$. Средната маса за F в този случай е $m_F = (2.020 \pm 0.010)$ GeV.

2. В два различни емulsionни експеримента са видени три събития, вероятно получени при разпадането на F -мезона:

- $\pi^+\pi^-\pi^0 (2026 \pm 56)$ MeV
- $K^+\pi^-\bar{K}^0 (2089 \pm 121)$ MeV
- $\pi^+\pi^-\pi^0 (2017 \pm 25)$ MeV.

При емulsionните експерименти може да бъде оценено и времето на живот на F -мезон

и чара не са нула. Първото съобщение за откриването му дойде от Хамбург, където бяха наблюдавани седем случаи на положението с F -мезона съвсем не е така ясно. F -мезонът концентрира структура $c\bar{s}$ и следователно за него и странността му и чара не са нула. Първото съобщение за откриването му дойде от Хамбург, където бяха наблюдавани седем случаи на предполагаемо разпадане

$$F^\pm \rightarrow \pi^\pm + \eta,$$

концентрирани около маса 2030 ± 60 MeV. Изучаването на енергетичния спектър на същите продукти π^\pm и η при по-ниски енергии от предполагаемия прах за образуване на двойки $F\bar{F}$ не показва наличието на максимум.

Данните от Хамбург бяха потвърдени в три независими експеримента:

$$\tau_F = \left(\frac{2,0 + 1,8}{-0,8} \right) \times 10^{-13} \text{ s}$$

От друга страна обаче, „Кристалната топка“ в Стенфорд не вижда следи от F -мезона и има очевидно несъгласие между нейните данни и тези от Хамбург. Следователно за откриването на F -мезона все още няма данни, но е ясно, че те ще бъдат получени в най-скоро време.

НЕ САМО НИКВАРКИ, НО И НОВ ЛЕПТОН!

През 1975 г. в Стенфорд беше наблюдавано аномално често разаждане на $\mu^{\pm} e^{\mp}$ двойки в e^+e^- -анхилацията

$e^+e^- \rightarrow e^{\pm} + \mu^{\pm} +$ повече от две нерегистрирани частици.

1. Образуване на двойки тежки лептона τ^{\pm} и разпадането им

$$\begin{aligned} \tau^+ &\rightarrow \nu_{\tau} + \mu^- + \gamma_{\mu} \\ \tau^- &\rightarrow \tilde{\nu}_{\tau} + e^+ + \nu_e \quad \text{или} \end{aligned} \quad (5)$$

Фиг. 42. Импулсно разпределение на продуктите от разпадането на τ -лептона. Непрекъснатата линия отворява на разпадане на три частици, пунктираната — на двучастично разпадане. Експерименталните точки са съгласувани само с разпадането на три частици

от енергията в областта на прага на разаждане на τ^+ и τ^- . На същата фигура са дадени теоретичните стойности на тази величина в случай на частици със спин 0, 1/2 и 1. Само теоретичната крива $J=1/2$ съвпада с експерименталните данни. Бързото настъпване близо до прага на разаждане е характерно за образуването на двойка фермиони и може да бъде използвано за точно измерване на масата на τ -лептона. Получената стойност за тази величина е $m_{\tau} = 1782 \pm 3$ MeV.

По-подробното изследване на спектъра на импулсъра на троните от разпадането на $\tau^- \rightarrow \nu_{\tau} e^- \tilde{\nu}_e$, направено в Хамбург, показва, че лептонната част на слабите взаимодействия е от същия тип както за електрона и мюона.

Времето на живот на τ -лептона е $\tau_c < 14 \cdot 10^{-13}$ s и отговаря на очакванията ни. Съществуващото го τ -неутринно разпадане на τ -неутрино все още не е пряко наблюдавано. Известна е експериментална граница за неевтовата маса $m_{\tau\bar{\tau}} \leq 250$ MeV.

Опитно е установено, че τ -неутриното е различна частица както от мюонното, така и от електронното неутрино и антинейтриното.

Наблюдаваните чисто лептонни и лептонаадронни (полулептонни) разпаданния на τ -лептона са във възможно количествено съгласие с теоретичните предвиджания.

дат разграничени по характеристните импулсни разпределения. На виден нов тежък лептон τ . На фиг. 43 са изобразени резултатите от неотдавнашно изследване на процеса $e^+e^- \rightarrow \tau^+\tau^-$, проведено в Хамбург. Построена е графика на зависимостта на величината

$$R_{ex}^{2p} = \frac{\sigma(e^+e^- \rightarrow e^{\pm} + X^{\mp} + \text{един и повече фотони})}{\sigma(e^+e^- \rightarrow \mu^{\pm}\mu^{\mp})}$$

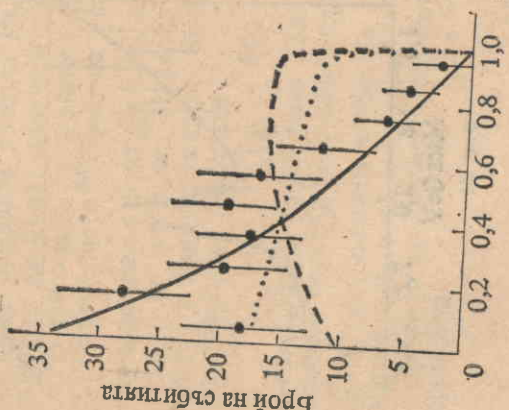
от енергията в областта на прага на разаждане на τ^+ и τ^- . На същата фигура са дадени теоретичните стойности на тази величина в случай на частици със спин 0, 1/2 и 1. Само теоретичната крива $J=1/2$ съвпада с експерименталните данни. Бързото настъпване близо до прага на разаждане е характерно за образуването на двойка фермиони и може да бъде използвано за точно измерване на масата на τ -лептона. Получената стойност за тази величина е $m_{\tau} = 1782 \pm 3$ MeV.

По-подробното изследване на спектъра на импулсъра на троните от разпадането на $\tau^- \rightarrow \nu_{\tau} e^- \tilde{\nu}_e$, направено в Хамбург, показва, че лептонната част на слабите взаимодействия е от същия тип както за електрона и мюона.

Времето на живот на τ -лептона е $\tau_c < 14 \cdot 10^{-13}$ s и отговаря на очакванията ни. Съществуващото го τ -неутринно разпадане на τ -неутрино все още не е пряко наблюдавано. Известна е експериментална граница за неевтовата маса $m_{\tau\bar{\tau}} \leq 250$ MeV.

Опитно е установено, че τ -неутриното е различна частица както от мюонното, така и от електронното неутрино и антинейтриното.

Наблюдаваните чисто лептонни и лептонаадронни (полулептонни) разпаданния на τ -лептона са във възможно количествено съгласие с теоретичните предвиджания.



Фиг. 43

НОВИ ТЕЖКИ РЕЗОНАНСИ И ВЕЧЕ НИКОЙ НЕ СЕ СЪМНЯВА В ОТКРИВАНЕТО НА b -КВАРКА

След като съществуването на нов лептонен дублет $\begin{pmatrix} \nu \\ \tau \end{pmatrix}$ стана факт, желаната симетрия между лептоните и кварките изведе наже се наруши. Теоретиците виднага я „възстановиха“. Те предсказаха съществуването на нов кварков дублет $\begin{pmatrix} t \\ b \end{pmatrix}$, носещ още два аромата — t „truth“ — „истина“, и b — „beauty“ — „красота“.

Веднага започна систематично търсене на нови тесни резонанси структури, като внимателно беше прегледана цялата достъпна енергетична област за e^+e^- -ускорителите. С ускорителя във Фраскати (Италия) беше изучена областта от 1,91 до 2,54 GeV (фиг. 44). Данните на групата на Л. Ледерман, свидетелствуващи за откриването на u , d -блицата в сечението отворада на максимум, в който се интерпретира като нов тежък резонанс ψ .

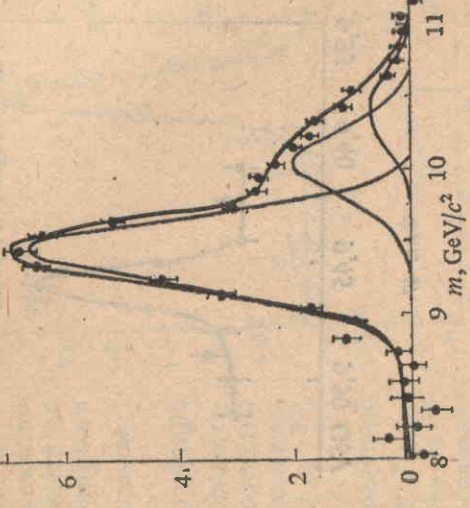
Едновременно с тези изследвания по методика, аналогична на методиката на С. Тинг в Брукхейвън, се провеждаха търсения и в протонните ускорители. През лятото на 1977 г. групата на Леон Ледерман, която изучаваше образуването на $\mu^+\mu^-$ -двойки и при разсейването на протони с енергия 400 GeV от берилиева мишена в огромния протонен ускорител на Националната ускорителна лаборатория „Ферми“ в Багавия, недалек от Чикаго, откри широк максимум

за сумум в сечението за образуване на $\mu^+\mu^-$ в областта на 9,5 GeV. Получените данни, които възбудиха отново духовете в общността на физичите, са показани на фиг. 44. На фиг. 45 са изобразени същите данни, като е изведен нерезонансният фон. Кривите бяха анализирани при предположение, че полученият максимум се състои от един, два или три резонанса от Брайт — Вигнеров тип. Най-добро съвпадение с опитната крива се получава в последния случай при следните маси на новите резонанси Υ (ипсилон)

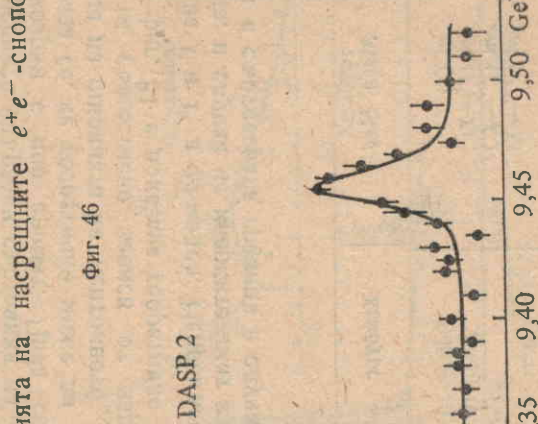
$$m(\Upsilon) = 9,460 \text{ GeV}, m(\Upsilon') = 10,02 \text{ GeV} \text{ и } m(\Upsilon'') = 10,38 \text{ GeV}.$$

През 1978 г. в Хамбург енергията на насрещните e^+e^- -сполове беше увеличена до 10,2 GeV и откриването на новото семейство Υ -частичи беше потвърдено от всички детектори, работещи в ускорителя!

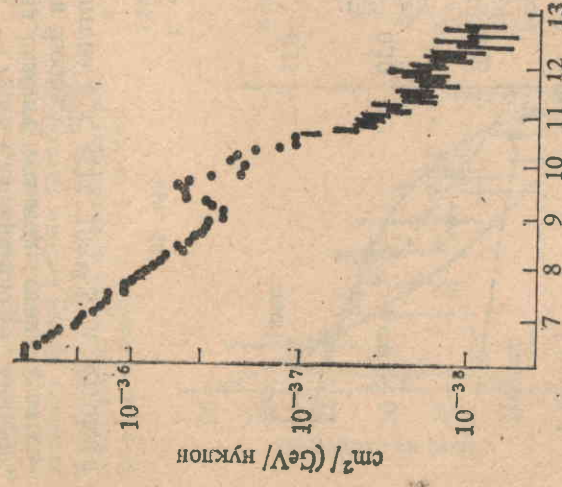
Фигурите 46, 47 и 48 илюстрират резултатите на различните групите, работещи на различните детектори. На фиг. 49 са сравнени данните, получени в протонния ускорител в Багавия, с данните от ускорителя с насрещни e^+e^- -сполове в Хамбург. Преимущество на e^+e^- -данните е сълно.



Фиг. 44

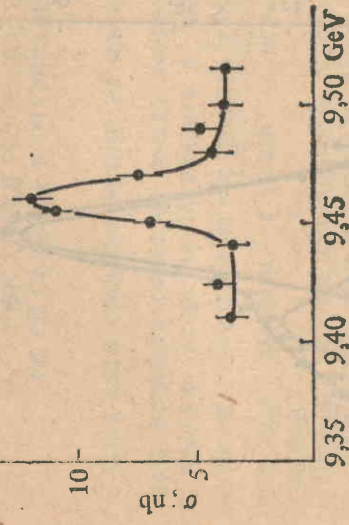


Фиг. 45



Фиг. 46

¹ В литературата се срещат и други имена t — „тар“ — „върхов“, и b — „блъзън“. „блъзън“.



Фиг. 47

През ноември 1979 г. в Корнел САЩ започна да работи нов ускорител с настечни e^+e^- -снопове с най-добри параметри именно в областа на Υ -резонанса. Получените стойности на пълното сечение и наличието на четири резонанса — Υ , Υ' , Υ'' и Υ''' , е показано на фиг. 50.

Масите на новите Υ -резонанси са подредени в таблица 5. Разликата в стойността на масата на Υ в Хамбург и Корнел се дължи на двата ускорителя, които е ± 10 MeV при първия и ± 30 MeV при втория. Поради тази причина в таблицата са дадени различите в масите само на останалите резонанси, които са независими от абсолютната стойност на енергията.

Естествено е да се предположи, че новите Υ -състояния са търсени свързани състояния на още по-тежки кварки и антикварки с нов аромат. Пита се на кой кварк — на b или t ? Оказа се, че теоретично може да бъде пресметната долната граница на ширината на лептонното разпадане на Υ -резонансите и че тя съществено зависи от заряда на съставящите кварки. На фиг. 51 е показана теоретично предсказаната лептона широчина за Υ и Υ' в $q\bar{q}$ -модел. Непрекъснатата линия е долната и гранична, в случаи че кварките имат заряд $1/3$, а защирихованата линия е съответната граница в случая $Q_q=2/3$. С точки са означе-

ни следните данни от Хамбург и от Корнел, които недвусмислено показват, че Υ -частичите са свързани състояния на b -кварка и \bar{b} -антикварка със заряд съответно $-1/3$ и $+1/3$.

Частичата се интерпретира като 1^3S_1 -състояние на $b\bar{b}$ -системата, а Υ' , Υ'' , Υ''' съответно като 2^3S_1 , 3^3S_1 и 4^3S_1 -състояния. Пълната ширина на Υ е (43 ± 20) keV, т. е. е малка в сравнение с (67 ± 12) keV за J/Ψ . Също така тесни са и състоянията Υ' и Υ'' , което показва, че разпаданията и на трите частици на алрони са силно поддържани. Като и по-рано, това може да бъде тълкувано като доказателство, че прагът на раздяне на двойка мезони с открытия „красота“ лежи над $m(\Upsilon')$. Пълната ширина

Таблица 5

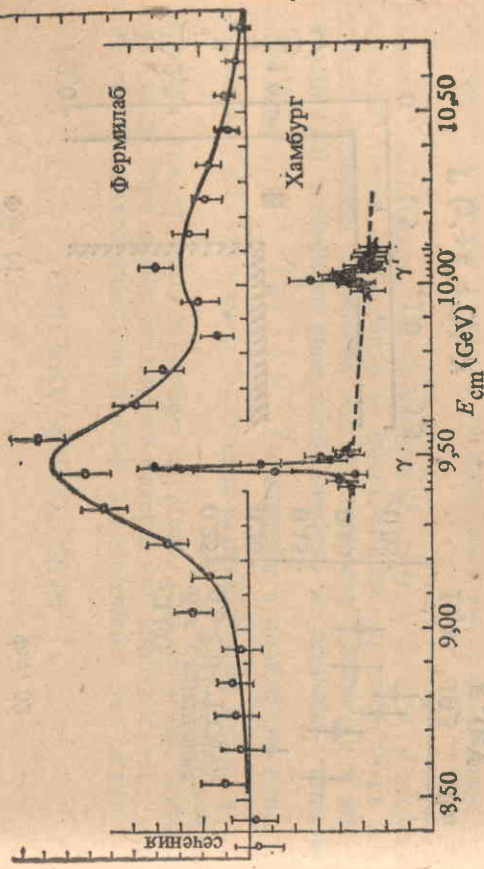
Маси, MeV	Хамбург	Корнел
$m(\Upsilon)$	9462 ± 10	9433 ± 28
$m(\Upsilon' - \Upsilon)$	553 ± 10	560 ± 3
$m(\Upsilon'' - \Upsilon')$		889 ± 4
$m(\Upsilon''' - \Upsilon')$		1114 ± 5

106

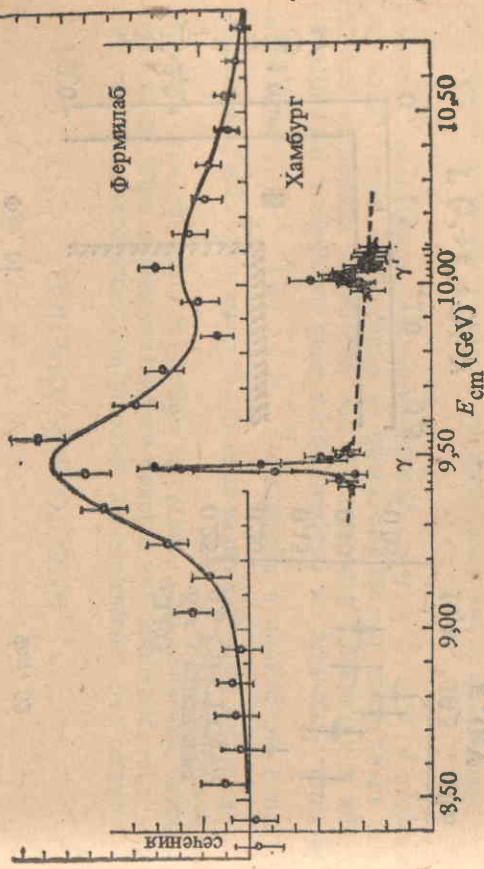
ни следните данни от Хамбург и от Корнел, които недвусмислено показват, че Υ -частичите са свързани състояния на b -кварка и \bar{b} -антикварка със заряд съответно $-1/3$ и $+1/3$.

Частичата се интерпретира като 1^3S_1 -състояние на $b\bar{b}$ -системата, а Υ' , Υ'' , Υ''' съответно като 2^3S_1 , 3^3S_1 и 4^3S_1 -състояния. Пълната ширина на Υ е (43 ± 20) keV, т. е. е малка в сравнение с (67 ± 12) keV за J/Ψ . Също така тесни са и състоянията Υ' и Υ'' , което показва, че разпаданията и на трите частици на алрони са силно поддържани. Като и по-рано, това може да бъде тълкувано като доказателство, че прагът на раздяне на двойка мезони с открытия „красота“ лежи над $m(\Upsilon')$. Пълната ширина

Фиг. 48



Фиг. 48



Фиг. 49

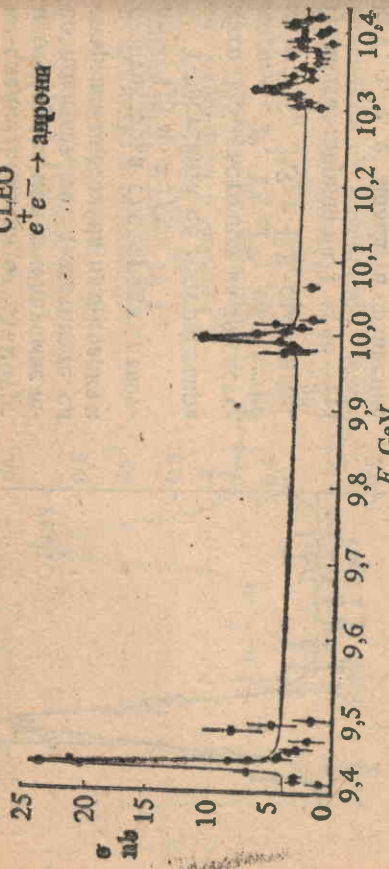
107

Провеждайки аналогията с D -мезоните, по-нататък ние очакваме в този интервал четиримезона: $B^+(bu)$, $B^0(\bar{b}d)$, $B^0(b\bar{d})$ и $B^-(\bar{b}u)$.

Данните на Корнел показват, че Υ''' не може да се разпадне на $B^*\tilde{B}^*$, на $B\tilde{B}^*$ и $B^*\tilde{B}$. Този факт показва, че масата на B -мезона е много близка до $\frac{1}{2}m(\Upsilon''')$. Данните по изучаване продуктите от разпадането на Υ''' все още не са достатъчни като пряко доказателство за съществуването на B -мезоните, но за него има красноречиви индиректни данни, например показаното на фиг. 52 рязко увеличение на броя на K -мезоните в сравнение с броя на π -мезоните при енергия на e^+e^- -снона, достатъчна за пораждане на Υ''' . Известни данни за съществуване на B -мезоните през последните години се получават и от протонните ускорители, но поради сравнително ниската им надеждност ние няма да ги обсъждаме.

След построяване на новия мощен ускорител „Петра“ в Хамбург-ENERGETИЧНИЯ ИНТЕРВАЛ, В КОЙТО БЯХА ТЪРСЕНИ НОВИ ТЕСНИ РЕЗОНАНСИ (СВЪРЗАНИ СЪСТОЯНИЯ НА t -КВАРКА), беше разширен до 36 GeV. До тези енергии $t\bar{t}$ -състояние не беше открито. И така, до края на 1981 г. можем спокойно да говорим, че познаваме пет аромата „типа“ (кварки — u, d, c, s и b). Предполага се съществуването на шести кварк.

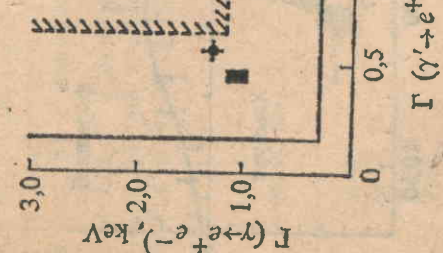
Фиг. 51 Фиг. 52



Фиг. 50

на Υ''' обаче е $(12,6 \pm 6,0)$ MeV и е достатъчно голяма, за да предположим, че пък $m(\Upsilon''')$ е над прага за раздание на двойка B -мезони. И така, разсъждавайки по същия начин както преди, получаваме, че масата на частиците с открыта красота $m(B)$ трябва да е в границите

$$5162 \text{ MeV} = \frac{1}{2}(\Upsilon) < m(B) < \frac{1}{2}m(\Upsilon''') = 5274 \text{ MeV}.$$



ВМЕСТО ЗАКЛЮЧЕНИЕ

Заедно със сензационните експериментални открития в адронната спектроскопия постепенно изкристализираха нови представи, коренно различни от старите, за елементарните частици и техните взаимодействия. Истински елементарни са лептоните. Появяваме три „поколения“ лептона, подредени в дублети — $(\begin{smallmatrix} e^- \\ \nu_e \end{smallmatrix})$, $(\begin{smallmatrix} \mu^- \\ \nu_\mu \end{smallmatrix})$ и $(\begin{smallmatrix} \tau^- \\ \nu_\tau \end{smallmatrix})$, и техните античастици. Адроните са свързани състояния на кварки, мезоните на кварк и антикварк, барионите на три кварка, а антибарионите на три антикварка. Експериментално са открити пет типа „аромата“ кварки: u, d, s, c, b . Ако предположим, че съществува и щести

¹Съществуват по-малко популярни, но достатъчно красиви теоретични схеми, в които не е необходимо съществуването на шести t -кварк.

аромат кварк t , между лептоните и кварките ще има пълна симетрия — на трите поколения лентони съответствуваат три поколения кварки: $\begin{pmatrix} u \\ d \end{pmatrix}$, $\begin{pmatrix} c \\ s \end{pmatrix}$ и $\begin{pmatrix} t \\ b \end{pmatrix}$. Всеки тип кварки е в три цветни состояния. Адроните са безцветни комбинации от кварки.

Между кварките и лептоните съществуват електромагнитни, слаби и хромодинамични взаимодействия, които се осъществяват посредством обмен на векторни частици (със спин 1) — електромагнитните с обмен на слабото взаимодействие са два тежки, заредени W^\pm -мезона, и един неутрален тежък Z^0 -мезон, а силните взаимодействия между кварките се пренасят от осем безмасови, електрически неутрални, но с цветов заряд частици „глюони“. Единствено слабите взаимодействия различават различните ароматни кварки. Силните взаимодействия не са чувствителни и към електромагнитните (зарядова независимост). Цветните „хромодинамични“ сили са такива, че само безцветни свързани състояния на кварк и антикварк и на три кварка или на три антикварка са възможни. Предполага се, че между кварковите и междуглюонните сили растат с разстоянието и следователно кварките и глюоните са завинаги затворени в адроните и не могат да бъдат наблюдавани в свободно състояние.

Днес не съществуват експериментални данни, които да потвърдят на тази прости и красива картина. Може да се счита, че имаме достатъчно експериментални данни за съществуването на глюоните. Носителите на слабото взаимодействие W^\pm вероятно ще бъдат открити в големия ускорител с насредни протон-антипротонни спонове в Женева, а Z^0 -мезона се очаква да бъде видян като ясен максимум в пълното сечение на реакцията e^+e^- в адрони в началото на деветдесетте години, когато ще бъде построен новият ускорител с e^+e^- -насредни спонове.

Физиката на високите енергии е съвременната наука за структурата на материята. Тя се интересува от въпроса кои са най-малките градивни частици на материята. Както знаем, този въпрос не е нов за науката. С развитието на експерименталните и теоретичните методи на изследване отговорът на този въпрос коренно се е променил.

В историята на науката претенденти за най-малки градивни елементи на материята са били различни обекти. През миналия век физиката и химията са приемали атомите и молекулите като най-малки частици, от които са изградени телата в природата. Химичните реакции и превръщането на един химични съединения в други са доказали, че молекулите се състоят от атоми, а атомите се оказали най-малки и неделими частици. Но по това време не е било ясно как да се обясни природата на химичните връзки въз основа на известните сили във физиката. В края на миналия и в началото на нашия век физиците започнали да изучават нови явления, за които никмо обяснение в рамките на класическата физика: електрични явления в газове, фототоелектрични явления, радиоактивност, космично лъчение, изучаване на промените на веществото под действието на α -, β - и γ -лъчи. Резултатите от тези изследвания показвали, че атомът, макар и много малък, с размери от порядъка на 10^{-10} m, е сложна частичка и има своя структура. Състои се от електронна обивка и ядро. Между структурата на атома и систематиката на химичните елементи в Менделевовата таблица се установява дълбока връзка. Химичните свойства на елементите се обуславят от броя и начин на подреждането на електроните около ядрото.

Ядрото е 100^4 пъти по-малко от атома. При бомбардиране с

УСПЕХИ НА ФИЗИКАТА НА ВИСОКОТЕ ЕНЕРГИИ

Павел Марков

1. УВОД

ускорен сноп частици ядрото се разрушава. Така става възможното да се превръщат едни химични елементи в други. За разрушаването на ядрото са необходими около 10^3 пъти по-големи енергии, отколкото за ионизирането на атома или за разрушаването на молекулата на атоми. Здравината на атома се обуславя от електромагнитното взаимодействие между електроните от обикновата му и положителния електричен заряд на ядрото. Эдвард Рено (силно) взаимодействие между съставните му частици. През 1932 г. се изяснява окончателно, че ядрото се състои от протони и неутрони.

Обширните изследвания на атома и ядрото доведоха до обосноваването на атомната физика и ядрената физика като отделни научни дисциплини.

Изследванията на космичното лъчение до средата на нашето природата съществуват и други видове частици: мюони, пиони, хиперони и др.

За изучаване свойствата на тези частици и основните законопочна строителството на първите ускорители за енергии над 1 GeV. Започна развитието на физиката на високите енергии.

След разкриване тайната на структурата на ядрото за най-малки градивни елементи на материята се приемат елементарните частици протон, неутрон, електрон, мюон, пион и др. Днес ние познаваме добре над 250 и недостатъчно добре над 50 елементарни частици. През последните 5—6 години бяха открити най-тежките частици, които се характеризират с квантови числа „чар“ (charm) и „красота“ (beauty).

Теоретичните изследвания във физиката на високите енергии се основават на специалната теория на относителността, квантовата механика, квантовата теория на полето и на съвременните направления в математиката. При експерименталните изследвания се използват специфични методи за ускоряване, детектиране и идентифициране на частиците, като се прилагат най-новите постижения на много технически науки.

Подобно на химичните елементи и елементарните частици по същество си се систематизират в групи. Систематиката постепенно се усъвършенства. Първоначално те се делят на лептони, мезони и бариони, т. е. на леки, средно тежки и тежки частици. Мезоните и барионите са силно взаимодействуващи частици, наречени адрони. Адроните се групират в изотопични мултиплети, по-късно в си (3)-мултиплети, си (4)-мултиплети и др.

Систематиката на елементарните частици и изучаването на свойствата им с днешните ускорители за рекордно високи енергии породиха коренно различна картина за структурата на материята. Счита се, че най-малките градивни елементи на материята, функциите споделят търдото убеждение, че адроните са изградени от кварки. Основните сили, които обуславят структурата на материята и процесите в природата, са проявява на четири взаимодействия: гравитационно, слабо, електромагнитно и силен. Следват от квантни на полето тези взаимодействия се пренаносят, гл. оните за силното и междинните бозони за слабото взаимодействие. За разкриване кварковата структура на адроните са нужни над 10^8 пъти по-големи енергии в сравнение с тези за разрушаването на ядрото. Размерите на адроните са от порядък на 10^{-15} м. Изучаването на по-малки обекти изисква по-големи енергии, а те се получават с по-големи ускорители. И така, за изследването на най-малките обекти се използват най-големите машини.

Развитието на физиката на високите енергии е тясно свързано с развитието на техниката на ускорителите за заредени частици. Необходимостта от разнообразни спонове частици, ускорени до рекордно високи енергии, е стимулирана силно строителството на различни типове ускорители. След тридесетгодишното развитие днес физиците-експериментатори разполагат с първични спонове от протони, ускорявани до 500 GeV, от електрони — до 20 GeV и от различни йо-и, ускорявани до няколко GeV на нуклон. С помощта на първите спонове частици се създават вторични спонове от пиони, каони, мюони, хиперони, фотони, неутрони и неутрино с енергии до няколкостотин GeV. При ускорителите с наследни спонове енергията в системата на центъра на масите на електронните спонове днес достига 38 GeV, на протон-антипротонните поколение ускорители, които ще надхвърлят сегашните рекордни енергии.

Елеменгарните частици се характеризират със следните свойства: маса, електричен заряд, магнитен момент, време на живот, топличен спин, четност, странност, чар, красота и др., които са различни за различните частици. Високите енергии на частиците покраждат взаимодействия с раждане на голям брой вторични частици. Експерименталните изследвания изискват специфични методи. Детекторите се характеризират с големи размери. Експериментал-

ните инсталации се разполагат в огромни зали. Те се състоят от голям брой различни по вид уреди за регистриране и измерване на частиците. Използват се ядрени емулси, мехурчести камери, различни типове многочични искрови камери (пропорционални, стримерни, дрейфови), сцинтилационни бројачи и телескопи, различни образни черенкови бројачи, масови спектрометри, силни магнитни полета, създадени в големи обеми, електронни блокове и апаратури, микропроцесори и миникомпютри, както и най-големи електронноизчислителни машини за обработване на богатата експериментална информация. Успешното развитие на тази експериментална методика е имало решаващо значение за развитието на физиката на високите енергии.

Теоретичните изследвания във физиката на високите енергии имат също големи успехи. Най-пълна и съвършена е квантовата теория на електромагнитното взаимодействие. Между експерименталните измервания и теоретичните предвиждания е получен много добро съответствие. Най-добре разработена е квантовата електродинамика (КЕД). През последните години бе постигнат съществен успех при израждането на непротиворечива теория и за слабото взаимодействие. Още по-голям успех е създаването на единна теория на тези две взаимодействия, наречена теория на електро-слабото взаимодействие. На основата на тези резултати е създадена и теория за силното взаимодействие, наречена квантова хромодинамика (КХД). Тя има много общи черти с КЕД, но има и съществени различия.

В тази статия нямаме възможност да направим исторически преглед на развитието на физиката на високите енергии, нито да изложим системно нашите познания в тази бурно развиваща се в най-предния фронт на физиката наука. Ние ще се спрем накратко върху големите успехи на експерименталните изследвания във физиката на високите енергии, които бяха отбелязани през последните три десетилетия, като разчитаме, че читателят има представа за основите на тази наука.

2. УСКОРИТЕЛИ ЗА ВИСОКИ ЕНЕРГИИ

Ускорителите са сложни и скъпи технически съоръжения. Развитието на техническия прогрес е позволило да се строят ускорители за по-високи енергии. Защо са нужни такива ускорители? Те са необходими, за да изследваме с по-големи подробности структурата на материята и за да генерираме по изкуствен път такива частици, които при обикновени условия не съществуват около нас. Изучаването на тези частици и техните взаимо-

действия води до откриване на нови закономерности и принципи, които се различават от закономерностите и принципите на класическата физика.

Според квантовата механика всяка частица, която се движи, притежава вълнови свойства. Те се определят от дължината на вълната λ , която зависи от импулса p на частицата съгласно с известната формула

$$\lambda = \frac{\hbar}{p}, \quad (1)$$

където \hbar е Планковата константа. При импулс $p = 1 \text{ GeV}/c$ дължина на вълната на частицата $\lambda = 0,2 \text{ fermi}$ ($1 \text{ fermi} = 10^{-13} \text{ cm}$). Големината на протона, неутрона и на някои други частици е определена експериментално и тя е от порядъка на $0,6 - 0,8 \text{ fermi}$. Следователно, ако се интересуваме от подробности в структурата на тези частици, трябва да изучим взаимодействията между тях, т. е. разсейването при енергии, значително по-високи от 1 GeV , при които дължината на вълната ще бъде значително по-малка от размерите на частиците. Нека припомним, че в това отношение има гълна аналогия с оптичния микроскоп. Колкото светлината, от които се осветява обектът, има по-малка дължина на вълната, толкова по-голяма е разделителната способност на микроскопа. Изучаването на взаимодействията между частици при рекордно високи енергии има и друго важно практическо значение. Ние проверяваме валидността на основните закони на физиката при все по-малки пространственно-временни интервали. Съвременните ускорители ни убеждават, че законите на електродинамиката са в сила даже и при такива малки обеми с линейни размери от порядъка на 10^{-16} cm и интервали време от порядъка на 10^{-24} s . Така мястото да споменем, че съществува хипотеза за фундаменталната дължина. Това е тази малка дължина, при която пространство — време проявява съвършено нови свойства и познатите физични закони престават да бъдат в сила. Сегашните експериментални изследвания показват, че ако съществува фундаментална дължина, тя е по-малка от 10^{-16} cm .

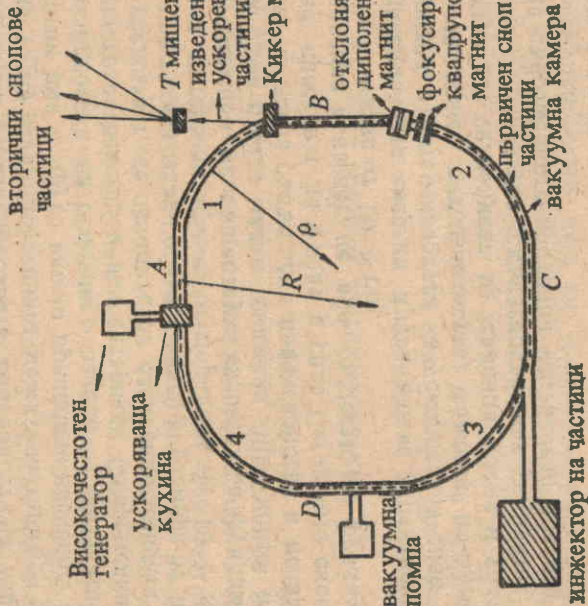
Освен максималната енергия друга важна характеристика на даден ускорител е интензивността на ускорявания сноп частици. Колкото е по-голяма интензивността, толкова по-голям брой взаимодействия ще се получат за единица време и толкова по-ефективно ще се използува скъпоструващият ускорител. Интензивността на съвременните протонни ускорители достига до 10^{13} частици за секунда.

Познаваме различни типове ускорители. За получаване на про-

тонни и електронни снопове с високи енергии се използват синхронни и линейни ускорители. Ще припомним принципа на тяхното действие.

На фиг. 1 е дадена опростена схема на синхротрон. От инжектора във вакуумната камера се връщат частици с начална енергия E_0 . Диполните магнити създават подходящо магнитно поле, което задържа частичите по кръгова орбита с радиус на кривина R . Квадруполните магнити фокусират снопа частици. Ускоряването се извършва от високочестотния генератор с честота ω , на мястото на колиматора и магнитни и електрични лещи се формират различни канали, в които се движат вторични спонове частици от даден тип и с дадена енергия. За по-голяма ефективност в използването на ускорителя обикновено се правят единовременно десетки експерименти, разположени в различни лабораторни помещения, до които се довеждат вторични спонове частици от желания тип и енергия.

Фиг. 1. Схема на синхротрон А1Б2С3Д4 – ускорителен пръстен с радиус R ; 1, 2, 3, 4 – кръгови сектори с радиус на кривина r , в които са разположени отклоняващите диполни магнити и фокусиращите квадруполни магнити



сноп частици е пропорционална на радиуса на вакуума – камера и на индукцията на магнитното поле.

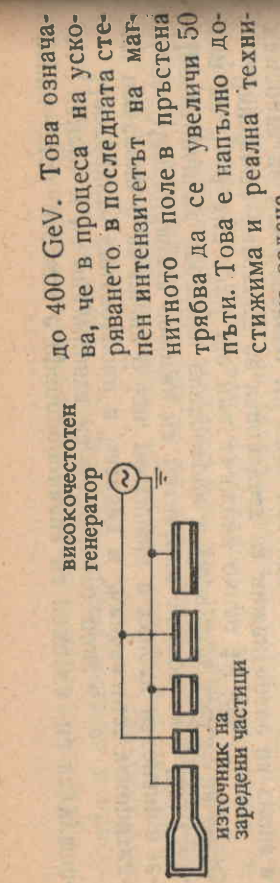
Протонните синхротрони в Батавия и Женева имат ускорителини пръстени с дължина 6 км, поставени в тунели, изкопани в земята. Максималната енергия на Батавския ускоритрон в Серпухов, СССР, за енергии до 3–4 хил. GeV ще има дължина около 19 км.

Линийните участъци се използват за инжектиране на спонове частици, за ускоряването му чрез високочестотния генератор, за използването му от експериментаторите, като поставят съответно на мястото на колиматора и магнитни и електрични лещи веде от ускорителната камера с помощта на специален магнит. Изведеният първичен спон се насочва към една или повече мишени и с помощта на колиматори и магнитни и електрични лещи се формират различни канали, в които се движат вторични спонове частици от даден тип и с дадена енергия. За по-голяма ефективност в използването на ускорителя обикновено се правят единовременно десетки експерименти, разположени в различни лабораторни помещения, до които се довеждат вторични спонове частици от желания тип и енергия.

За следващото поколение ускорители се предвиждат свърхпроводящи магнити, с които могат да се създават магнитни полята с максимален интензитет почти два пъти по-големи от този на стандартните магнити. Следователно такъв ускорител ще биде два пъти по-висока енергия в сравнение с ускорител със стандартни магнити и същата дължина.

През последните години процесът на ускоряването на частиците се контролира и управлява с помощта на електронноизчислителни машини. Това дава възможност да се ускоряват и тежки частици: деutronи, α -частици, ядра на въглерод, азот, кислород, неон и др.

За инжектор на частици се използват ускорители за ниски енергии от различен тип – на Ван дер Грааф, Кокрофт и Уолтън, или линийни ускорители. При най-големите ускорители има няколко стъпала за ускоряване. Например при протонния синхротрон в Батавия между източника на протонния спон и крайното стъпало на ускоряване в големина пръстен се използуват три междуини стъпала: електростатичен генератор на Кокрофт и Уолтън за 750 keV, линеен ускорител, с който енергията се повишава до 200 MeV, и малък синхротрон, наречен бустер, в който спонът достига енергия 8 GeV и с тази енергия спонът се инженерира в главния ускорителен пръстен. По такъв начин в крайната степен на ускоряване на спона се увеличава от 8 GeV



Фиг. 2. Схема на линеен ускорител

до 400 GeV. Това означава, че в процеса на ускоряването в последната степен интензитетът на магнитното поле в пръстена трябва да се увеличи 50 пъти. Това е напълно достоверна и реална техническа задача.

Синхротронът се използува за ускоряване и на електронни снопове. Ускоряването на електроните обаче е съпроводено с големи загуби, породени от така нареченото синхротронно излучване. Това е електромагнитно лъчение в областта на късите вълни. Класическата електродинамика обяснява напълно произхода на лъчението. При протонните синхротронни интензивности на лъчението, при които съществува енергия на един протон до 10^{13} пъти по-малка и практически толкова до загубите от синхротронното лъчение растат с увеличаване на енергията на електронния сноп и те поставят горна граница за тази енергия. Днес максималната енергия на електронния синхротрон достига 19 GeV, това е постигнато при ускорителя с наследствените снопове PETRA в Хамбург. Както е посочено в последния парagraf на статията, синхротронното лъчение се използова все пошироко в практиката. Ето защо напоследък започна строителство на електронни синхротрони специално заради използванието на синхротронното излучване.

На фиг. 2 е показвана схема на линеен ускорител. Редица от тръби с увеличаваща се дължина се съединяват с генератор на нискочастотното напрежение. Вътрешните цилиндри на електрическия генератор са съседни цилиндъра между които е нула. В пространството между двета съседни цилиндри се измества съсреди същата енергия, енергията на снопа трябва да бъде

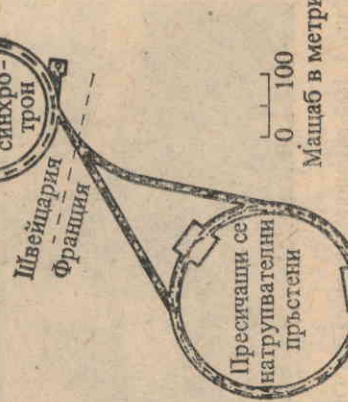
на фиг. 3 е дадена опростена схема на протонния ускорител с наследствен снопове на Европейската организация за ядрени изследвания (ЦЕРН), Женева. Протонен сноп се ускорява в синхротрон до 28 GeV. В края на цикъла на ускоряването снопът се извежда по допирателна и се изпраща и нагрява в друг пръстен с подходящ радиус и магнитно поле. Нагрьупването продължава няколко часа, докато електричният ток, който се дължи на движението на протоните, достигне около 20 A. След това снопът се изпраща във втори пръстен, но движението на прътоните в обратна посока в сравнение с движението на прътоните в първия пръстен. Двата пръстена се пресичат на няколко места и в тези места двата снопа се срещат. Част от прътоните се сблъскват. С подходяща апаратура се изучават тези взаимодействия. Голямото преимущество на този тип ускорители е, че всяка система на центъра на масите на взаимодействуващите прътони, която съвпада с лабораторната система, енергията е равна на сумата от енергите на двата прътона, т. е.

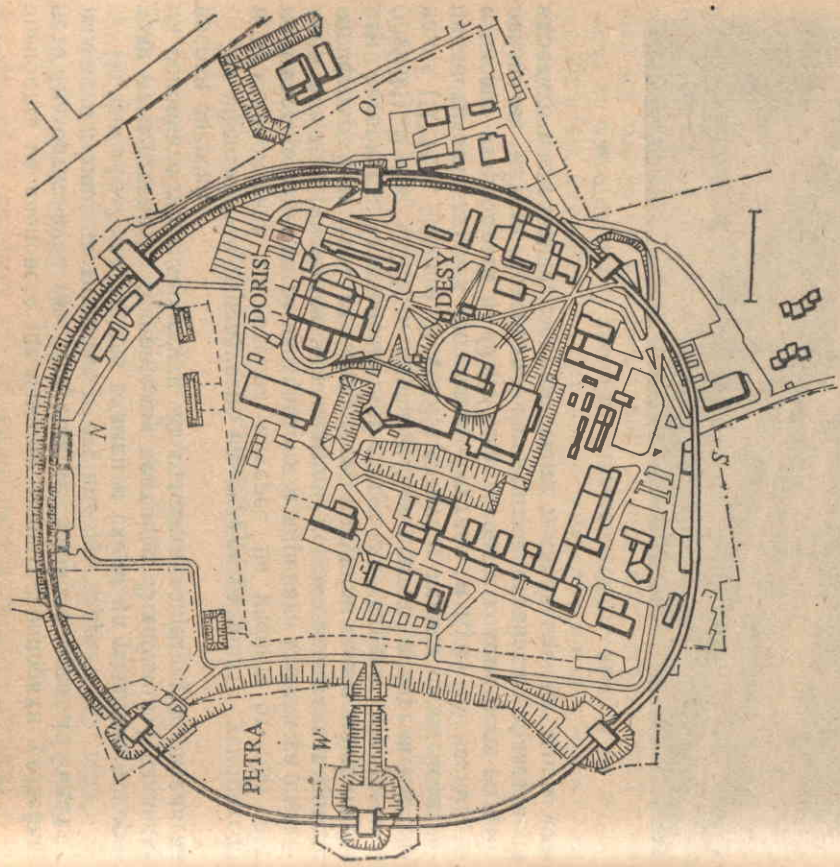
$$E_{\text{сум}} = 28 \text{ GeV} + 28 \text{ GeV} = 56 \text{ GeV}. \quad (2)$$

При стандартните ускорители с един ускорен сноп, който взаимодействува с неподвижна мишена, за да се получи в системата на центъра на масите същата енергия, енергията на снопа трябва да бъде

$$E = E_{\text{сум}}^2 / 2 = 56^2 / 2 \approx 1600 \text{ GeV}. \quad (3)$$

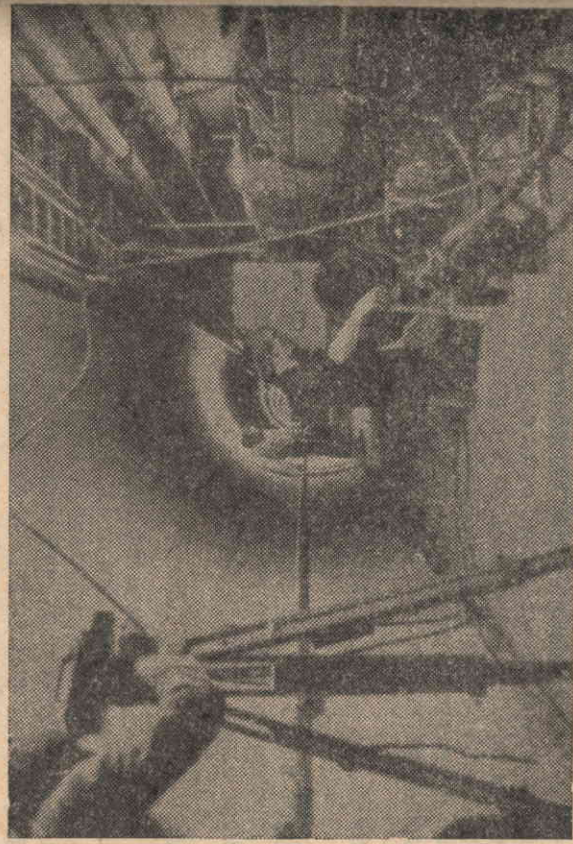
Енергията в системата на центъра на масите е важна величина. Генерацията на вторичните частици се извършва за сметка на тази енергия. Както показват експерименталните изследвания, също една малка част от енергията в системата на центъра на масите се превръща в частици. Ето защо разждането на тежки частици може да настъпи при сравнително високи енергии.





Фиг. 4. Най-големият ускорител на ОИЯИ. Дубна — синхрофазотронът ускорява сноп протоны до 10 GeV. Пуснат в действие през 1957 г. Сега се използва за ускоряване на ядра на химичните елементи deutерий, хелий, въглерод, азот и кислород.

Фиг. 5. Част от тунела на ускорителя в Батавия по време на монтиране на свръхпроводовящ магнит. Когато завърши монтирането на всички магнити, максималната енергия на протонния сноп ще достигне 1000 GeV



Фиг. 6. Схема на ускорителния комплекс в Хамбург, ФРГ: DESY — електронен синхротрон с диаметър 100 м, максимална енергия 7,5 GeV, DORIS — ускорител с настreichни електрон-позитронни снопове, елиптична вакуумна камера е с размери 50×100 м, максимална енергия в съм 10 GeV, PETRA — ускорител с настreichни електрон-позитронни снопове, диаметър 734 м, максимална енергия в съм 38 GeV

Ускорителите с настreichни снопове в сравнение със стандартните ускорители с неподвижна мишена имат този недостатък, че броят на взаимодействията е много малък поради малката интензивност на двата снопа. Ускорителите с настreichни снопове се характеризират с висок вакуум (по-висок от 10^{-7} torr). Това е необходимо, защото частиците се движат в пръстените продължително време — десетки часове. Ако вакуумът не е висок, интен-

ни и тези от ОИЯИ, затова няма да се спират подробно на този къргъвъпрос.

Националните ускорителни центрове в СССР, САЩ, ФРГ и др. също са създали най-добри условия за широко участие в изследователската работа на учени от цял свят. В областта на физиката на високите енергии международното сътрудничество има дълбоки корени и дава големи научни резултати.

Задоволяването на голямия интерес на учени от цял свят към експерименталните изследвания в ядрената физика са създадени две международни организации, които съществуват повече от четвърти век. Това са центровете, получили голям международен авторитет: Обединеният институт за ядрени изследвания (ОИЯИ), Дубна, СССР, и Европейският център за ядрени изследвания (ЦЕРН), Женева. В ОИЯИ членуват всички европейски социалистически страни, Монголия, Виетнам и Куба. У нас много е писано за работата на ОИЯИ, за неговата голяма роля за създаване на научен потенциал на нашата страна в областта на ядрените изследвания, за съвместните изследвания на наши учени.

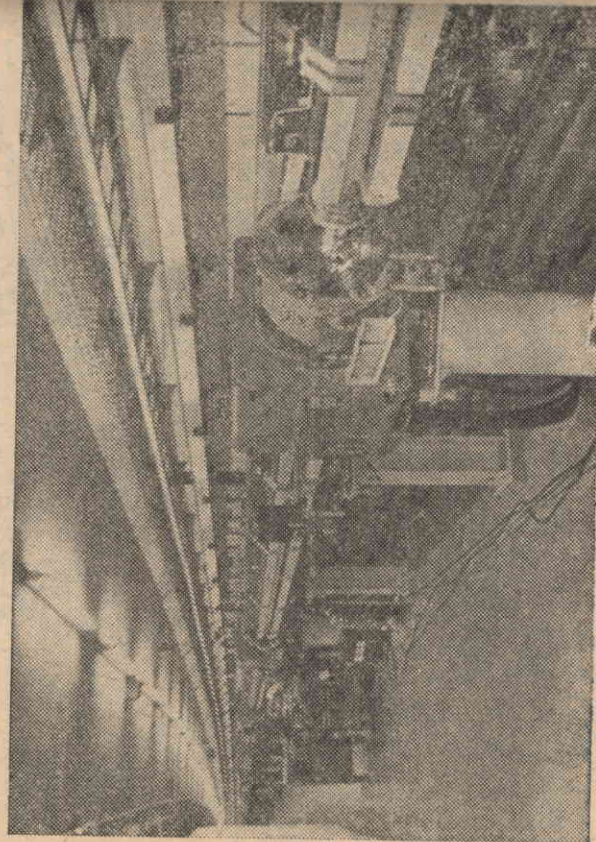
За ефективното използване на скъпоструващите ускорители и за задоволяване на голямия интерес на учени от цял свят към експерименталните изследвания в ядрената физика са създадени две международни организации, които съществуват повече от четвърти век. Това са центровете, получили голям международен авторитет: Обединеният институт за ядрени изследвания (ОИЯИ), Дубна, СССР, и Европейският център за ядрени изследвания (ЦЕРН), Женева. В ОИЯИ членуват всички европейски социалистически страни, Монголия, Виетнам и Куба. У нас много е писано за работата на ОИЯИ, за неговата голяма роля за създаване на научен потенциал на нашата страна в областта на ядрените изследвания, за съвместните изследвания на наши учени.

3. ЕКСПЕРИМЕНТАЛНИ МЕТОДИ

Във физиката на високите енергии се използват различни експериментални методи. Намират приложение детектори с различни принципи на детектиране, броене, измерване и идентификация на елементарните частици. Тук няма възможност да бъдат разгледани подробно и системно тези въпроси. Ще се обрне внимание на специфичното за високите енергии.

В началния период от развитието на физиката на високите енергии нашироко се използваше методът на ядрените смулсии. С негова помощ бяха направени важни открития. При изследвания на космичното лъчение бяха открити пионите, каоните, ламбада, сигма- и кси-хипероните. След 1960 г. ядрената смулсия започна да се използва все по-ограничено. Благодарение на големата разделителна способност при измерване на юглите на следите на частиците и малките прорези тази методика се използва и днес с успех за решаване на конкретни и специфични задачи, например за измерване времето на живот на частиците, когато то е по-малко от 10^{-11} с. Такъв е случаят с разпадането на новооткритите тежки частици — чаравни мезони и чаравни бариони. На фиг. 8 е показвана микрография на взаимодействия в ядрена смулсия, предизвикана от γ -квант в точка O . В това взаимодействие между другите частици се разпада на четири частици в точка O' . Това е рядко събитие. Досега в ядрени смулсии са наблюдавани само няколко чаравни частици, средният живот на които е от порядъка на 10^{-13} с и е определен със сравнително голяма статистическа грешка.

През 1960 г. започна масово да се прилага новата методика на мехурчестата камера. Използуват се камери, напълнени с различни течности: течен водород, течен деутерий, пропан, ксенон, фреон, смес от различни течности. Течността се поддържа при определена температура и налягане. Непосредствено преди облъч-

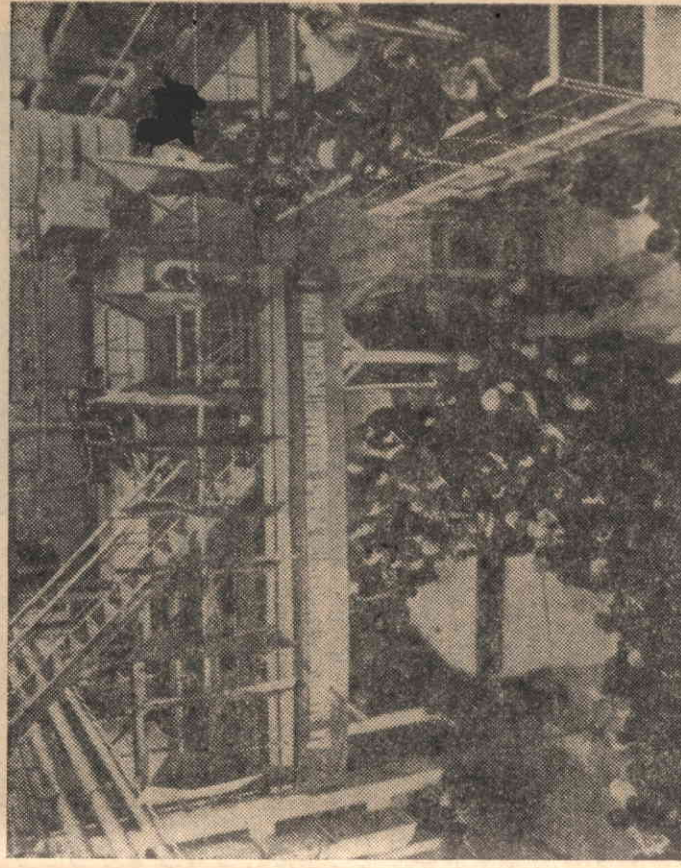


Фиг. 7. Изглед от тунела на ускорителя PETRA, Хамбург

автоматично със специална апаратура. В резултат на обработката се получават данни за частичите, които са родени във взаимодействието, за тяхната природа, за енергията им, за посоката на движението им в пространството. Информацията за едно взаимодействие се съдържа в няколко стотици и хиляди цифри. Ето защо тази богата информация за голям брой взаимодействия се записва на магнитни ленти и се обработва с електронноизчислителни машини.

Съвременните мехурчести камери се характеризират с големи размери. Чувствителният обем на течността достига до няколко десетки кубически метра. Това се налага от необходимостта да се измерват с достатъчна точност енергите на частиците, които обикновено са над 1 GeV. Колкото импулсът на частичата е по-голям, толкова по-малка е кривината на траекторията на частичата в дадено магнитно поле. Тези камери заедно с магнитите,

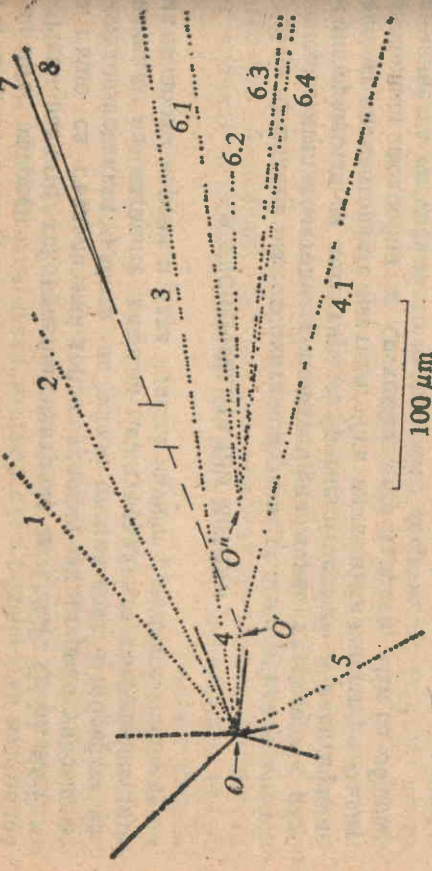
Фиг. 9. Двуметрова мехурчеста водородна камера на ОИЯИ, Дубна, пусната в действие в серпуховски ускорител през 1971 г.



Фиг. 8. Микрофотография на неутринно взаимодействие в ядрена емулсия, при което се ражда чаровен ламбда барион Δ_c^+ (след № 4), който се разпада в точка O' , и неутрален чаровен мезон D^0 , който в точка O'' се разпада на четири заредени частици (следи № 6.1, 6.2, 6.3, 6.4).

Ването с ускорен сноп частици налягането се променя внезапно така, че да се получи състояние на прегръден течност. Движение-то на заредени частици в такава течност се придвижава от отделяне на мехурчета пара в резултат на йонизационните загуби на частицата. За кратък интервал от време след преминаване на частицата мехурчетата получават размери, които правят следата видима. В този момент се правят снимки с два или повече фотографата от различни места. От анализа на стереоснимките може да се реконструира следата в пространството.

Ако някоя от ускорените частици се сблъска с ядро от течноста, се получава сложно ядрено взаимодействие. За да се определи импулсът на частиците, камерите се поставят в силни магнитни полета. Следите на заредените частици се закривяват в магнитното поле, положителните в една посока, а отрицателните в противоположна посока. След като се направят снимките на дадено събитие, налягането се повишава, мехурчетата изчезват и камерата е готова за ново облъване и ново фотографиране. Камерата се поставя в работно състояние синхронно с цикличното ускоряване на ускорителя. За един експеримент камерата се облъчува с даден тип частици с определена енергия и обикновено се получават голем брой снимки — от няколко десетки до няколкостотин хиляди. Снимките се обработват полуавтоматично или



криогенната техника за получаване на течен водород и електронната апаратура за контрол и управление представляват огромни по размери и скъпи експериментални съоръжения. Те имат специални имена:

„Людмила“, „Мира-бел“, „Гаргамел“, „СКАТ“ и др. На фиг. 9 е показан момент от пускането в действие на двуметровата мехурчеста водородна камера „Людмила“ на ОИЯИ, която се обвързва с антитротони и с антидеutronи, получавани в Серпуховския ускорител. На фиг. 10 е показана снимка на взаимодействие, регистрирано в двуметровата мехурчеста пропанова камера на ОИЯИ. На снимката на фиг. 11 е регистрирано разпадането и разпадането на $\bar{\Sigma}^-$ (антисигма-минус-хиперон), открит през 1960 г. в ОИЯИ, Дубна. Раждането на чаровен барион Δ_c^+ във водородната камера „ВЕВС“ на ЦЕРН, обявяна от сноп от неутрино, е показана на снимката на фиг. 12. Встрани на съдата снимка е дадена схема, която проследява разпадането на тази частица и последователните разпадания на частичите, на които се е разпаднал чаровният барион. На фиг. 13 е дадена снимка на измерителния проектор БПС-75, производство на ОИЯИ,

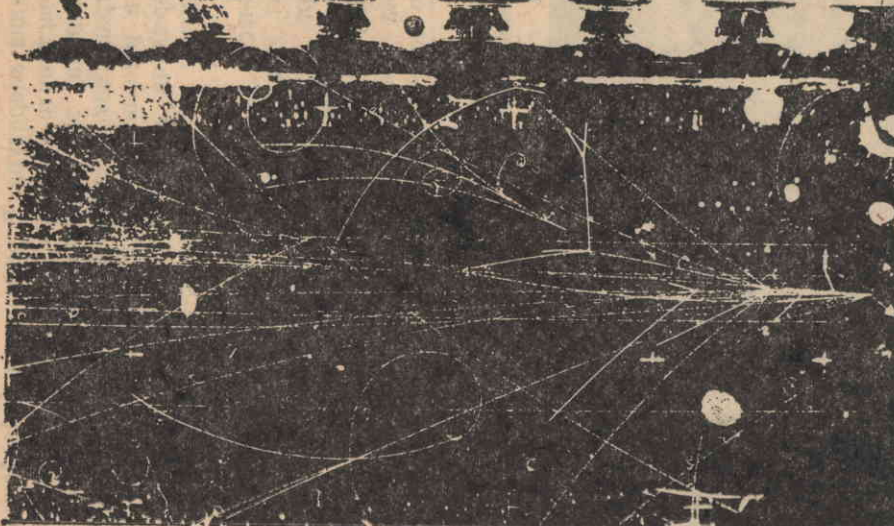
Фиг. 10. Снимка от двуметрова мехурчеста пропанова камера на ОИЯИ, Дубна, обявяна в синхрофазоторона с ускорени снопове от йони

рион Δ_c^+ във водородната камера „ВЕВС“ на ЦЕРН, обявяна от сноп от неутрино, е показана на снимката на фиг. 12. Встрани на съдата снимка е дадена схема, която проследява разпадането на тази частица и последователните разпадания на частичите, на които се е разпаднал чаровният барион. На фиг. 13 е дадена снимка на измерителния проектор БПС-75, производство на ОИЯИ,



Фиг. 11. Снимка от мехурчеста пропанова камера, която е регистрирала разпадането и разпадането на частицата $\bar{\Sigma}$ -хиперон, открита в ОИЯИ, Дубна, през 1960 г. с който се извършва преглед и измерване на снимки от мехурчести камери, с какъвто уред разполага и Институтът за ядрени изследвания и ядрена енергетика на БАН, София.

Успоредно със споменатите дра метода се използуват и така наречената методика на електронните експерименти. Първоначално тя е била използвана доста ограничено. С появата обаче на ускорителите за най-високи енергии и с бурното развитие на бързата електроника и електронночислителна техника тази методика започва да играе решаваща роля. Днес експерименталната информация във физиката на високите енергии се получава преимуществено с електронни устройства. Става дума за бърза електроника, която регистрира къси интервали време от поредка на наносекунди. При тези експерименти за части от секундата се измерват, анализират и записват на магнитни ленти характеристиките на десетки и стотици ядрени събития, които настъпват поради взаимодействието на ускорения сноп частици и мишената. Голямо е преимущество на тази методика, понеже апаратурата се контролира и управлява с бързи компютри и може предварително да се наложат условия, на които да отговарят взаимодействията, за да бъдат записвани. Тази избирателна способност придава голяма стойност на апаратурата, когато става дума за регистриране на специални и редки събития. Частта от апаратурата, която прави подбора, се нарича тригер. Такава апаратура се проектира, изработва и експлоатира от голям колектив учени: физици, инженери, електроници, математици. Обикновено всеки колектив учени създава своя оригинална електронна апа-



на фиг. 18 и 19 са показани фотографии на специални детектори „CELLO“ и „MARK-J“, разположени в ускорителя с настящи електрон-позитронни снопове PETRA в Хамбург. На фиг. 20 са показани детектори за регистрация на електрони, монтирани на ускорителя SPS, Женева.

В съвременните международни или национални ускорителни центрове са създадени мощни изчислителни центрове. Те разполагат с големи и бързодействуващи електронноизчислителни машини, с богати библиотеки от стандартни и специални програми, с възможности за съхраняване на огромни количества данни върху десетки хиляди магнитни ленти и дискове. На фиг. 21 е даден изглед от главната зала на изчислителния център в ЦЕРН.

4. ТАБЛИЦА НА ЕЛЕМЕНТАРНИТЕ ЧАСТИЦИ И ТЕХНИТЕ ОСНОВНИ СВОЙСТВА

Интересните изследвания във физиката на високите енергии допринасят за по-дългото опазване на известните частици елементарни частици, а също така и за откриването на нови частици. Ето защо два пъти в годината се публикува таблицата на елементарните частици, в която се разглеждат най-новите сведения за тях.

През 1932 г. са известни само частиците протон, неутрон, електрон, поизтрон, γ -квант. До 1956 г. броят на известните частици достига 14; през периода 1961–1965 г. след откриване на резонансите броят на елементарните частици се увеличава значително. Днес познаваме над 300 вида елементарни частици, които са систематизирани в таблица. Частите са разделени на няколко групи. Първата група съдържа само една частица — фотона. В групата на лептоните има 6 частици, а именно e^- , ν_e , μ^- , ν_μ , τ^- , ν_τ . След тази група следва групата на антилептоните: e^+ , $\bar{\nu}_e$, μ^+ , $\bar{\nu}_\mu$, τ^+ , $\bar{\nu}_\tau$. Масата и времето им на живот, електричният и лептонният им заряд са еднакви с тези на съответните лептони, но са противоположен знак, а частите от различните моди на разпадането са заменени със съответни античастици.

Големите групи на мезоните и барионите се подразделят на по-малки групи в зависимост от характеристиките — изотопичен спин, странност, заряд.

Изотопичните групи (мултиплети) съдържат частици с почти еднакви маси и еднакви свойства, но с различен електричен за-

ряд. Между броя на частиците от даден мултиплет n и изотопичния спин I съществува връзката

$$n = 2I + 1. \quad (4)$$

Така например Δ^0 е изотопичен синглет с $I=0$, p и n образуват изотопичен дублет с $I=1/2$, а трите пиона π^+ , π^0 , π^- и трите хиперона Σ^+ , Σ^- , Σ^0 образуват изотопични триплети с $I=1$, деличата частиците Δ^{++} , Δ^+ , Δ^0 , Δ^- — изотопичен четириплет с $I=3/2$. Това е максималната стойност, която може да има изотопичния спин, т.е. повече от 4 частици не може да има в един изотопичен мултиплет.

Квантово-механичната величина изотопичен спин е вектор в абстрактното изотопично пространство и проекцията му върху една от трите оси, например третата ос I_3 може да се квантува, като заема толкова различни стойности, колкото може да има изразът $2I+1$. Така че на всяка частица от даден мултиплет може да се спъстства точно определена стойност на I_3 . Например при изосинглета на Δ^0 $I_3=0$, нуклоновият дублет $I_3=+1/2$ за протона и $I_3=-1/2$ за неутрона, при четириплета на делята частиците I_3 заема съответно следните стойности $3/2$, $1/2$, $-1/2$, $-3/2$.

В таблицата на елементарните частици (табл. 2) след всяка от групите на барионите от № 11 до № 21 трябва да се прибави съответно мултиплет от антибариони. Те имат маса, време на живот, спин, четност, еднакви с тези на съответните бариони. Антибарионите се отличават от съответните бариони по знака на електричния заряд, барионния заряд, странност, заряд, красота и по третата проекция на изотопичния спин.

В отделните колони на таблицата са посочени: символът и знакът на частицата, I — изотопичният спин и G — четността, J — спин и P — пространствена четност, M — масата в MeV, средният разпадане и част от всички разпадания в %. Моди на разпадане с малка вероятност не са посочени в таблицата.

При мезоните и барионите разонанси след символа на частите в скоби е означена средната маса в MeV на частиците от мултиплета, а в колоната за масата е посочен масовият интервал, в който се намират масите на частиците от мултиплета.

Частите от дадена мода на разпадане трябва да имат сумарен електричен заряд, единакъв с този на родителската частица. Когато дадена мода на разпадане не е известна напълно, както при новооткритите чаровни мезони се среща запис като K^- anything, което означава K^- + други частици, които не са регистрирани от детектора.

В четвъртата група са дадени неутралните каони, които се раждат при силните взаимодействия като K^0 и \bar{K}^0 , а се разпадат като K_s^0 и K_L^0 , които са квантови смеси от K^0 и \bar{K}^0 .

Класификацията на мезоните и барионите, наречени с общото име адрони, в зависимост от барионното число B , странноста S и чара C е посочена в таблица 3.

Таблица 3

Класификация на мезони и бариони в зависимост от барионното число B , странноста S и чара C

Мезони, $B=0$	S	C	Бариони, $B=1$	S	C
π, η	0	0	p, n	0	0
K^+, K^0	+1	0	Λ, Σ	-1	0
K^-, \bar{K}^0	-1	0	Ξ	-2	0
D^+, D^0	0	+1	Ω^-	-3	0
D^-, \bar{D}^0	0	-1	Δ_c^+	0	+1
F^+, F^0	+1	+1		0	
F^-	-1	-1			

От таблицата на элементарните частици могат да се направят някои констатации и изводи за основните им свойства.

Маса. Фотонът и различните видове неутрино имат нулева маса в покой. Дали масите на тези частици са точно нула или са много малки, но различни от нула, това е важен въпрос, който се обсъжда и днес. Провеждат се и се планират специални експерименти, но окончателен отговор засега липсва. През петдесетте години се считаше, че основните свойства на частиците се определят от тяхната маса. В зависимост от масата частиците бяха разделени на три групи: лептони (леки частици), мезони (частици със средна маса) и бариони (тежки частици). Днес ние познаваме лептон, а именно τ -лептонът с маса 1784 MeV, който е значително по-тежък от пионите, каоните, нуклоните и хипероните. Също така познаваме мезони като Ψ -частните и Υ -частните, които са значително по-тежки от нуклоните и хипероните. Масата на ипсилон мезона е равна на около 10 протонни маси.

Големината на масата на адроните, т.е. силно взаимодейству-

ващите частици, сега се поставя във връзка с кварковата структура на частиците и степента на възбуждането на тези сложни системи частици. При лептоните и кварките, които се считат точкови обекти, ние нямаме представа за произхода на тяхната маса.

Резонансите, по-голямата част от които бяха открити през периода 1960—1965 г., имат извиредно малко средно време на живот, от порядъка на $10^{-22} - 10^{-24}$ s, поради което нямат определена маса. Съгласно с квантовата механика неопределеността в масата Δm на частицата със средно време на живот т се дава с релацията

$$(5) \quad \Delta m = \frac{\hbar}{\tau}.$$

При $\tau = 10^{-24}$ s за Δm се получава $\Delta m = 660$ MeV. Всъщност експериментално се измерва Δm , а от израза (5) се определя средното време на живот. Затова в таблицата на елементарните частици при резонансите се дава не средното време на живот, а пълната ширина на резонанса $\Gamma = \Delta m$ MeV.

Няма да си спирате подобно на експерименталната методика за откриването на резонансите и установяването на техните свойства. Ще се ограничим със следната кратка информация. Ако даден резонанс се движи със скоростта на светлината, поради краткия си живот той не може да измине разстояние, по-голямо от 10^{-13} ст. Следователно той не може да остави видима следа в които и да е детектор и не може да бъде регистриран непосредствено. Детекторите регистрират частиците, на които се разпадат резонансите, при условие че са дълго живеещи, т.е. със средно време на живот, по-голямо от 10^{-11} s. Ако се определи ефективната маса на продуктите на разпадането, ще се види, че тя има различни стойности за отделните разпадания на частицата. За големия брой разпадания се строи разпределението на ефективните маси. Получава се крива, които математически се описва с формулата от типа на Брайт-Вигнер за обясняване на резонансите във физиката на ядрото. Оттук следва и назват често резонанс за тези частици. Резонансната крива на разпределението на ефективните маси се характеризира с максимум, който определя масата на резонанса и пълната ширина на половината височина на максимума (Γ). Пълната ширина определя средното време на живот. Тези две величини са посочени в таблицата на елементарните частици за откритите до днес резонанси. (Видът на резонансната крива за един конкретен случай се разглежда по-нататък и е даден на фиг. 24.)

спецификация за разпаданията на частиците, но тя

Време на живот. От големия брой елементарни частици само една малка част живеят вечно и са стабилни. Другите са нестабилни и се разпадат на други частици. Стабилни са частиците фотон, всички видове неутрино, електрон и позитрон, протон и антиматерия.

Атомните ядра на голям брой химични елементи са стабилни, макар че в състава им има неутрино, която в свободно състояние се разпадат със средно време на живот 917 s. Стабилността на тези ядра се дължи на особения характер на взаимодействията, на ядрените сили между двойки нуклони в ядрото — на ядрон-протон, протон-неутрон и неутрон-неутрон.

Нестабилните частици се разпадат и имат твърде различни по времена на живот. Средното време на живот на средни времена на живота на неутрино е отговорно електрона разпадането на $t > 10^{-15}$ s разпадането на ядрото $10^{-16} - 10^{-18}$ s, тогава за разпадането е тромагнитното взаимодействие и при $t < 10^{-18}$ s разпадането се дължи на силното (ядреното) взаимодействие.

За изграждането на съвременната теория на елементарните частици и на теорията за проприетада и развитието на Вселената изключително важно значение има отговорът на въпроса дали протонът наистина живее вечно, или и той се разпада, макар и с много голямо средно време на живот. За да се получи отговор на този въпрос, през последните години бяха извършени специални експерименти и сега се проектират нови. Тези трудни експерименти поставят граница на тази величина. Днес се приема, че средното време на живот на протона е $t > 10^{31}$ години. Наистина това е много голямо число, значително по-голямо от живота на Вселената, но все пак нямаме окончателен отговор на поставения въпрос и изследванията ще продължат.

Модели на разпадане. От таблицата на елементарните частици се вижда, че съществува голямо разнообразие в разпаданията на частиците както по отношение на продуктите на разпадането, така и спрямо относителната вероятност, която характеризира частта от всички съществуващи разпадания на даден тип частици. Експериментът има за задача да установи тези данни, а теорията да ги обясни. От анализа на опитните данни за вида на частиците, получени при разпадането, и от ъгловото и енергетично разпределение на тези частици се правят изводи за закономерностите, на които се подчиняват разпаданията, и за вида на взаимодействието, което предизвиква разделяния тип разпадане. Днес съществува богата експериментална информация за разпаданията на частиците, но тя

далеч не е изчерпателна.

Особено ценна информация дават слабите разпадания. До преди няколко години слабите разпадания представляваха единствен източник за изучаването на слабото взаимодействие. Днес важен принос за изучаването на този вид взаимодействие дават неутрините експерименти. Това стана възможно благодарение на съвременните ускорители за високи енергии. Стана възможно при ускорителя да се формират специални канали за неутринни възможности, с които се обличват съответни потоки от съществени спиркове, с които се изучава неутринният поток от взаимодействие на инсталации. Високата енергия на неутрините на слабото взаимодействие е вено значение, тъй като сечението на пропорционално на енергията. Нека припомним, че средният промеждък на разпадане на неутрини е огромен. Даже ако се бег на неутриното при тъски енергии е бил равен на бег на олово, пробегът му ще бъде равен на дължината на обикновената на Земята около Сънцето. Докато промеждъкът на разпадане на неутрини е от порядъка на силно взаимодействуващите частици в олово е от порядъка на няколко сантиметра.

Днес съществуват много експериментални инсталации за изучаване взаимодействията на съвременния експеримент във високите енергии. Елементарните частици се характеризират с още много други величини, посочени в таблица 2, но тук няма да се спират на тях.

5. СИСТЕМАТИКА И КВАРКОВА СТРУКТУРА НА АДРОНИ

В началото на шейсетте години бе установено, че между частиците от некои изотопични мултиплети няма съществени различия в техните свойства и поради това могат да се обединяват в по-големи групи. Известните по това време мезони бяха обединени в групи от по 8 частици — октети, а барионите в групи от по 8 частици — октети и декаплети. Това свойство на симетрията на адроните да се обединяват в октети и декаплети математически може да се представи със свойствата на унгарната симетрия на $su(3)$ -группата. Така например пионите, каоните и ета-частицата образуват $su(3)$ -октет (фиг. 22, a); нуклоните, ламбда, сигма и дялта-частицата образуват барионен октет (фиг. 22, б); дялта-частиците, сигма- и кси-резонансите и омега-минус хиперонът образуваат $su(3)$ -декаплет. Антибарионите също могат да се обединят в съответни мултиплети. Всички частици от дален $su(3)$ -мултиплет трябва да имат еднакъв спин (J) и четност (P). Различията в ма-

$$Q = \frac{B+S+C}{2} + I_3.$$

сите на частиците в даден SU(3)-мултиплет се приемат за несъществени и за резултат на силното взаимодействие.

Теорията за SU(3)-симетрията на елементарните частици предсказва съществуването на омега—минус частицата, която бе открита експериментално през 1964 г. Това бе голям триумф на унитарната симетрия. Бях намерен много полезни формули за връзката между масите на частиците от даден мултиплет, които експериментът потвърди.

Важна стъпка в развитието на теорията на унитарната симетрия бе направена през 1963 г. с приемането на кварковата хипотеза, предложена от Гел Ман и Цвайг независимо един от друг.

Според тази хипотеза всички адрони (мезо-чи, бариони и антибариони) се разглеждат като сложни частици сътворена структура, изградени от сравнително малък брой фундаментални частици, наречени кварки. Първоначално се приема, че съществуват

три различни вида кварки или кварки с три различни „аромата“ n , d

и s , а също така и толкова антикварки \tilde{n} , \tilde{d} , \tilde{s} . Кварките имат различни маси, различен дробен електричен заряд, дробен барийчен заряд. Характеризират се с изотопичен спин и странност. Покъсно се установи, че съществуват и други видове кварки, за които се въведоха нови квантови числа „чар“ и „красота“. Всички кварки имат спин $1/2$, т. е. имат свойствата на фермиони. В таблица 4 са дадени характеристиките на известните днес кварки. В същата таблица са дадени и свойствата на известните днес лептони. Антикварките и антилептоните имат еднакви маси с тези на съответните кварки и лептони, но противоположни по знак електричен и барийчен заряд, странност, чар, красота.

Между електричния заряд Q и квантовите числа на кварките съществува връзката

която обобщава известното съотношение на Гел Ман — Нишиджима.

Ще разгледаме някои основни положения на кварковата хипотеза, на нейното развитие и превъръщането ѝ в теория, позната под името квантова хромодинамика.

Някои основни положения, запазени и до днес, се отнасят до броя на кварките, от които са изградени частиците. Според тях: а. Всеки мезон се състои от двойка кварк-антикварк, M (22).

Например: $\pi^+ \rightarrow (\tilde{u}\tilde{d})$, $\pi^- \rightarrow (\tilde{u}d)$, $K^0 \rightarrow (\tilde{d}\tilde{s})$. Това би било възможно, ако анихиляционният процес между кварк и антикварк се приеме, че е забранен или силно потиснат.

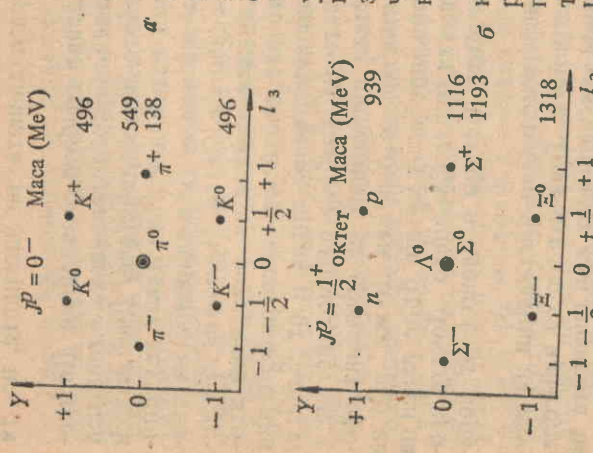
б. Всеки барион е изграден от три кварка, B (222). Например $p \rightarrow (uud)$, $n \rightarrow (udd)$, $\Lambda^0 \rightarrow (sss)$ и т. н.

в. Всеки антибарион е изграден от три антикварка, \bar{B} (222). Например: $\bar{p} \rightarrow (\tilde{u}\tilde{u}\tilde{d})$, $\bar{n} \rightarrow (\tilde{u}\tilde{d}\tilde{d})$, $\bar{\Lambda}^0 \rightarrow (\tilde{u}\tilde{u}\tilde{s})$ и т. н.

г. Мезонните и барионните резонанси се състоят от същия брой кварки както съответните мезони и бариони, но резонансните системи кварки се намират във възбудено състояние на радиално и хармонично движение.

Далн в природата съществуват елементарни частици, в състава на които да влизат повече от три кварка, така наречените екзотични елементарни частици е въпрос, на който и до днес няма окончателен отговор. На въпроса защо при изграждането на адроните природата е избрала само посочените по-горе комбинации от кварки, ние нямаме ясен отговор.

Особено важен и труден проблем се оказа този за неществуващото в природата на свободни, отделни кварки и за невъзможността да се отделят свободни кварки от състава на елементарните частици. Всички опити досега, които си поставяха задачата да намерят в природата свободни кварки или да откъснат и изолират единични кварки от елементарните частици, се оказаха безрезултатни. Този неуспех първоначално се приемаше за голям и сериозен недостатък на кварковата хипотеза. Този важен факт се използуваше дълго като убедителен аргумент против кварковата хипотеза. В резултат на продължителните експериментални и теоретични изследвания на проблема за „неоткъсването на кварките“ или за „тяхното пленичество“, или за „конфайнъмънта“ се дойде до извода, че това е резултат на особения характер на ядрените сили на взаимодействие между кварките. Квартрите се приемат за точкови обекти, без вътрешна структура.



Фиг. 22. a) Мезонен SU(3)—октет; б) барионен SU(3)—октет. Тези мултиплети са представени в двумерни диаграми, при които по едината ос се нанася третата проекция на изоспина (I_3), а по другата ос — хиперзарядът (Y) на частиците

Когато разстоянието между два кварка се увеличава до 10^{-13} см³ потенциалната енергия на взаимодействие намалява. При по-големи разстояния от 10^{-13} см потенциалната енергия остава постоища за откъсването на кварк от елементарна частица е необходимо да се внесе голямо количество енергия. Превъзбудждането се освобождава под формата на двойки кварк-антинварк, т. е. като се образуват мезони. Този процес на „адронизация“ на възбудени системи от кварки обяснява тяхното „пленичество“.

Труден проблем, който стоеше за решаване пред кварковата хипотеза, е този за „нестоответствието спин статистика“. Какво означава това? Още пред появлата на кварковата хипотеза бе известно, че свойствата на барзоните могат да се обяснят правилно, ако пространствената част на вълновата функция е симетрична. Това означава, че например трите единакви s-кварка, изграждащи Ω^- -хиперона, трябва да се намират в еднакво квантово състояние на Ферми. Кварките като фермиони със спин 1/2 не могат да се намират в едно и също квантово състояние в дадена система от кварки. За да се отстрани този недостатък, по-късно бе прието, че кварките притежават допълнителна характеристика, наречена „цвят“. От всеки аромат кварк съществуват по три различни цвята, например жълт, червен и син. Антикварките са носители на три допълнителни цвята (антицвята). С помощта на свегната характеристика вълновата функция на бариона може да запази своята четност, тъй като трите кварка могат да се „чамират в различни цветни състояния. Поради силното взаимодействие между кварките и бариона цветовете се променят непрекъснато, но така, че във всеки момент да присъстват трите цвята. Барионите, антибарионите и мезоните като частици нямат цветна характеристика, те са „бели“. Математически цветните свойства на кварметрия на така наречената цветна (3)-группа. Така кварковата хипотеза се превърна в теория, наречена кваркова хромодинамика (КХД). Днес тази теория се счита за най-съвършената теория на силното взаимодействие. Ще се спрем на някои експериментални факти, които допринесаха съществено за изграждането на кварковата хромодинамика.

Хипотезата за цветната характеристика на кварките намира пряко експериментално потвърждение при изследването на еднофotonната анихиляция на двойката електрон-позитрон при високи енергии. Този процес започна да се изследва след построяването

на ускорителите за електрон-позитронни настъпни снопове. При високи енергии в резултат на анихиляцията могат да се наблюдават три различни процеса: раждане на двойка електрон-позитрон (еластично разсейване), раждане на двойка положителен и отрицателен мюон и раждане на два или повече адиона (мезона и бариона). (Раждането на адрони се обяснява с диаграмата на фиг. 25.) От анихиляцията на двойката електрон-позитрон се ражда виртуален γ -квант, който се превръща в двойката кварк-антикварк, а те от своя страна се „адронизират“. Може да се покаже, че отношението R между сеченията за раждане на адрони и мюонни двойки се дава със сумата от квадратите на електричните заряди на всички видове кварки, които могат да участват при дадена енергия. В енергетичния интервал 2–3 GeV, при който за пръв път бе проверена тази зависимост, могат да участват най-леките кварки u , d , s . Следователно отношението R има вида

$$R = \frac{\sigma(e^+e^- \rightarrow \text{адрони})}{\sigma(e^+e^- \rightarrow \mu^+\mu^-)} = \sum e_i^2 = \left\{ \left(\frac{2}{3} \right)^2 + \left(\frac{1}{3} \right)^2 + \left(-\frac{1}{3} \right)^2 \right\} \times 3 = 2. \quad (7)$$

Тази стойност бе потвърдена от експеримента. Обаче при появата на новите ускорители с енергия в системата на центъра на масите за електрон-позитронните снопове до 8 GeV експериментите показваха, че отношението R започва да расте и в крилатата се наблюдават ясно очертани максимуми при 3,1, 3,7 и 4,1 GeV (фиг. 23).

Тези експериментални факти са от голямо значение и са в подкрепа на предположението за съществуването на четвърти кваркносител на квантовото число „чар“. Този кварк можа да обясни защо не се наблюдава слаб неутрален ток с промяна на странноста. Четвъртият кварк бе необходим и за обясняване на загадъчно малката вероятност, с която неутралният каон се разпада на двойка мюони.

Прякото експериментално доказателство за съществуването на четвъртий кварк обаче дойде с откриването на J/ψ -частичата през 1974. Това бе направено независимо от две групи изследователи, работещи на протонния синхротрон в Брукхейвън и на ускорителя Стенфорд (САЩ). При детайлното изучаване на енергетичната зависимост на сечението на анихиляцията на електрон-позитронна двойка и превъръщането ѝ в двойка електрони, двойка мюони или адрони ясно се очертава резонансен пик при една и съща енергия (3,095 GeV), което е показвано на фиг. 24. Както бе изтъкнато в предния параграф, този метод за откриване на нови частици е добре известен. Осо-

нава през няколко етапа. Електронът и поизионът анихилират, ражда се виртуелен γ -квант, който се превръща в неутрална векторна частица (тъй като има спин 1, колкото е спинът на γ -кванта) и от своя страна тя се разпада на адрони (фиг. 25, a). На фиг. 25, б е показвана диаграма на анихиляционен процес, при който γ -квантът преминава в двойка кварк-антиварк с последваща адронизация на кварките.

Наскоро след откриването на J/Ψ -частичата тя бе видяна и в другите ускорителни центрове — в Сърпухов, Фраскати и Хамбург. Бяха открити и изучени цяло семейство частици, подобни на J/Ψ -частичата. Ψ -частичите представляват различни възбудени състояния на система от свързани чаровни кварк и чаровен антиварк (cc).

Чармониумът, макар да се състои от два чаровни кварка, не притежава характеристика „чар“, защото алгебричната сума от чара на двата кварка е nulla. Той има, както се казва, „скрит чар“.

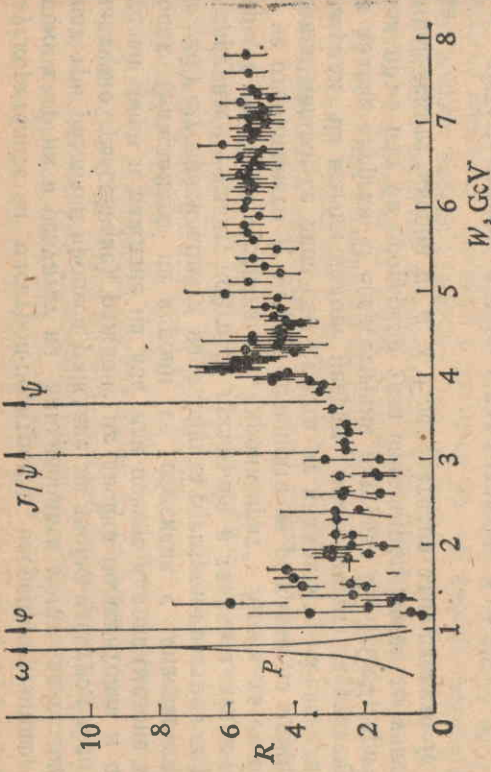
Паралелно с изучаване на свойствата на J/Ψ -частичата започна усилено търсение на „чаровни“ частици, т. е. на такива адрони, в които един или всички кварки са чаровни, но без да се компенсира чарът. Днес ние познаваме всички възможни видове чаровни мезони, които са посочени в таблицата на елементарните частици.

Има открити и някои чаровни мезонни резонанси. Досега са открити и два чаровни бариона $\Delta_c^+(2,26) \rightarrow (udc)$ и $\Sigma_c^{++} \rightarrow (uus)$.

Косвено потвърждение на съществуването на чаровния кварк и чаровните частици намираме в следните експериментални резултати, получени от изследванията при високите енергии:

а. В областта на взаимодействието се раждат енергетични електрони и мюони в такива количества, които не могат да се обяснят, ако се приеме, че източник на тяхното раждане е разпадането на нечаровните частици.

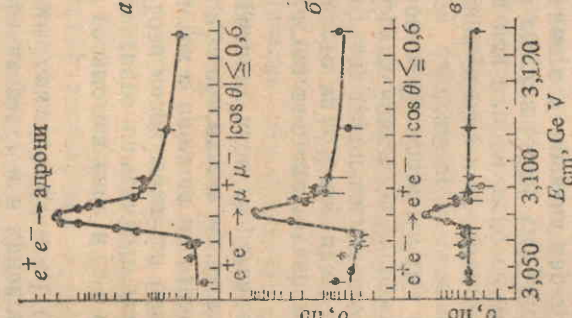
б. Резонансът на R от енергията на взаимодействията $e^+e^- \rightarrow$ адрони, при ниски енергии сечениято на това взаимодействие се доминира от генерацията на известните векторни мезони ρ , ω и φ . При по-високи енергии се появяват резонансите J/Ψ и Ψ' . Сложната структура по-нататък е свързана с появата на тежките лептони и на нови кварки



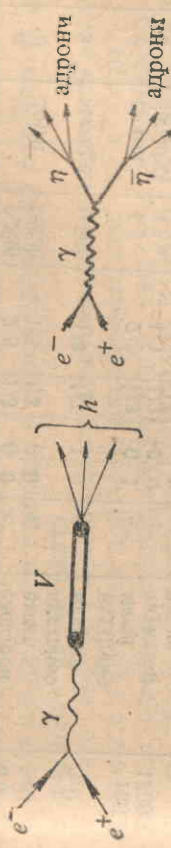
Фиг. 23. Зависимост на R от енергията на взаимодействията $e^+e^- \rightarrow$ адрони. При ниски енергии сечението на това взаимодействие се доминира от генерацията на известните векторни мезони ρ , ω и φ . При по-високи енергии се появяват резонансите J/Ψ и Ψ' . Сложната структура по-нататък е свързана с появата на тежките лептони и на нови кварки

беното в случая e , че широчината на резонанса на J/Ψ -частичата е около 10^4 пъти по-малка от тази на обикновените резонанси. Този резонанс бе открит в Брукхейвън за инклузивната реакция, при която се ражда електрон-поизионна двойка в резултат на взаимодействието на високоенергетични протони с ядрата на мишената.

Резонансният максимум при електрон-поизионната анихиляция, наблюдаван в Стенфорд, показва, че това взаимодействие е сложно и премислено.



Фиг. 24. Резонансът J/Ψ , проявен в зависимости на сечението от енергията при анихиляция на електрон и поизион, при която се раждат: а) адрони; б) двойка мюони и в) електрон-поизионна двойка



б

147

146

б. Раждането на два, три и повече енергетични мюона в едно взаимодействие се свързва с раздадането на две и повече чаровни частици.

в. Раждането на адрони с големи напречни импулси и с големи сечения се свързва с раждането на тежки чаровен кварк и неговата адронизация.

г. На фиг. 25, б е показан процес на анихилиация на електрон-позитронна двойка, при която γ -квантите се превръщат в двойка кварк-антикварк. Тя се превръща в адрони, които в експеримента се наблюдават под формата на така наречените „струи“. Посоката на струите се определя от посоката, спрямо която адроните имат минимална сума от напречните импулси. Тези посоки съвпадат с посоките на движение на двета първоначални кварка преди процеса на адронизацията им.

д. Има регистрирани събития с три струи. Техният произход се свързва със съществуването на глуони в елементарните частици.

е. Съществуването на глуони в елементарните частици се обяснява и с факта, че при високоенергетичните взаимодействия приаданият импулс на кварките е около 50% от приадания импулс на елементарните частици, участвуващи във взаимодействието. Останалата част - от приадания импулс се поема от глуоните.

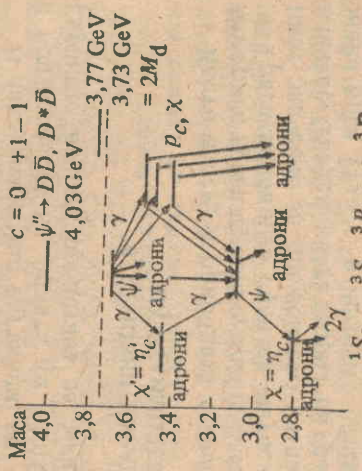
Кварковата теория с четири кварка по новому разглежда въпроса за систематиката на елементарните частици. Тук се използва групата su(4). Николко su(3)-мултиплета с различен брой ча-

Таблица 4
Основни характеристики на кварки и лептони:
 u — електрически заряд в единици "elementарен електричен заряд";
 B — барионен заряд, S — странност, C — чар

Знак	Кварки						Лептони		
	Име	M GeV	Q	B	S	C	Име	M MeV	Q
u	up down	0,336 0,338	$2/3$ $-1/3$	$1/3$ $1/3$	0 0	e^- ν_e	електрон ефект.	0,5 ≈ 0	- 0
d	strange	0,540	$-1/3$	$1/3$	-1	0	нейтринно мюонно	≈ 0	0
s	charm	1,5	$2/3$	$1/3$	0	μ^-	нейтринно мион	106 1800	-1
b	beauty	4,5	$-1/3$	$1/3$	0	τ^-	таумезон тауне	0	0
t	truth	> 17	$2/3$	$1/3$	0	ν_τ	нейтринно	0	0

ровни кварки ще се обединяват в една по-голяма група, която графично може да се представи с пространствена фигура в абстрактно пространство с координатни оси: третата проекция на изоспина (I_3), хиперзаряда (Y) и чара (C). През 1977 г. с ускорителя на Батавия бе открита най-тежката елементарна частица — ипсилон-частицата (ψ'). Сега тие знаем 4 подобни на ипсилон частици, чито маси са около 10 GeV. От подробното изучаване на свойствата на тези частици, условията на генерация и разпадането им се приема, че те са мезони, съставени от нов тип двойка кварк-антикварк. Този тип кварк е най-тежкият открит засега кварк с маса около 4,5 GeV, означен с b (от beauty или bottom), носител на квантово число красата (вж. табл. 4). Ипсилон-частицата се разглежда като аналог на чармониума и се нарича още бютониум. Изследването на масовите спектри на чармониума и бютониума позволява да се изучи поведението на ядрените сили на малки разстояния, на толкова помалки разстояния, колкото са по-големи масите на кварки. На фиг. 26 е показан масовият спектър на чармониума.

Фиг. 26. Масов спектър на чармониума — свързано състояние на двойка чаровни кварк-антикварк ($c\bar{c}$). От анализа на този спектър се получават важни данни за характера на ядрените сили



От точното измерване на величината R , определена с формула (7), се прави изводът, че при енергия над 10 GeV тя се увеличава с $\Delta R = 0,39 \pm 0,1$. От този резултат се заключава, че електричният заряд на b -кварка е $-1/3$, защото $\Delta R = e_b^2 = (1/3)^2 \times 3$ цялата $= 1/3 = 0,33$, което съвпада с експерименталния резултат за ΔR в границите на грепката.

Днес теорията предполага съществуването и на шести кварк, означен с t (от truth или top). Експериментално не е открит да-же при опити с високоенергетичните настремни електрон-позитронни снопове в ускорителя PETRA в Хамбург. Ето защо се заключава, че масата на t кварка е над 19 GeV, колкото е максималната енергия на един от сноповете.

В заключение ще изтъкнем, че след откриването на кварките и признаването на ролята им на най-малки градивни частици на адроните нашата представа за микросвета се промени коренно.

6. ОСНОВНИ ХАРАКТЕРИСТИКИ НА ВЗАИМОДЕЙСТВИЯТА

Както знаем, в природата съществуват 4 вида основни взаимодействия: гравитационно, слабо, електромагнитно и силно.

Гравитационните сили са изучени за пръв път от Нютон. Те имат значение за движението на небесните тела и земното преличане. Съвременната теория на гравитацията е създадена от Айншайн през 1915 г. в неговата общна теория на относителността. Гравитационните сили между елементарните частици са нищожно малки и във физиката на елементарните частици се пренебрегват.

Законите, на които се подчиняват магнитните и електричните сили, са изучени в класическата физика. Голям успех за нея бе обединяването на тези сили в електромагнитната теория на Мак-куел, която обхваща и светлинните явления и стана основа за развитието на електротехниката, радиотехниката и телевизията. С електромагнитните сили се обясняват свойствата на атома. Те имат значение и във физиката на елементарните частици. Отчитайки квантовия характер на явленията в микросвета, класическата електродинамика се превръща в квантова електродинамика (КЕД). Днес КЕД е най-съвършената физична теория. Тя предсказва най-фини явления и позволява да се пресметнат физични величини с най-голяма точност и в съответствие с успехите на съвременните експерименти.

Слабото взаимодействие е въведено във връзка с изучаването на радиоактивното разпадане. То е отговорно за слабото разпадане на елементарните частици и за слабото взаимодействие на неутриното. Съвременната теория е създадена от Вайнберг и Салман на КЕД.

Силното взаимодействие обяснява стабилността на атомното ядро. Ядрените сили играят преимуществена роля при взаимодействията между адроните, когато те се сблъскват с огромни скорости и енергии. Квантовата хромодинамика е съвременната теория за силното взаимодействие между кварките в адроните и между адроните.

Физиката на високите енергии е допринесла извънредно много за изясняване същността на силното, електромагнитното и слабото взаимодействие.

бого взаимодействие в областта на малките пространствено-временни интервали. Днес ние знаем с голяма точност различните закони, на които се подчиняват тези взаимодействия. Це се спрем на основните им характеристики. Една част от тях изтъкват съществените различия в характера на силите. Но съществуват и такива характеристики, които подчертават общото в отношението им. На основата на тези характеристики се правят опити за създаване на теория на две, три или четири сили. Засега най-голям успех има теорията на електро-слабото взаимодействие, която обединява слабото и електромагнитното взаимодействие, създадена през последните няколко години.

Според квантовата теория на полето силите на взаимодействие между две частици имат обменен характер, т. е. те се дължат на обмяна на съответен вид частици. Този общ характер позволява различните взаимодействия да се изразяват с аналогични диаграми (фиг. 27). На фигураната са означени и други физични величини, които са типични за всеки вид взаимодействие.

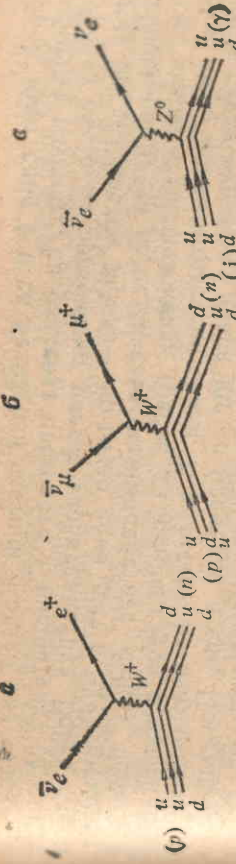
Нека разгледаме диаграмата на добре познатото електромагнитно взаимодействие между два електрона. Електричните заряди създават електромагнитно поле. Ролята на обменната частица се изпълнява от квант на електромагнитното поле — фотона. Електромагнитното поле е векторно поле, затова и обменната частица има спин 1, фотонът е векторна частица. Силата на електромагнитното взаимодействие се характеризира с константата на фината структура $\alpha = 1/137$. Електростатичната сила съгласно съзакона на Кулон намалява обратно пропорционално на квадрата от разстоянието и действува до безкрайност. Безкрайно големият радиус на действието на електромагнитните сили в теорията на полето се изразява с това, че масата на обменната частица (фотона) е nulla. Фотонът е отдавна известна частица и свойствата ѝ са изучени.

Диаграмата на слабото взаимодействие между електронно-нейтрон и неутрон е показана също на фиг. 28. Слабото поле създава от лептонен заряд. Лептонно поле може да се създаде от три различни лептонни заряди: електронен лептонен заряд, мюонен лептонен заряд, таумезонен лептонен заряд. Так има и друга разлика от електромагнитното поле. Съществуват три различни обменни частици, три различни кванта на лептонното поле. Всички са със спин единица и се наричат междинни бозони. Два от тях са електрически заредени частици и един е електрически неутрален. Означават се с W^+ , W^- и Z^0 . Силата на взаимодействието се характеризира с константата на слабата връзка, която е значително по-малка от тази на електромагнитното поле и е

около 10^{-5} . Константата на връзката е безразмерна величина. Сечението на взаимодействието на неутриното е няколко порядъка по-малко от това на електромагнитното взаимодействие. Оттук следва, че радиусът на действието на слабите сили е много малък, от порядъка на 10^{-16} см. Това малко разстояние, на което действуват тези сили, показва, че обменните частици трябва да имат значителна маса в покой. От закона за неопределеността в квантовата механика може да се получи груба оценка за тази маса. Тя се оказва доста голяма. Това е причината междулинните бозони да не са наблюдавани експериментално и до днес. Съществуват експериментални методи, които също водят до оценка за масите на междинните бозони. Такива оценки са получени от хода на сечението на взаимодействието между неутриното и протона в зависимост от предадения импулс, а така също и от опитните данни за неутралния ток на слабото взаимодействие. Тези оценки показват, че масата на W^\pm бозона е от порядъка на 80 GeV, а на Z^0 бозона — 90 GeV.

Както видяхме, адроните се състоят от кварки. За слабото взаимодействие между кварките и лептоните може да се даде диаграмма, подобна на дадените на фиг. 27. В резултата на обмяната на междинните бозони настъпва промяна в електричния заряд на кварка, т. е. при слабото взаимодействие се мени видът (ароматът) на кварка. На фиг. 28 са показани диаграмми за раз-

Фиг. 27. Диаграми и характеристики на основните видове взаимодействия: ядрено, електромагнитно, слабо, гравитационно



Фиг. 28. a) диаграми на бета-разпадане, квазиеластично разсейване на моноито неутрино; b) еластично разсейване на електронно неутрино от протон според квартковата хипотеза

лични типове слабо взаимодействие: β -разпадане, квазиеластично разсейване на електронно неутрино от протон, като се има пред вид квартковата структура на протона.

От аналогични взаимодействия, представени с диаграми на фиг. 28, a и 28, b, се идва до извода, че в резултат на слабото взаимодействие при обмяната на заредени междинни бозони кварките менят аромата си, но така, че кварките със заряд $+1/3$ и обратно, тъй като само при това условие е в сила законът за запазване на електричния заряд. Заедно с това настъпва промяна и в лептона. Този тип слабо взаимодействие във формализма на алгебрата на токовете се нарича взаимодействие на слабия зареден ток. Експериментално е наблюдавано отдавна при бета-разпадане.

На фиг. 28, b е показано еластично разсейване на неутрино, при което не се наблюдава промяна в кварките и лептоните. Часът на разсейване на междинният бозон Z^0 . В алгебрата на токовете това взаимодействие се нарича неутрален slab ток. За първи път то е тип слабо взаимодействие бе наблюдаван през 1973 г. Експерименталното доказателство за съществуването на slabия неутрален ток е важно откритие, което допринае съществено за разширяването на съвременната теория на слабото взаимодействие.

Силното взаимодействие между кварки е представено с първата диаграмма на фиг. 27. Силното поле се създава от силния заряд на кварките. Ролята на този заряд се изпълнява от цвета на кварките. Както се изтъква в предния параграф, съществуваат 3 различни цвята, условно наречени червен, жълт и син. Съществуваат 3 също така и 3 допълнителни цвята. Според квантовата хро-

Основни видове взаимодействия между две частици:

СЕЛИО	ЕЛЕКТРОМАГНИТНО	СЛАБО	ГРАВИТАЦИОННО
глуони $m = 0$	фотон $m = 0$	W^\pm, Z^0 МЕЖДИННИ БОЗОНИ $m \neq 0$	гравитон $m = 0$
q	e^-		
КОНСТАНТА НА ВРЪЗКА	≈ 1	$\approx 10^{-5}$	$\approx 10^{-38}$
ИЗТОЧНИК НА ПОЛЕТО	"ДВА"	електричен заряд	маса
	изелено жълто червено	$+\, -, 0$	e, μ, τ

ния от 10^{-14} сп трябва да се има пред вид силното взаимодействие между елементарните частици с обмяна на пиони и други векторни частици. Това взаимодействие може да се представи с аналогична диаграма на тези на фиг. 27.

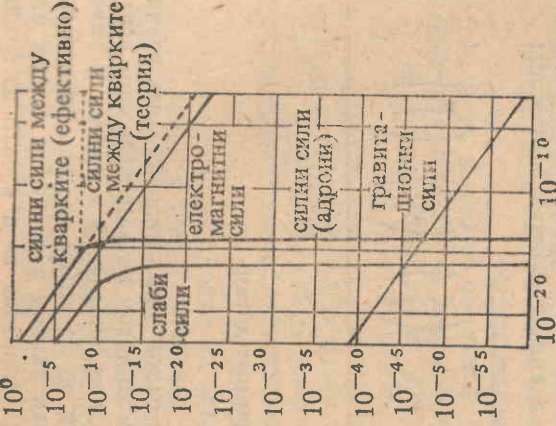
На фиг. 27 е представена диаграма и за гравитационното взаимодействие. Източникът на поле е масата на частиците, а квантът на гравитационното поле (обменната частица) се нарича гравитон. Ние предполагаме, че тази частица е безмасосва, тъй като гравитационните сили имат бекраен радиус на действие. Гравитонът има спин 2. Интензивността на гравитационните или е много малка. Съответната константа на връзката има стойност от порядъка на 10^{-38} .

За основните сили в природата могат да се направят изводи, аналогични на по-горните, от графиките за изменението на тези или с разстоянието, дадени на фиг. 29.

7. КВАРК-ЛЕПТОННА СИМЕТРИЯ

Както се изгърна в предишните параграфи, днешната представя за най-интимната структура на материята е, че най-малките ридни частици са кварките и лептоните. И двата вида частици са фермиони със спин $1/2$. Кварките и лептоните се приемат като точки обекти или ако темат размери и структура, тези размери не могат да бъдат определени със съвременните експерименти. Съществената разлика е в това, че ядрените сили действуват само между кварки — лептоните не ги „чувствуват“.

При физичните процеси кварките и лептоните могат да се раждат и унищожават. Но това може да става само с двойки частици за сметка на съответни количествени изменения Юкава през 1935 г., може да се обясни с обмяната на частица и маса, различна от нула. Въз основа на данните за ограниченията на ядрените сили до 10^{-13} сп Юкава пресметна та действие на ядрените сили на стотина MeV и такива частици възможност за превърнат едни в други, но не произволно. Съдователно за поведението на ядрените сили на по-големи разстояния.



щото се отнася и за лептоните. Превърдането може да става са-
мо между определени двойки частици, което дава основание да
се разпределят на групи от по две частици (дублети). Днес позна-
ваме 6 кварка и 6 лептона, които се групират в по три дублета.
Тази класификация на кварките и лептоните е известна с името
кварк-лептонна симетрия, която е показана в табл. 5.

Таблица 5

Кварк-лептонна симетрия

Кварки	Лептони
$\begin{pmatrix} u \\ d \end{pmatrix}, \begin{pmatrix} c \\ s \end{pmatrix}, \begin{pmatrix} t \\ b \end{pmatrix}$	$\begin{pmatrix} e^- \\ \nu_e \end{pmatrix}, \begin{pmatrix} \mu^- \\ \nu_\mu \end{pmatrix}, \begin{pmatrix} \tau^- \\ \nu_\tau \end{pmatrix}$

Преходите между частиците от даден дублет в резултат на слабото взаимодействие са означени със стрелки. Въз-
антилептоните.

Аналогична таблица може да се състави за антиварките и антилептоните. Естествено възниква въпросът за броя на тези частици. Въз-
можно ли е да съществуват и други по-тежки кварки и лептони,
които бъдещите експерименти евентуално ще открият, и колко?

Техният брой? От най-общи космогонични съображения може да се покаже, че броят на кварките и броят на лептоните има горна граница и не може да бъде по-голям от 11.

8. ПРИЛОЖЕНИЯ НА ФИЗИКАТА НА ВИСОКОКИТЕ ЕНЕРГИИ

От изложеното в предишните параграфи става ясно колко важна роля играе физиката на високите енергии за по-дългото и по-детайлно опознаване на материала ни материален свят. Тя разкрива интимната структура на материята, установява какви са малките градивни частици на материята, какви са техните свойства и характеристики, формулира основните закони на математични процеси, разкрива основните характеристики на различните сили и търси пътища за единното описание, за израждане на единна теория на силите в природата.

Физиката на високите енергии играе важна роля за развитието на другите основни науки и на философията. Тя има важно и мирогледно значение.

Заедно с това трябва да се изтъкне, че изследванията във физиката на високите енергии имат и важно значение за практиката. Това е отбележим накратко някои приложения.

При съвременните ускорителни центрове съществуват специални медицински лаборатории, които използват снопове от различни частици — протони, електрони, неутрони, пиони и йони, с различни енергии. Тези снопове частици се използват за диагностика и терапия на туморни образувания.

Строят се специални електронни синхротрони с голема интензивност за използване на синхротронното излучване. Това е късновълново електромагнитно лъчение, което може да замества рентгеновите лъчи и има преимущество поради големата интензивност. Процесът на анихиляцията на частица и античастица се състои в превръщане на масата в покой на частиците в енергия. Това е най-ефективният метод за получаване на енергия. Приложението му засега се ограничава от факта, че не сме се научили да получаваме антиматерия в големи количества.

За разрешаването на проблема за практическо използване на термоядрената енергия някои физици предлагат в термоядрения реактор да се включи подходящ ускорител за тежки иони и високи енергии до 100 GeV.

Извънредно перспективни са ускорителите бридери, с помощта на които може да се получава ядрено гориво от ^{235}U за нуждите на атомните електроцентрали.

Строителството на сложните уникатни ускорители и на експерименталните инсталации за изследване с ускорени снопове частици са допринесли съществено за по-нататъшното усъвършенстване на различни научни и технически дисциплини: механика, техника на високия вакуум, мощн високочестотни генератори, изчислителна математика и кибернетика, наноскулдна и многоканална електроника, изчислителна техника, технологии за получаване на материали с рекордни характеристики, съвършени изолатори, свръхпроводящи проводници и магнити, получуване на силни магнитни полета в големи пространства, силни електрически полета. Някои от експерименталните методи, специално създадени за изследвания във физиката на високите енергии, намират приложение в други науки и области на изследвания. Разработената методика за автоматично разпознаване на образи върху снимки от мехурчети и други грекови уреди, създадената система програмни и алгоритми за обработката на стотици хиляди снимки с помощта на големи електронноизчислителни машини постепенно на-

влизат в други науки: медицина, авиация, селско стопанство, геология и др.

Широко е приложението на различни видове многощични искрови камери.

Има смети идеи за построяването на специални ускорители с интензивни потоци частици с висока енергия, които да могат да се насочват в различни посоки за пренасяне на енергия или поразяване на далечни обекти.

В заключение ще изтъкнем, че посочените примери красноречиво говорят, че няма фундаментални изследвания, които да не са дали мощен и в някои случаи революционен тласък в развитието на техниката и да не са допринесли полза за практиката

Таблица I

Местонахождение.	Ускорители за високи енергии					
	Название на ускорителя или лабораторията	Енергия GeV	Кодови инициали	Характеристики параметри	Някои параметри	1
1	2	3	4	5	6	1
Дубна	синхрофазotron-нуклонатор	1957	10	p	синхротрон, обик. 200 п	
Дубна	?	15-20	иони	e- e+	синхротрон, съръхпроводо-дължкови магнити	
Москва	ИТЭФ	1961	7	p	синхротрон, сно-	
Новосибирск	ВЭПП2	1975	0,7+0,7	e- e+	пое	
Новосибирск	ВЭПП-3	-	3+3	e- e+	" "	
Новосибирск	ВЭПП-4	1967	7+7	e- e+, p, pp	" " " "	
Серпухов	-	76	76	p	синхротрон, син- ля фокусировка	
Серпухов	УНК*	?	3000	p, pp, pp	обиколка 19 км	
Ереван	-	1960	6	p, pp, pp	синхротрон	
Харков	-	-	2	p	синхротрон	
ЦЕРН	PS*	1959	30	e-	синхротрон	
ЦЕРН	ISR*	1971	28+28	e-	насредни сно-	
ЦЕРН	SPS*	1976	400	p	пое	
ЦЕРН	LSR	1981	270+230	pp, pp	упер протонен синхротрон, обик. 6 км	
ЦЕРН	LEP	1987	140+140	e+e-	насредни сно-	
Хилтън	NINA EPIC	1963	5	e-	лове, обиколка 27 км	
Хилтън		1980	14	e- e+	синхротрон	

Продолжение на табл. I

1	2	3	4	5	6
Орге	DCI	1976	0,5-1,8	e- e+	насредни сно-
Сакле	SATIRNE ADONE	1958 1969	3 1,5+1,5	p e- e+	пое
Фраскати	DESY* DORIS	1964 1974	7,5 5,0+5,6	e- e- e	синхротрон
Хамбург	PETRA	1979	19+19	e- e+	насредни сно-
Хамбург	HERA	1988	820 p+30 e-	е-	пое
Аргон	ZGS FERMILAB	1963 1972	12,6 400	p p	синхротрон
Батавия	DOUBLERSE-VER	1983	1000	p	синхротрон, обиколка 6 км
Батавия	GOPAE	?	1000	pp, pp̃, pe-	спъхпровод-никови магнити
Батавия	BEVALAC AGC ISABELLE	1967 1960 1987	6 33 400+400	p p p	насредни сно-
Беркли	Брукхейвън Брукхейвън	1967	6	p	пое, 2 тунела по 6,3 км
Беркли	CERN CESR	1980 1980	12+12	e- e+	синхротрон
Беркли	SLAC	1967 1966	12 24	e- e-	насредни сно-
Беркли	SPEAR PEP	1972 1980	3,2+3,2 18+18	e- e+ e- e- e- p	пое
Беркли	SLED	?	50	e-	насредни сно-
Беркли	Токио KEK TRISTAN	1975 1988	12 180+180	p p, pp -	пое
Беркли	Световен VBA	?	100	e-	насредни сно-
Беркли	Световен VBA BPS	1987	10000 50	p p	насредни сно-

*Оникновено названието се образува от инициалите на пълното име на съответния ускорител, като например УНК (ускорителни накопителни комплексы), ВЭПП (встречные электрон-позитронные пучки).

ТАБЛИЦА НА ЕЛЕМЕНТАРНИТЕ ЧАСТИЦИ

Продължение на табл. 2

Частица	I^G	J^P	M маса MeV	среден живот s	Гарциански моли на разпади (част от всички разпади в %)	4. Странни мезони
1	1/2	3	4	5	6	
γ	0	1-	0	стабилен		
						2. Лептон
ν_e		1/2	0	стабилен		
e^-		1/2	0,5110	стабилен		
ν_μ		1/2	0	стабилен		
μ^-		1/2	105,66	$2,197 \times 10^{-6} s$	$e^-\tilde{\nu}_e \gamma_\mu (98,6 \pm 1,4),$ $e^-\nu_e \nu_\mu \gamma(1,4 \pm 0,4)$	
τ^-		1/2	1784	$(4,6 \pm 1,9) \times 10^{-13} s$	$\mu^-\tilde{\nu}_\mu \nu_\tau (18,5 \pm 1,2),$ $e^-\tilde{\nu}_e \nu_\tau (16,2 \pm 1,0),$ $\pi^+\nu_\tau (10,7 \pm 1,6),$ $\rho^+\nu_\tau (21,6 \pm 3,6),$ $\pi^-\rho_0\nu_\tau (5,4 \pm 1,7),$ $\pi^-\pi^-\pi^+\nu_\tau (7 \pm 5),$ $\pi^-\pi^-\pi^+\nu_\tau (> 0\pi^0) (18 \pm 7)$	
						3. Нестранни мезони
π^+	1-	0-	139,567	$2,603 \times 10^{-8} s$	$\mu^+\nu_\mu (100)$	
π^-	1-	0-	139,567	$2,603 \times 10^{-8} s$	$\mu^-\tilde{\nu}_\mu (100)$	
π^0	1-	0-	134,963	$8,28 \times 10^{-17} s$	$\gamma\gamma (98,9 \pm 0,1) \gamma e^-e^+ (1,1 \pm 0,1)$	
η^0	0+	0-	548,8	0,00085 MeV	$\eta (39,1 \pm 0,8) 3\pi^0 (31,8 \pm 0,8),$ $\pi^+\pi^-\pi^0 (23,7 \pm 0,5),$ $\pi^+\pi^-\gamma (4,91 \pm 0,13),$ $e^+e^-\gamma (0,50 \pm 0,12)$	

Частица	I^G	J^P	M маса MeV	среден живот s	Гарциански моли на разпади (част от всички разпади в %)	4. Странни мезони
1	1/2	3	4	5	6	
γ	0	1-	0	стабилен		
						1. Фотон
ν_e		1/2	0	стабилен		
e^-		1/2	0,5110	стабилен		
ν_μ		1/2	0	стабилен		
μ^-		1/2	105,66	$2,197 \times 10^{-6} s$	$e^-\tilde{\nu}_e \gamma_\mu (98,6 \pm 1,4),$ $e^-\nu_e \nu_\mu \gamma(1,4 \pm 0,4)$	
τ^-		1/2	1784	$(4,6 \pm 1,9) \times 10^{-13} s$	$\mu^-\tilde{\nu}_\mu \nu_\tau (18,5 \pm 1,2),$ $e^-\tilde{\nu}_e \nu_\tau (16,2 \pm 1,0),$ $\pi^+\nu_\tau (10,7 \pm 1,6),$ $\rho^+\nu_\tau (21,6 \pm 3,6),$ $\pi^-\rho_0\nu_\tau (5,4 \pm 1,7),$ $\pi^-\pi^-\pi^+\nu_\tau (7 \pm 5),$ $\pi^-\pi^-\pi^+\nu_\tau (> 0\pi^0) (18 \pm 7)$	
						3. Нестранни мезони
π^+	1-	0-	139,567	$2,603 \times 10^{-8} s$	$\mu^+\nu_\mu (100)$	
π^-	1-	0-	139,567	$2,603 \times 10^{-8} s$	$\mu^-\tilde{\nu}_\mu (100)$	
π^0	1-	0-	134,963	$8,28 \times 10^{-17} s$	$\gamma\gamma (98,9 \pm 0,1) \gamma e^-e^+ (1,1 \pm 0,1)$	
η^0	0+	0-	548,8	0,00085 MeV	$\eta (39,1 \pm 0,8) 3\pi^0 (31,8 \pm 0,8),$ $\pi^+\pi^-\pi^0 (23,7 \pm 0,5),$ $\pi^+\pi^-\gamma (4,91 \pm 0,13),$ $e^+e^-\gamma (0,50 \pm 0,12)$	
						4. Странни мезони
K^+		1/2	0-	493,67	$1,237 \times 10^{-8} s$	
K^-		1/2	0-	493,67	$\mu^+\gamma_\mu (63,50 \pm 0,16),$ $\pi^+\pi^0 (21,2 \pm 0,2),$ $\pi^+\pi^+\pi^- (5,59 \pm 0,3),$ $\pi^+\pi^0\pi^0 (1,73 \pm 0,05),$ $\mu^+\gamma_\mu \pi^0 (3,20 \pm 0,09),$ $e^+\gamma_e \pi^0 (4,82 \pm 0,05)$	
K^0		1/2	0-	493,67	$1,237 \times 10^{-8} s$	
K^-		1/2	0-	493,67	$\mu^-\tilde{\nu}_\mu (63,50 \pm 0,16),$ $\pi^-\pi^0 (21,2 \pm 0,2),$ $\pi^-\pi^+(\pi^+(5,59 \pm 0,3),$ $\pi^-\pi^0\pi^0 (1,73 \pm 0,05),$ $\mu^-\tilde{\nu}_\mu \pi^0 (3,20 \pm 0,09),$ $e^-\gamma_e \pi^0 (4,82 \pm 0,05)$	
K_L^0		1/2	0-	0,892 $\times 10^{-10} s$	$\pi^+\pi^0\pi^0 (68,61 \pm 0,24),$ $\pi^+\pi^-\pi^-(31,39 \pm 0,24)$	
K_S^0		1/2	0-	0,892 $\times 10^{-10} s$	$\pi^+\pi^-\pi^0 (12,39 \pm 0,18)$	
					$\pi^\pm \pi^\mp \pi^\pm (\gamma (27,0 \pm 0,5),$ $\pi^\pm \pi^\mp \pi^\mp (\gamma (38,8 \pm 0,5),$ $\pi^\pm \pi^\mp \gamma (1,3 \pm 0,8),$ $\pi^+\pi^-\pi^-(0,203 \pm 0,005)$	
					$\pi^0\pi^0 (0,094 \pm 0,018)$	
						5. Чаровни мезони
D^+		1/2	0-	1869	$(9,1^{+2,2}_{-1,5}) \times 10^{-13}$	
					K_{anything}^+	
					K_{anything}^0	
					$e^\pm \pi^\mp (19 \pm 4)$	

II. В света на атомите

Продължение на табл. 2

	1	2	3	4	5	6	
	1	2	3	4	5	6	
D^-	$1/2$	0^-	1869	$(9,1^{+2,2}_{-1,5})$ $\times 10^{-13}$ s	K^+ anything (16 ± 4), K^- anything (6 ± 3), K^0 anything (48 ± 15), e^\mp anything (19 ± 4),	$4,1 \pm 0,2$ MeV	$K^+ K^- (49,1 \pm 1,0)$, $K_L K_S (34,6 \pm 1,0)$, $\pi^+ -\pi^0 (14,7 \pm 0,7)$, $\eta (1,5 \pm 0,2)$, $\pi^0 (0,14 \pm 0,05)$, $e^+ e^- (0,031 \pm 0,001)$ $\mu^+ \mu^- (0,025 \pm 0,003)$
D^0	$1/2$	0^-	1865	$(4,8^{+2,2}_{-1,5})$ $\times 10^{-13}$ s	K^- anything ($4,4 \pm 10$), K^+ anything (8 ± 3), K^0 anything (33 ± 10), e^\pm anything (< 6),	$1019,6 \pm 0,1$	$4,1 \pm 0,2$ MeV
6. Странни чаровни мезони							
F^+	0	≈ 2021	$(2,2^{+2,8}_{-1,1})$ $\times 10^{-13}$ s	$\eta' 3\pi^? (?$, $\eta' 3\pi^? (?$, $\eta\pi^+ (?)$, $\phi\pi^+ (?)$	1190 ± 50	320 ± 50 MeV	$\rho\pi$ (видяни)
F^-	0	≈ 2021	$(2,2^{+2,8}_{-1,1})$ $\times 10^{-13}$ s	$\eta 3\pi^- (?)$, $\eta' 3\pi^- (?)$, $\eta\pi^- (?)$, $\phi\pi^- (?)$	1275 ± 30	315 ± 45 MeV	$\rho\pi$ (доминираща)
7. Мезонни резонанси с $S=0$							
$\rho(770)$	1^+	1^-	769 ± 3	154 ± 5 MeV	$\pi\pi(\approx 100)$, $\pi\gamma(0,024 \pm 0,007)$ $e^+ e^- (0,0043 \pm 0,0005)$ $\mu^+ \mu^- (0,0067 \pm 0,0012)$	110 ± 5 MeV	$\pi\pi(70,0 \pm 2,2)$, $\eta\pi(1,4,6 \pm 1,1)$
$\omega(783)$	0^-	1^-	$782,4 \pm 0,2$	$10,1 \pm 0,3$ MeV	$\pi^+ \pi^- \pi^0 (89,8 \pm 0,5)$, $\pi^0 \gamma (8,83 \pm 0,5)$, $e^+ e^- (0,0076 \pm 0,0017)$	1318 ± 5	$\pi\pi(10,6 \pm 2,5)$, $\tilde{K} K(4,8 \pm 0,5)$, $\eta' \pi (< 1)$, $\pi\gamma (0,45 \pm 0,11)$
$\gamma'(958)$	0^+	0^-	$957,6 \pm 0,3$	$0,28 \pm 0,10$ MeV	$\eta\pi\pi(65,3 \pm 1,6)$, $\rho^0 \gamma (30,0 \pm 1,6)$, $\omega \gamma (2,8 \pm 0,5)$, $\gamma\gamma (1,9 \pm 0,2)$	1418 ± 1	52 ± 10 MeV
$\delta(975)$	1^-	0^+	983 ± 3	54 ± 8 MeV	$\eta\pi^- (?)$, $K\bar{K}(?)$	1520 ± 12	75 ± 10 MeV
$S^{*0}(980)$	0^+	0	945 ± 4	33 ± 6	$\pi\pi(78 \pm 3)$, $K\bar{K}(22 \pm 3)$	≈ 1600	≈ 300 MeV
Продължение на табл. 2							
$\rho'(1660)$	1^+	1^-					$K\bar{K}$ (видяна)
$A_3(1680)$	1^-	2^-					$\pi\pi(85)$, $\pi\pi(\approx 15)$
$\eta(1670)$	0^-	3^-					$\pi\pi(55 \pm 5)$, $\rho\pi(36 \pm 6)$, $3\pi(9 \pm 5)$
$\ell(1690)$	1^+	3^-					$\rho\pi$ (видяна), 5π (видяна)
							$2\pi(23,8 \pm 1,3)$, $4\pi(70,9 \pm 1,9)$, $KK\pi(9,8 \pm 1,2)$, $K\bar{K}(1,5 \pm 0,3)$

Продължение на табл. 2

Продължение на табл. 2

	1	2	3	4	5	6
$\hbar(2040)$	0+	4+	2040 ± 20	150 ± 50 MeV	$\pi\pi$ (видяна), $K\tilde{K}$ (видяна)	
$J/\Psi(3100)$	0-	1-	3097 ± 1	63 ± 3 keV	$e^+e^- (7 \pm 1), \mu^+\mu^- (7 \pm 1)$, адрони (85 ± 2)	
$\eta_c(2980)$	0+	?	2981 ± 6	< 20 MeV	$\eta\pi^+\pi^-, 2(\pi^+\pi^-)$, $K^+K^-\pi^+\pi^-, p\tilde{p}$ (видяна)	
$\chi(3415)$	0+	0+	3415 ± 3	?	$2(\pi^+\pi^-) (4.3 \pm 0.9)$, $\pi^+\pi^- K^+K^- (3.4 \pm 0.9)$, $\gamma/\Psi(2.7 \pm 1)$, $3(\pi^+\pi^-) (1.7 \pm 0.6)$, $K^+K^- (\frac{0.8}{0.2})_{\pm}$, $\pi^+\pi^- (0.9 \pm 0.2)$	
$\chi(3510)$	0+	1+	3510 ± 0.6	?	$\gamma/\Psi(28.0 \pm 3.0)$, $3(\pi^+\pi^-) (2.4 \pm 0.9)$, $2\pi^+\pi^- (1.8 \pm 0.5)$, $\pi^+\pi^- K^+K^- (1.0 \pm 0.4)$, $\pi^+\pi^- p\tilde{p} (0.15 \pm 1.0)$	
$\chi(3555)$	0+	2+	3555.8 ± 0.6	?	$\gamma/\Psi(15.7 \pm 1.7)$, $2(\pi^+\pi^-) (2.3 \pm 0.5)$, $\pi^+\pi^- K^+K^- (2.0 \pm 0.5)$, $3(\pi^+\pi^-) (1.2 \pm 0.8)$, $\pi^+\pi^- K^+K^- (0.27 \pm 0.11)$, $\pi^+\pi^- p\tilde{p} (0.35 \pm 0.14)$	
$\Psi(3685)$	0-	1-	3686 ± 0.1	215 ± 40 keV	$e^+e^- (0.9 \pm 0.1)$, $\mu^+\mu^- (0.8 \pm 0.2)$, адрони (98.1 ± 0.3)	
$\Psi(3770)$	0	1-	3770 ± 3	25 ± 3 MeV	$D\tilde{D}$ (доминираща), $e^+e^- (0.013 \pm 0.0002)$	
$\Psi(4030)$	0	1-	4030 ± 5	52 ± 10 MeV	адрони (доминираща)	
$\Psi(4160)$	0	1-	4159 ± 20	78 ± 20 MeV	адрони (доминираща)	

8. Странни мезонни резонанси

	1	2	3	4	5	6
$\psi(4415)$	0	1-	4415 ± 6	43 ± 20 MeV		
$\Gamma(9460)$	0	1-	9456 ± 10	42 ± 15 keV	$\mu^+\mu^- (3.2 \pm 0.7)$, $e^+e^- (2.8 \pm 1.1)$	
$\Gamma(10020)$	0	1-	10016 ± 10	30 ± 10 keV	$\mu^+\mu^-$ (видяна), $e^+e^- (1.7 \pm 0.6)$	
$\Gamma(10350)$	0	1-	10347 ± 10	?	e^+e^- (видяна)	
$\Gamma(10550)$	0	1-	10569 ± 10	14 ± 5 MeV	$e^+e^- (0.0019 \pm 0.0008)$	
$K^{*0}(892)$	1/2	1-	891.8 ± 4	50.3 ± 0.8 MeV	$K\pi(100)$, $K\pi\pi (< 0.07)$, $K\gamma (0.15 \pm 0.07)$	
$Q_1(1280)$	1/2	1+	1270 ± 10	90 ± 20 MeV	$K\rho(42 \pm 6)$, $K\pi(28 \pm 4)$, $K\epsilon (3 \pm 2)$	
$Q_2(1400)$	1/2	1+	1414 ± 13	180 ± 10 MeV	$K^*\pi(16 \pm 5)$, $K\omega (11 \pm 21)$, $K\epsilon (2 \pm 2)$, $K\omega (1 \pm 1)$	
$K^{*0}(1430)$	1/2	2+	1434 ± 5	100 ± 10 MeV	$K\pi(44.8 \pm 2.3)$, $K^*\pi(24.6 \pm 2.0)$, $K^*\pi\pi (13.0 \pm 2.6)$, $K\rho (8.8 \pm 1.1)$, $K\omega (4.2 \pm 1.5)$, $K\eta (5 \pm 5)$	
$K^{*0}(1780)$	1/2	3-	1775 ± 10	140 ± 20 MeV	$K\pi\pi$ (домин.), $K\pi (17 \pm 5)$	
					9. Чаровни мезонни резонанси с $S=0$, $C=1$	
$D^{*+}(2010)$	1/2	1-	2010.1 ± 0.7	< 2.0 MeV	$D^{0_n+}(64 \pm 11)$, $D^+ \pi^0 (28 \pm 9)$, $D^+\tilde{\gamma} (8 \pm 7)$	
$D^{*0}(2010)$	1/2	1-	2007.2 ± 2.1	< 5 MeV	$D^0 \pi^0 (55 \pm 15)$, $D^0\tilde{\gamma} (45 \pm 15)$	
					10. Чаровни мезонни резонанси с $ S =1$, $C=1$	
$F^{*+}(2140)$	0	?	2140			
$F^{*0}(2140)$	0	?	2140			

		1	2	3	4	5	6		
11. Бариони с $S=0, C=0$									
ρ	$1/2$	$1/2^+$	938,28	стабилен					
n	$1/2$	$1/2^-$	939,57	925 ± 11 s	$\rho e^{-\gamma_e}(100)$				
12. Странни бариони с $S=-1, C=0$									
Λ^0	0	$1/2^+$	1115,6	$2,63 \times 10^{-10}$ s	$\rho\pi^-(64,2 \pm 0,5)$, $m^0(35,8 \pm 0,5)$				
Σ^+	1	$1/2^+$	1189,4	$8,00 \times 10^{-11}$ s	$\rho\pi^0(51,64 \pm 0,30)$, $m^+(48,36 \pm 0,30)$				
Ξ^0	1	$1/2$	1192,5	5×10^{-20} s	$\Delta^0\gamma(100)$				
Ξ^-	1	$1/2$	1197,3	$1,48 \times 10^{-10}$ s	$m\pi^-(100)$				
13. Странни бариони с $S=-2, C=0$									
Ξ^0	$1/2$	$1/2^+$	1314,9	$2,90 \times 10^{-10}$ s	$\Delta^0\pi^0(100)$				
Ξ^-	$1/2$	$1/2^+$	1321,3	$1,64 \times 10^{-10}$ s	$\Delta^0-\gamma(100)$				
14. Странни бариони с $S=-3, C=0$									
Ω^-	0	$3/2^+$	1672,2	$8,2 \times 10^{-11}$ s	$\Lambda^0 K^-(68,6 \pm 1,3)$, $\Xi^0\pi^-(23,4 \pm 1,3)$, $\Xi^-\pi^0(8,0 \pm 0,8)$, $\Xi^0 e^-\psi(\approx 1)$				
15. Чаровни бариони с $S=0, C=1$									
Λ_c^+	0	$1/2^+$	2282 ± 3	$(1,1^{+0,9}_{-0,4}) \times 10^{13} s$	$\Delta^0\pi^+\pi^+\pi^-$ (видяна), $\rho K^-\pi^+(2,2+1,1)$, ρK^* (видяна), $K-\Delta$ (видяна)				
Σ_c^{++}									
16. Красиви бариони									
Δ_b^0				≈ 5400					
17. Нуклонови резонанси $N, S=0, l=1/2$									
$N(1470)$		$1/2$	$1/2^+$	1400—1480	120—350 MeV	$N\pi(\approx 55)$, $N\eta(\approx 18)$, $N\pi\pi(\approx 25)$			
$N(1520)$		$1/2$	$3/2^-$	1510—1530	100—140 MeV	$N\pi(\approx 55)$, $N\pi\pi(\approx 45)$, $N\eta (< 1)$			
$N(1535)$		$1/2$	$1/2^-$	1520—1560	100—250 MeV	$N\pi(\approx 40)$, $N\pi\pi(\approx 55)$, $N\eta (\approx 5)$			
$N(1650)$		$1/2$	$1/2^-$	1620—1680	100—200 MeV	$N\pi(\approx 60)$, $N\pi\pi(\approx 30)$, $\Delta K(\approx 10)$, $2K(2-7)$, $N\eta (\approx 1)$			
$N(1675)$		$1/2$	$5/2^-$	1660—1690	120—180 MeV	$N\pi(\approx 40)$, $N\pi\pi(\approx 60)$, $\Delta K (< 0,3)$			
$N(1680)$		$1/2$	$5/2^+$	1670—1690	110—140 MeV	$N\pi(\approx 60)$, $N\pi\pi(\approx 40)$, $N\eta (< 0,3)$			
$N(1700)$		$1/2$	$3/2^-$	1670—1730	70—120 MeV	$N\pi(\approx 10)$, $N\pi\pi(\approx 30)$, $\Delta K (< 1)$, $N\eta (< 0,3)$			
$N(1710)$		$1/2$	$1/2^+$	1680—1740	100—140 MeV	$N\pi(\approx 20)$, $N\pi\pi(\approx 50)$, $\Delta K (< 5)$, $\Sigma K (\approx 10)$, $N\eta (2-20)$			
$N(1720)$		$1/2$	$3/2^+$	1690—1800	150—250 MeV	$N\pi(\approx 17)$, $N\pi\pi(\approx 70)$, $\Delta K (1-4)$, $\Sigma K (\approx 2)$, $N\eta (< 5)$			
$N(1990)$		$1/2$	$7/2^+$	1950—2050	100—400 MeV	$N\pi(\approx 5)$, $N\eta(\approx 3)$, ΔK и ΣK (видяни)			
$N(2190)$		$1/2$	$7/2^-$	2120—2180	< 400 MeV	$N\pi(\approx 15)$, $N\eta (\approx 2)$, $\Delta K (< 1)$			
$N(2200)$		$1/2$	$5/2^-$	2130—2270	200—350 MeV	$N\pi(\approx 10)$, $N\eta (\approx 2)$			
$N(2220)$		$1/2$	$9/2^+$	2150—2300	≈ 300 MeV	$N\pi(\approx 20)$, $N\eta (\approx 1)$			
$N(2600)$		$1/2$	$11/2^-$	2580—2700	> 300 MeV	$N\pi (\approx 5)$			
$N(3030)$		$1/2$?	3030	≈ 400 MeV	$N\pi (?)$			

1	2	3	4	5	6		2	3	4	5	6
18. Делта резонанси, $\Delta, S=0, I=3/2$											
$\Delta(1232)$	3/2	3/2 ⁺	1230—1234	110—120 MeV	$N\pi(99,4)$, $N\gamma(0,6)$			1820 ± 5	70—90 MeV	$N\tilde{K}(55—65)$, $\Sigma\pi(5—15)$	
$\Delta(1650)$	3/2	1/2 [—]	1600—1650	120—160 MeV	$N\pi(\approx 32)$, $N\pi\pi(\approx 65)$			$1810—1830$	60—110 MeV	$N\tilde{K}(10)$, $\Sigma\pi(35—75)$	$\Sigma(1385)\pi(5—10)$
$\Delta(1670)$	3/2	3/2 [—]	1630—1740	190—300 MeV	$N\pi(\approx 15)$, $N\pi\pi(\approx 85)$			$1850—1920$	60—200 MeV	$N\tilde{K}(15—40)$, $\Sigma\pi(3—10)$	$\Sigma(1385)\pi$ и $NK(892)$ (видяни)
$\Delta(1690)$	3/2	3/2 ⁺	1500—1900	150—350 MeV	$N\pi(\approx 20)$, $N\pi\pi(\approx 80)$			$2080—2120$	100—300 MeV	$N\tilde{K}(\approx 30)$, $2\pi(\approx 5)$, $\Lambda\pi(\approx 3)$, $\Xi K(< 3)$, $\Lambda\omega(< 8)$, $NK(892)$	$(10—20)$
$\Delta(1890)$	3/2	5/2 ⁺	1890—1930	250—400 MeV	$N\pi(\approx 15)$, $N\pi\pi(80)$, $\Sigma K(< 1)$						
$\Delta(1910)$	3/2	1/2 ⁺	1850—1950	200—330 MeV	$N\pi(20—25)$, $N\pi(\approx 40)$, $\Sigma K(2—20)$			$2080—2140$	150—250 MeV	$N\tilde{K}(5—25)$, $\Sigma\pi(\approx 40)$	$NK(892) (20—60)$
$\Delta(1950)$	3/2	7/2 ⁺	1910—1950	200—340 MeV	$N\pi(\approx 40)$, $N\pi\pi(\approx 30)$, $\Sigma K(< 1)$			$2340—2420$	100—250 MeV	$N\tilde{K}(\approx 12)$, $\Sigma\pi(\approx 10)$	
$\Delta(1960)$	3/2	5/2 [—]	1890—1940	150—300 MeV	$N\pi(4—12)$, $\Sigma K(\approx 10)$			≈ 2585	≈ 300 MeV	$N\tilde{K}(?)$	
$\Delta(2160)$	3/2	?	2150—2280	200—440 MeV	$N\pi(?)$						
$\Delta(2420)$	3/2	11/2 ⁺	2380—2450	300—500 MeV	$N\pi(\approx 10)$			$1382—1388$	35—40 MeV	$\Lambda\pi(88 \pm 2)$, $\Sigma\pi(12 \pm 2)$	
$\Delta(2850)$	3/2	?	2800—2900	≈ 400 MeV	$N\pi(?)$			$1580—1690$	30—200 MeV	$N\tilde{K}(\approx 30)$	
$\Delta(3230)$	3/2	?	3200—3350	≈ 4400 MeV	$N\pi(?)$			1675 ± 10	40—60 MeV	$N\tilde{K}(5—15)$, $\Sigma\pi(20—60)$	$\Lambda\pi(20)$
19. Ламбда резонанси $\Delta, S=-1, I=0$.											
$\Delta(1405)$	0	1/2 [—]	1405 ± 5	40 ± 10 MeV	$\Sigma\pi(100)$					$N\tilde{K}(10—40)$, $\Lambda\pi(5—20)$	
$\Delta(1520)$	0	3/2 [—]	1519 ± 2	$15,5 \pm 1,5$ MeV	$N\tilde{K}(46 \pm 1)$, $\Sigma\pi(42 \pm 1)$, $\Lambda\pi\pi(10 \pm 1)$, $\Sigma\pi\pi(0,9 \pm 0,1)$					$\Sigma\pi(< 8)$, $\Sigma\pi(15—55)$	
$\Delta(1670)$	0	1/2 [—]	1660—1680	20—60 MeV	$N\tilde{K}(15—25)$, $\Delta\eta(15—35)$, $\Sigma\pi(20—60)$					$N\tilde{K}(\approx 41)$, $\Lambda\pi(\approx 14)$, $\Lambda(1520)$	
$\Delta(1690)$	0	3/2 [—]	1690 ± 10	50—70 MeV	$N\tilde{K}(20—30)$, $\Sigma\pi(20—40)$, $\Delta\pi\pi(\approx 25)$, $\Sigma\pi\pi(\approx 20)$					$\pi(\approx 19)$, $\Sigma(1385)\pi(\approx 9)$	
$\Delta(1800)$	0	1/2 [—]	1700—1850	200—400 MeV	$N\tilde{K}(25—40)$, $\Sigma\pi$, $\Sigma(1385)\pi$, $NK(892)$ (видяни)					$N\tilde{K}(5—15)$, $\Lambda\pi(10—20)$	